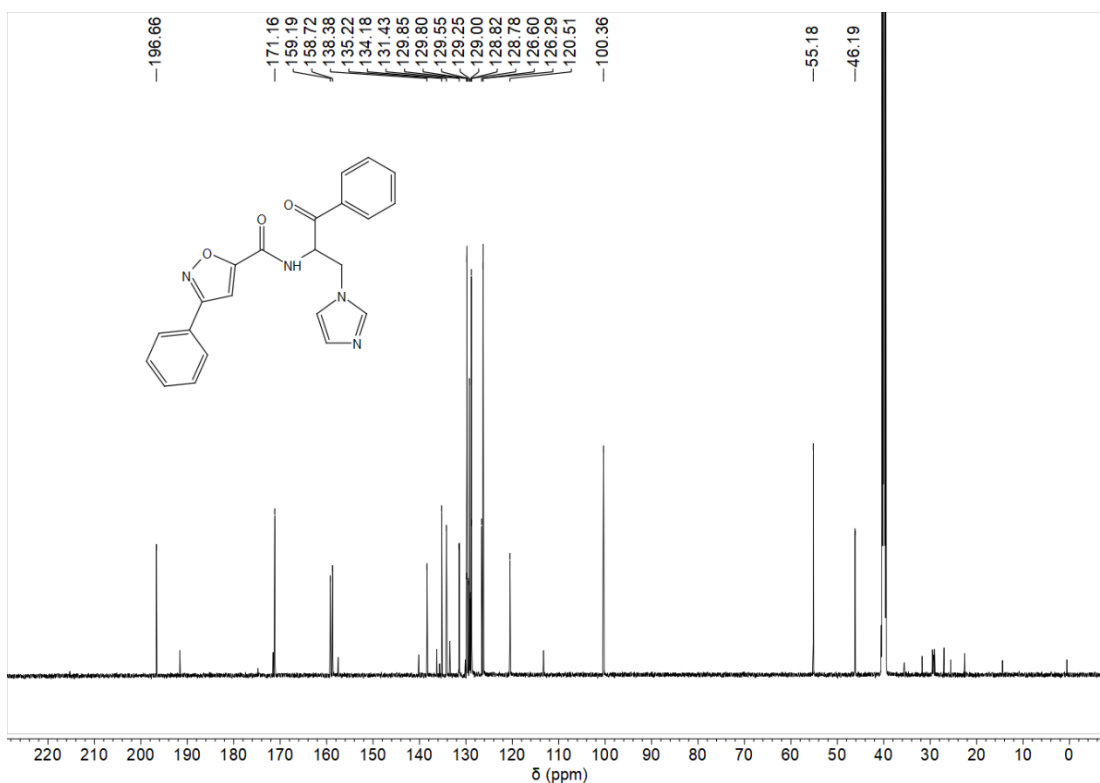
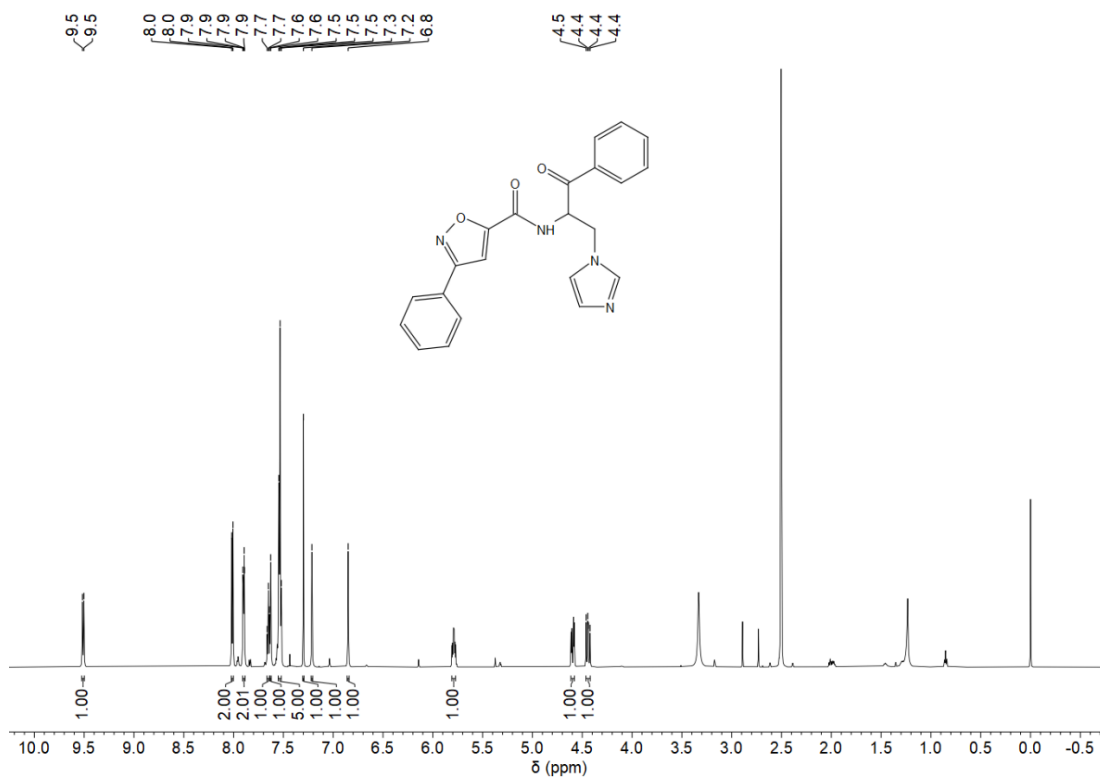
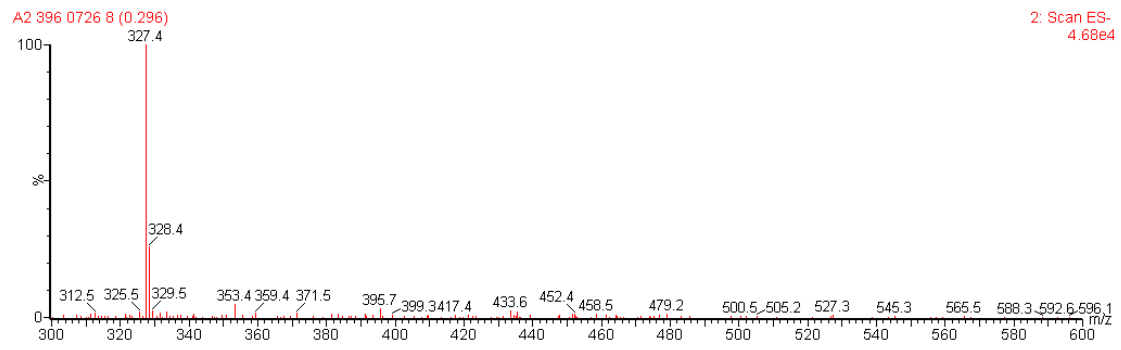
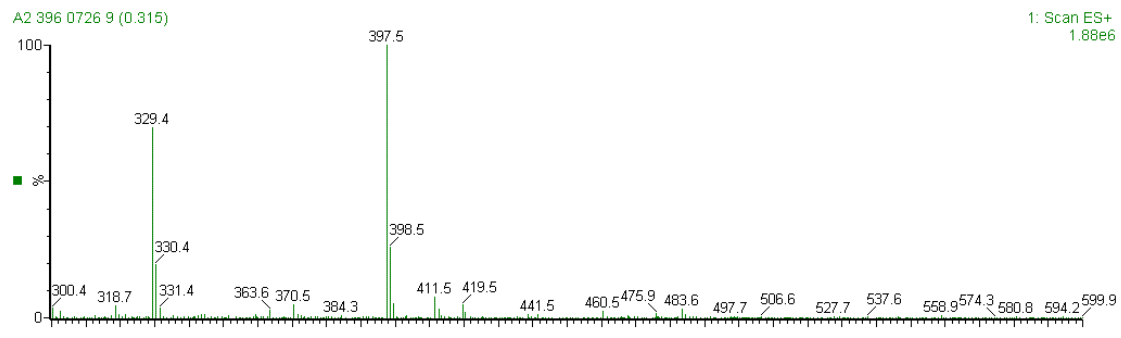
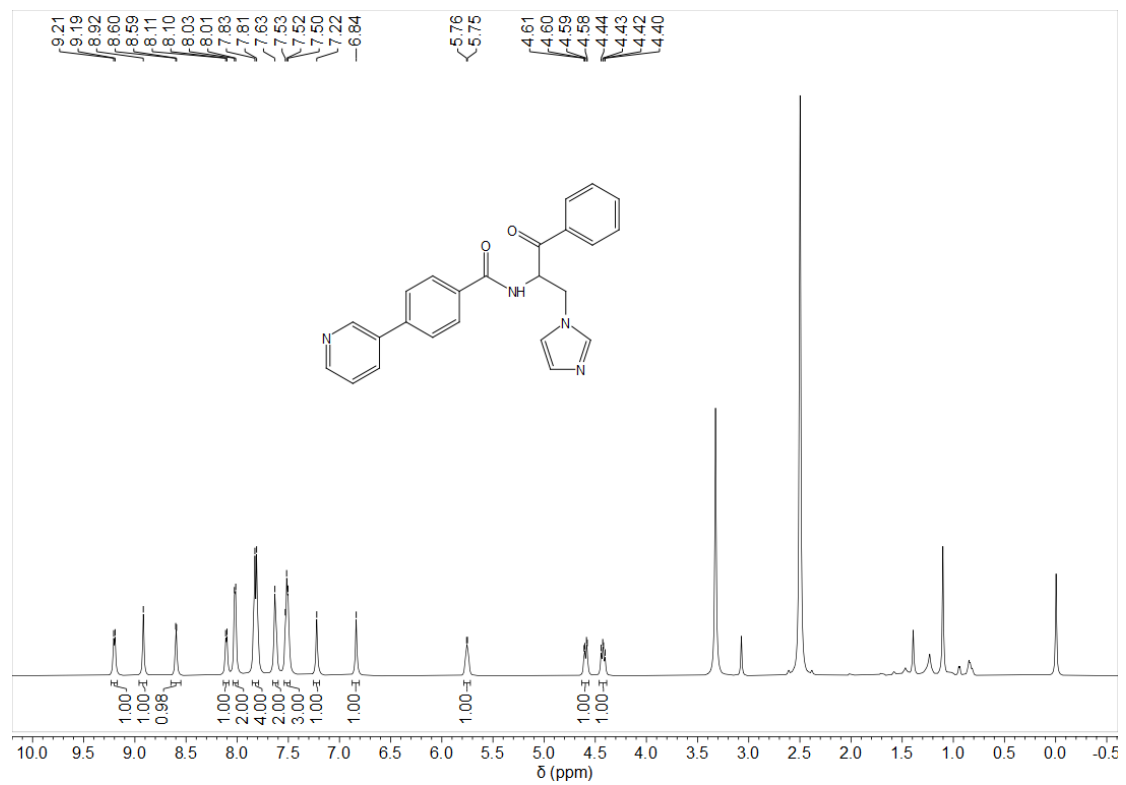


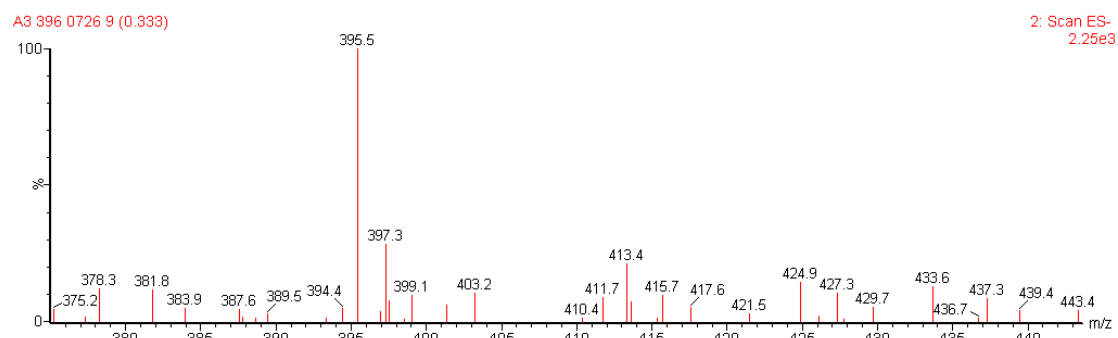
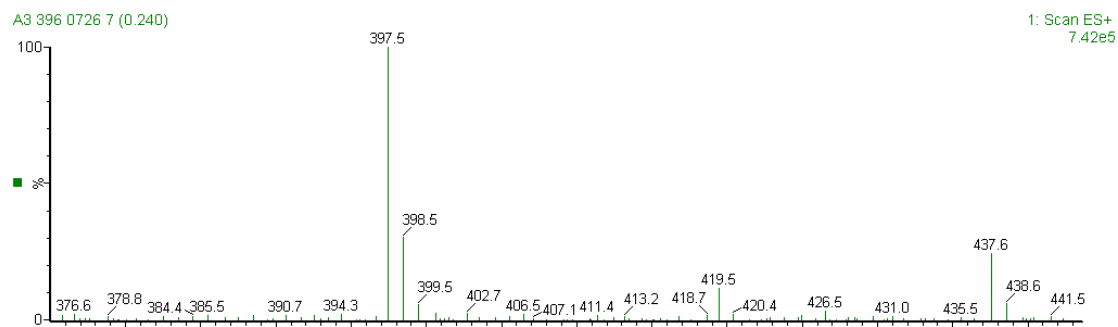
The $^1\text{H-NMR}$, $^{13}\text{C NMR}$ and MS spectrum of compound A1



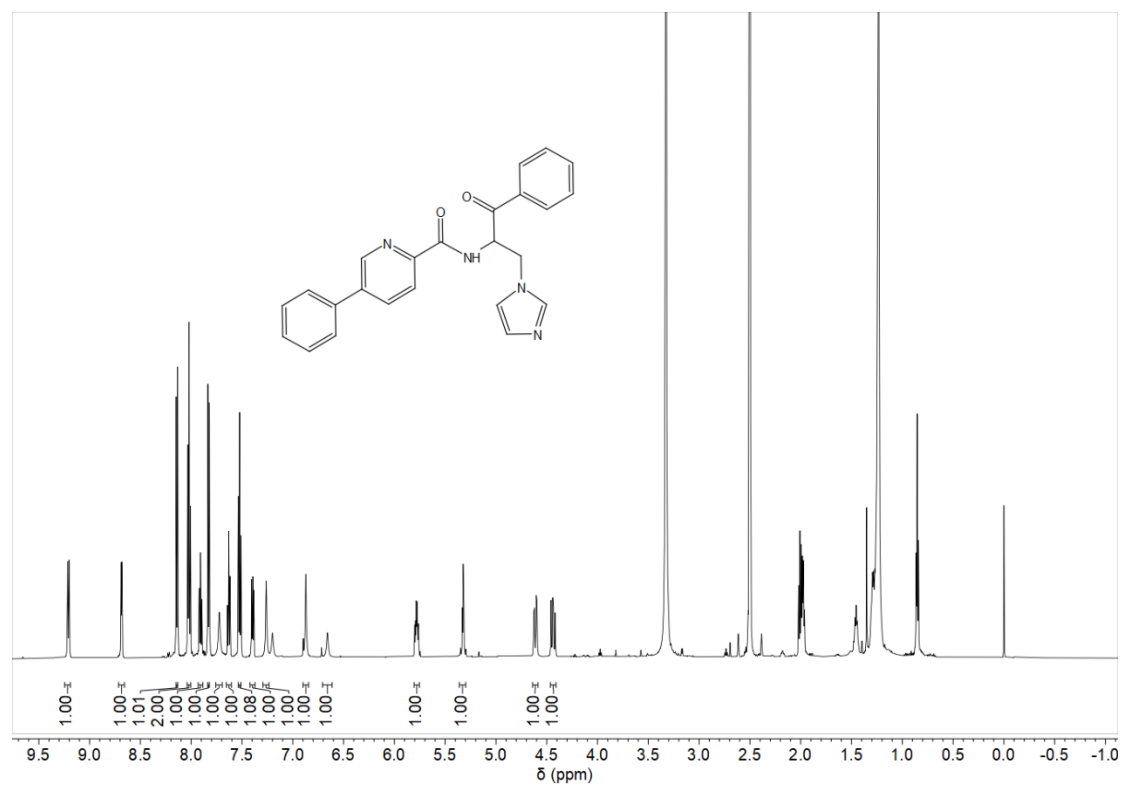


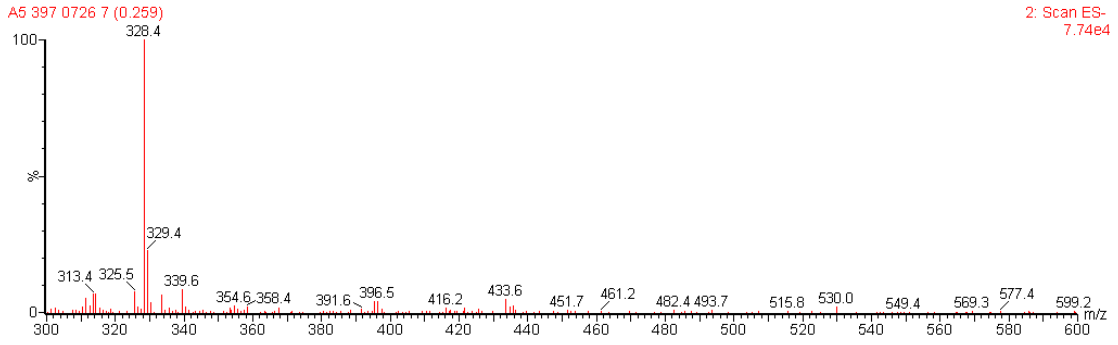
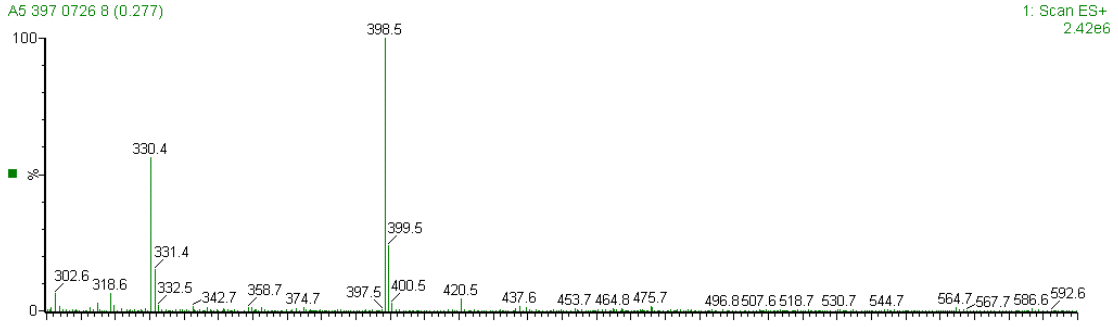
The ¹H-NMR and MS spectrum of compound A3



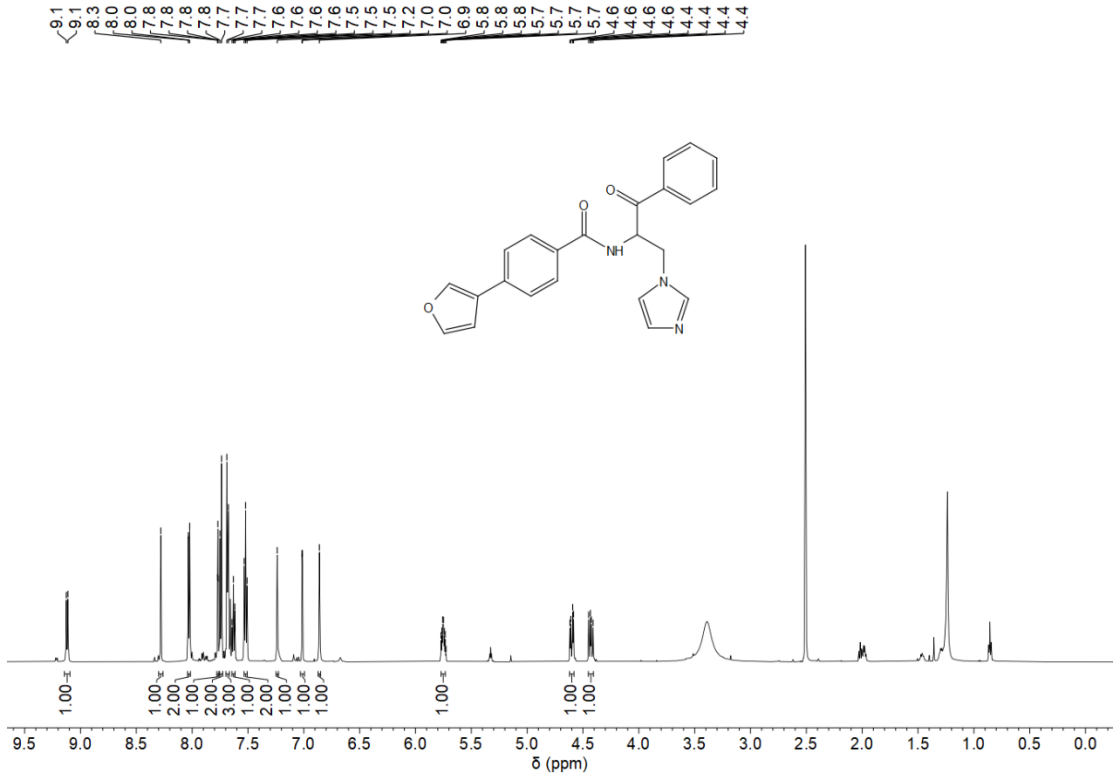


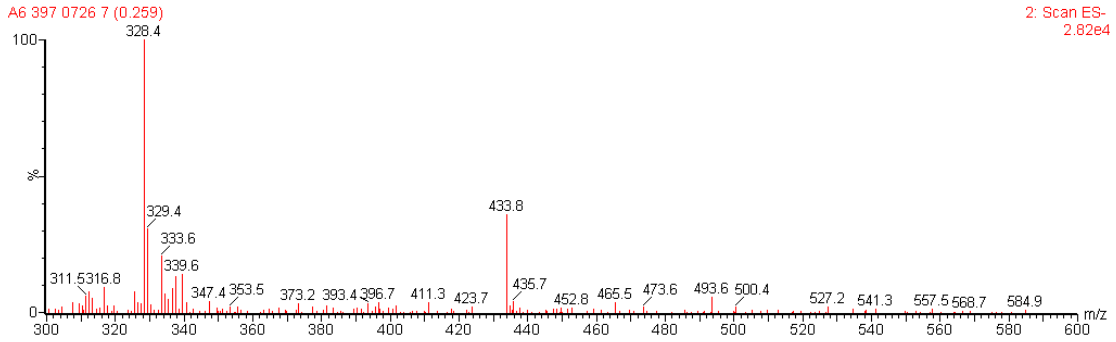
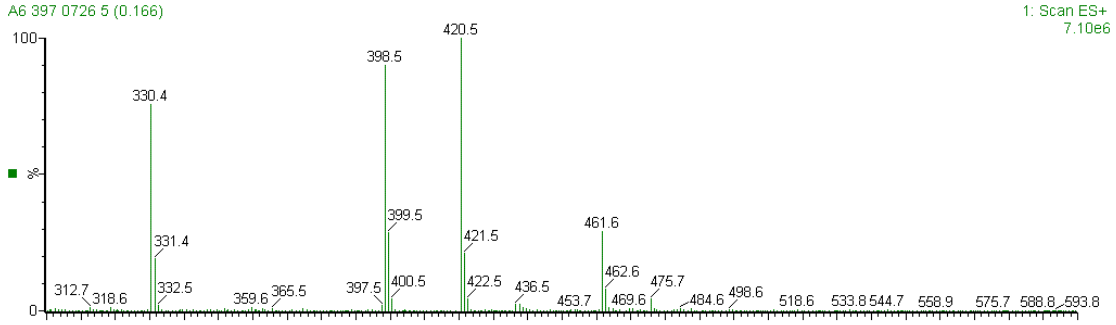
The $^1\text{H-NMR}$ and MS spectrum of compound A4



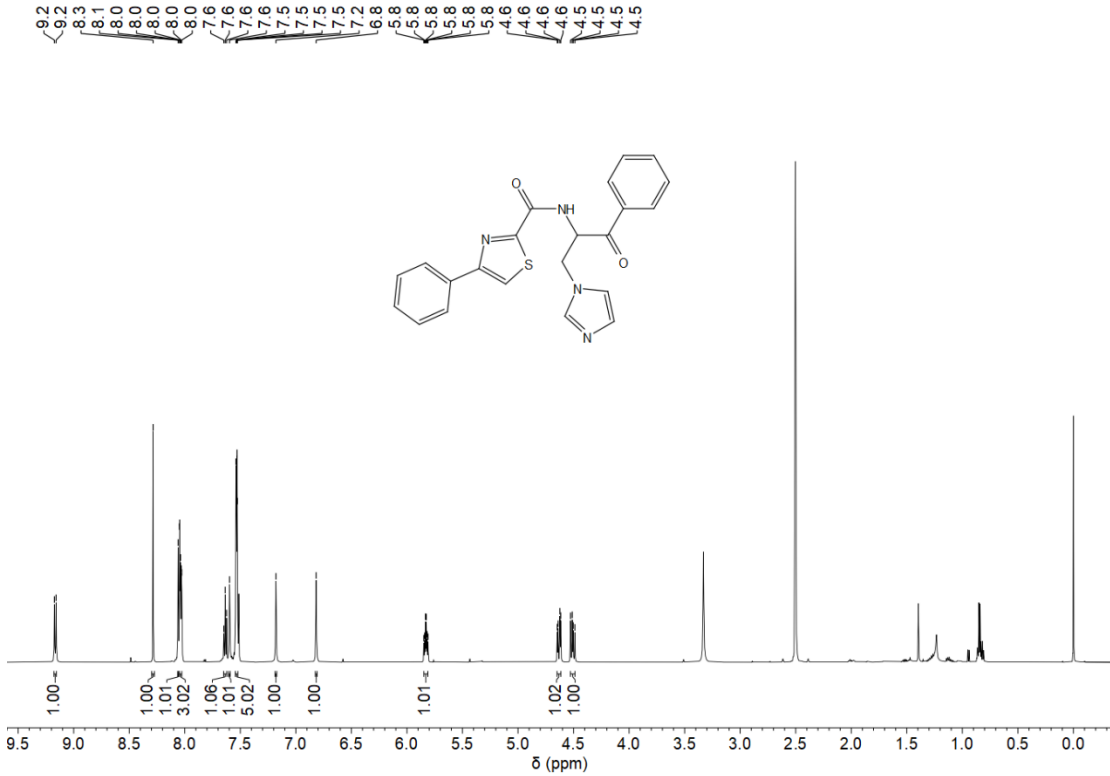


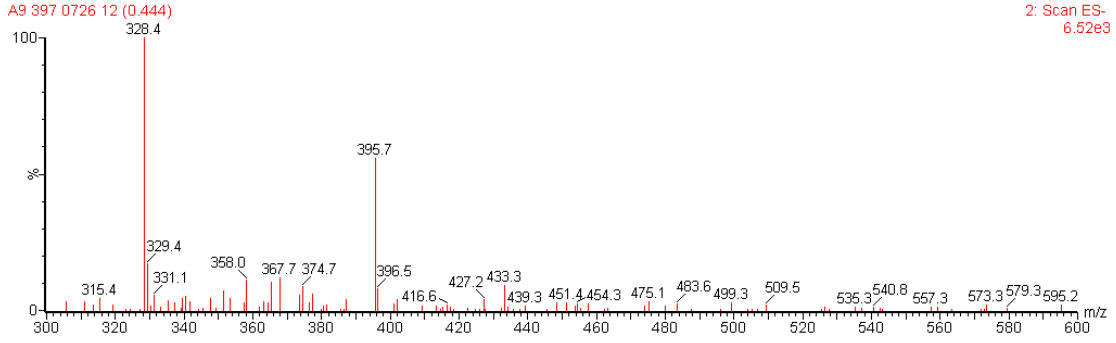
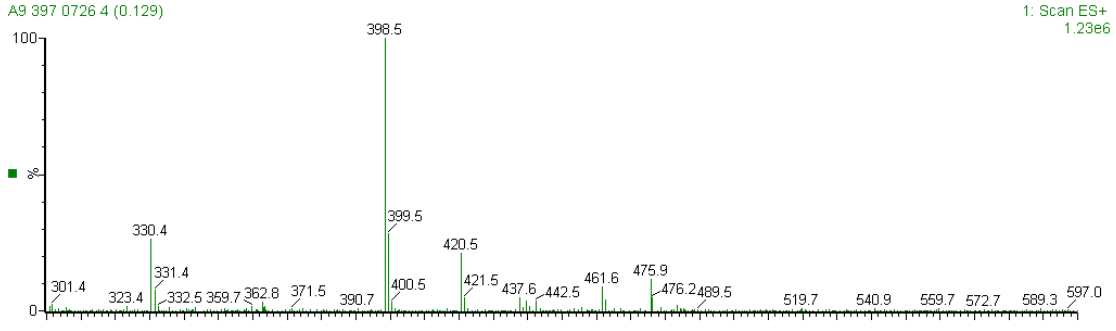
The ¹H-NMR and MS spectrum of compound A6



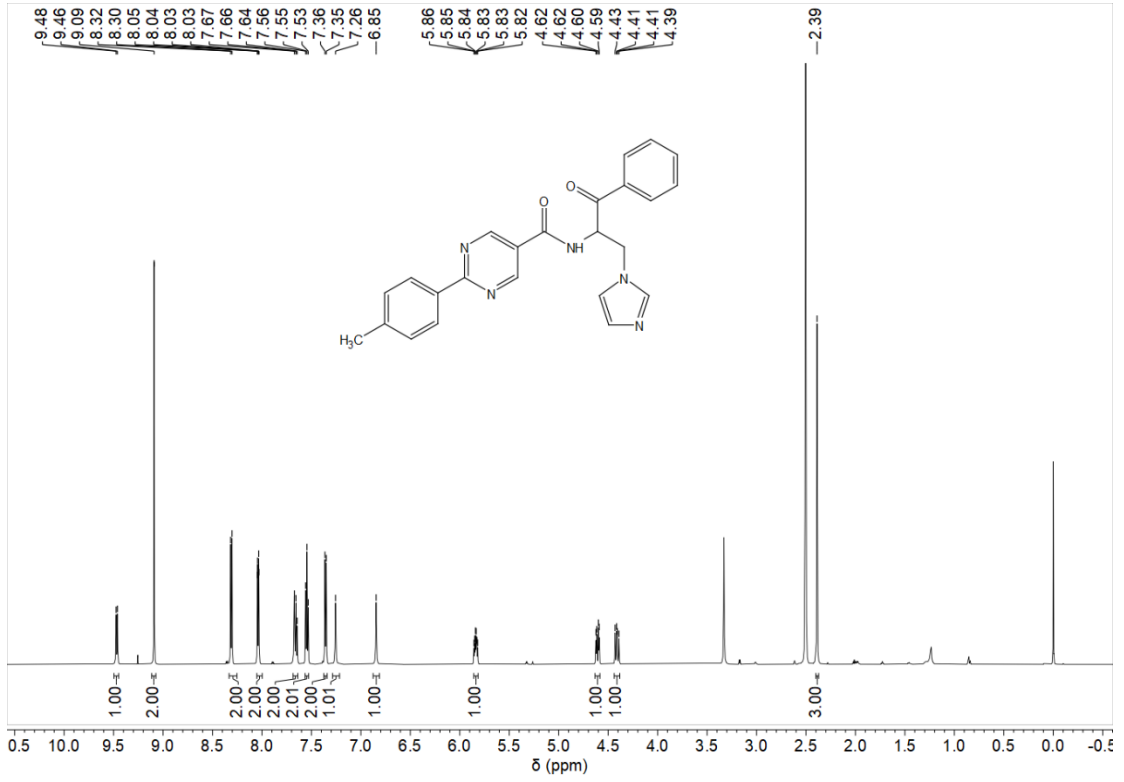


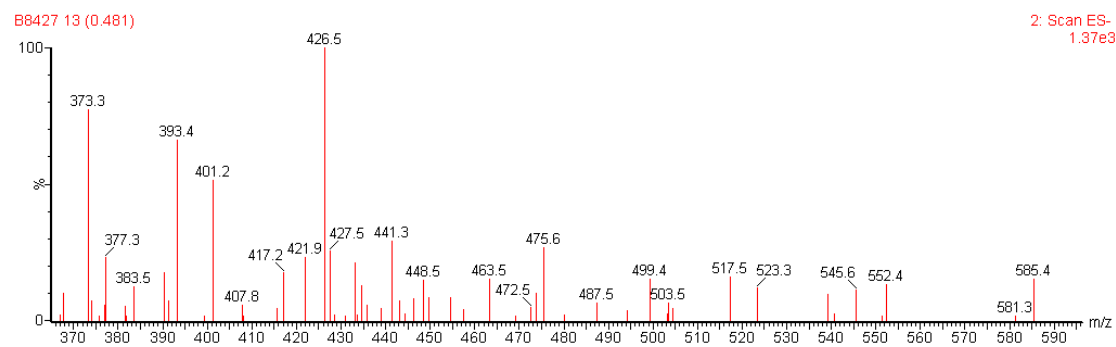
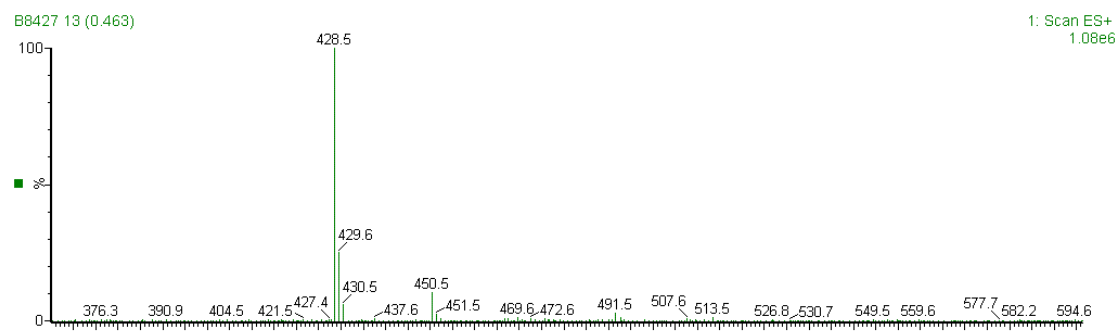
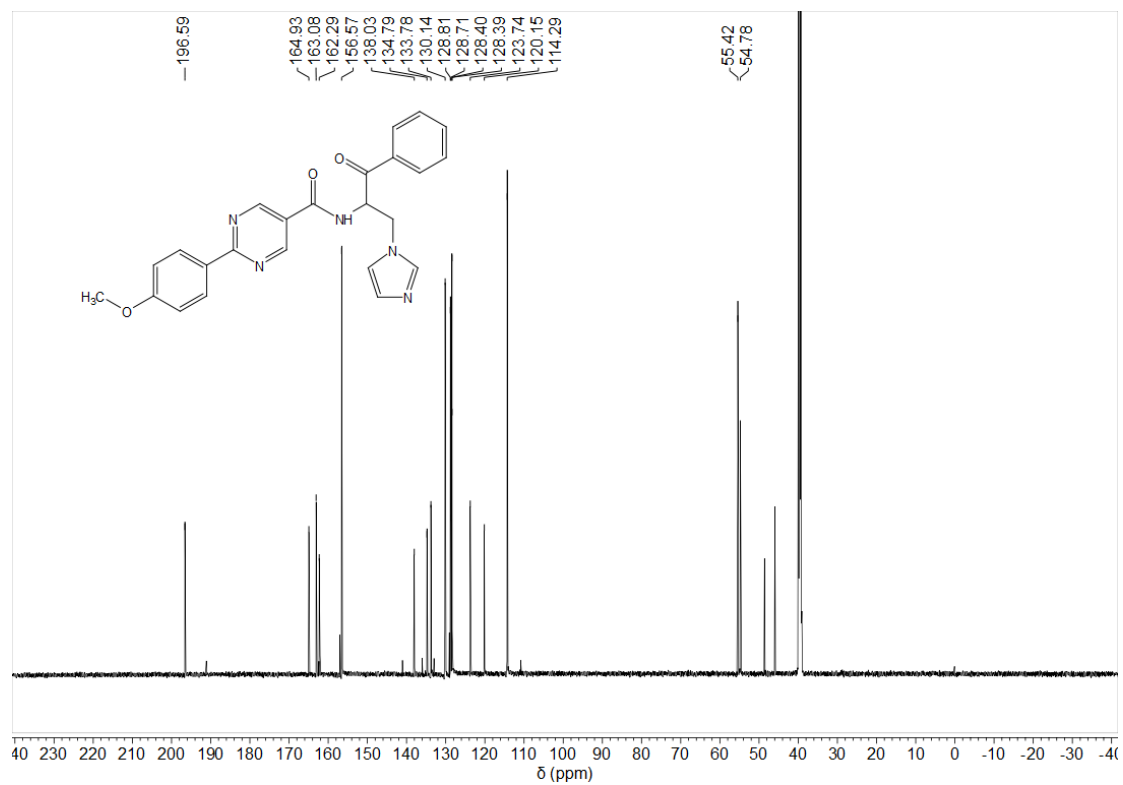
The ¹H-NMR and MS spectrum of compound A7



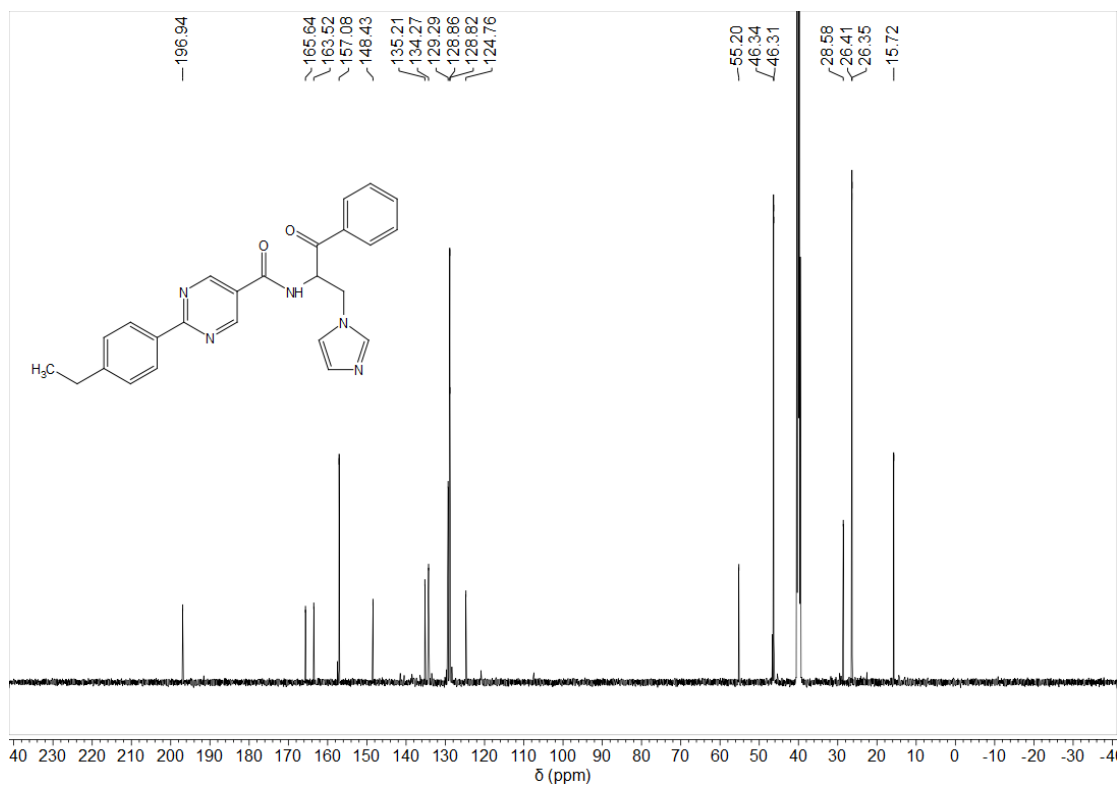
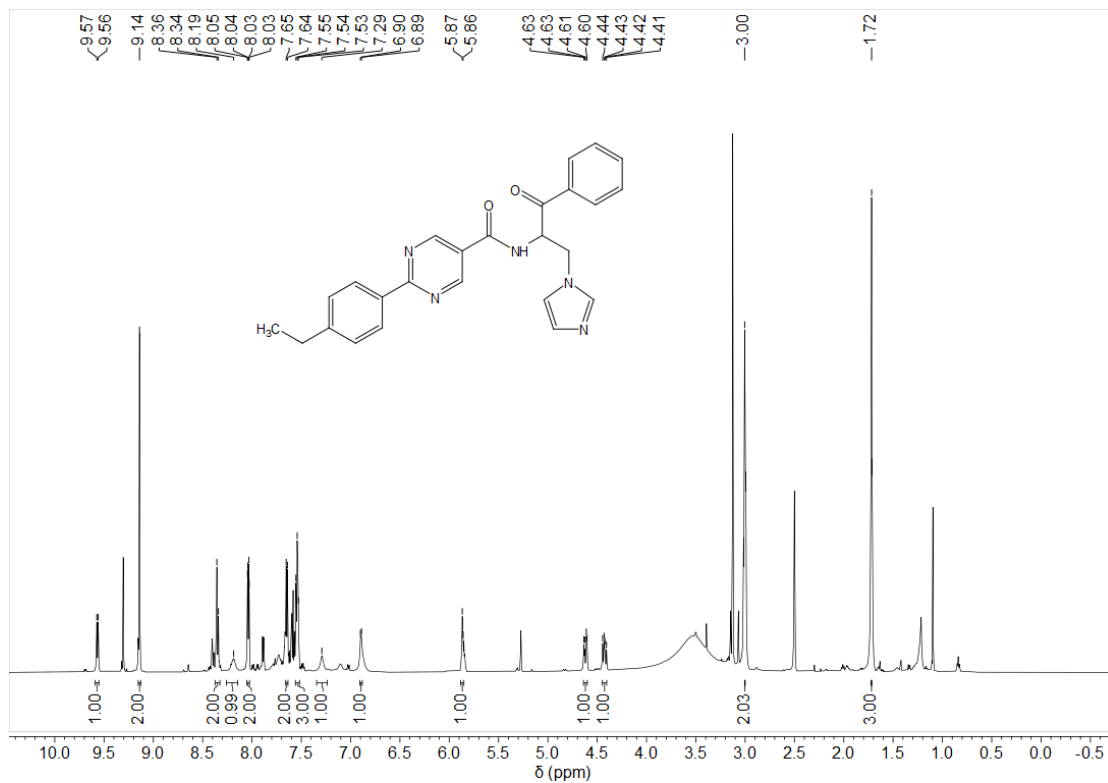


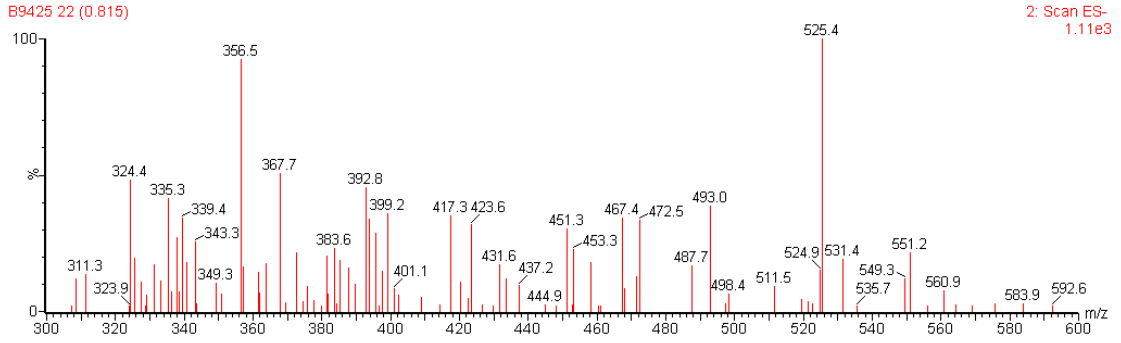
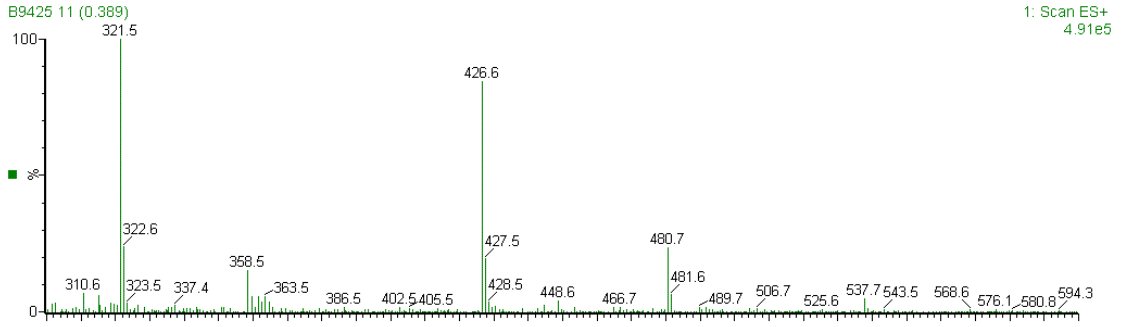
The ¹H-NMR and MS spectrum of compound **B1**



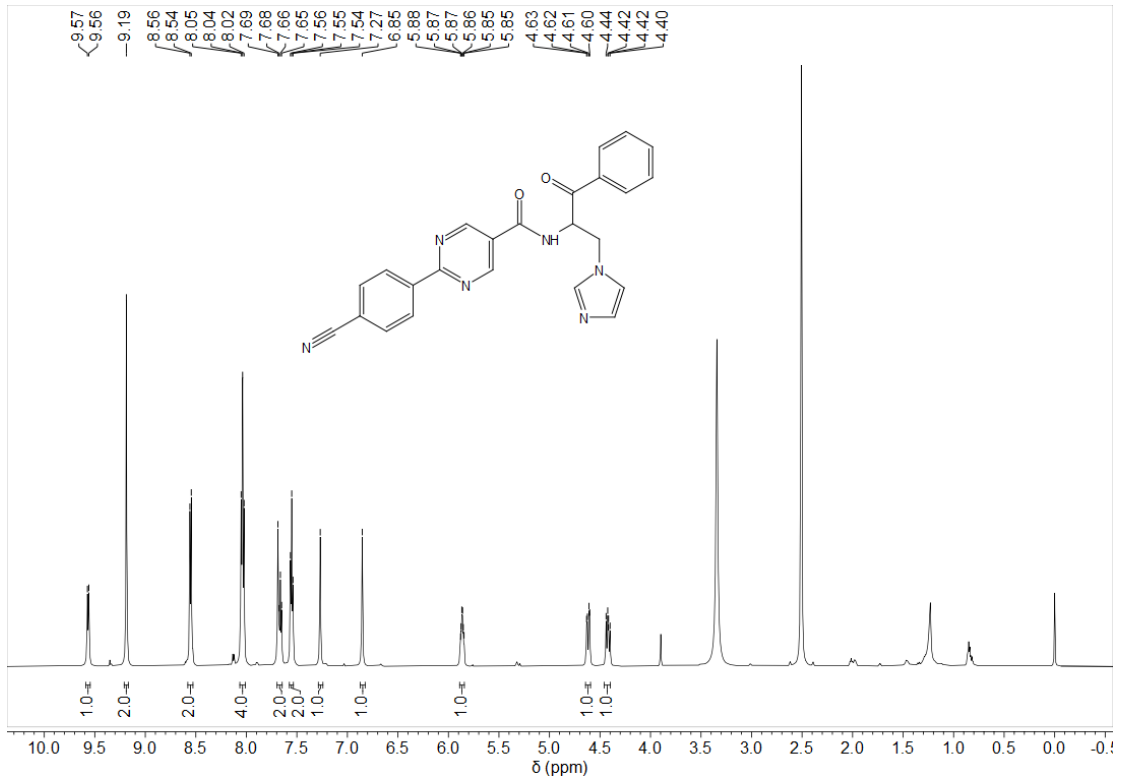


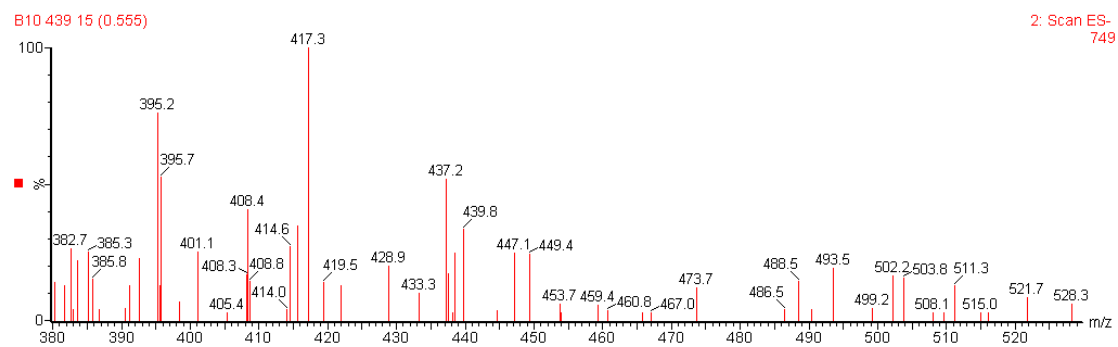
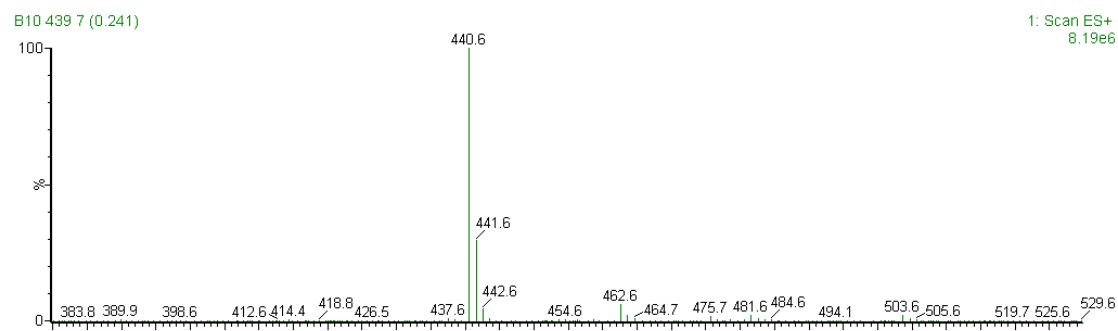
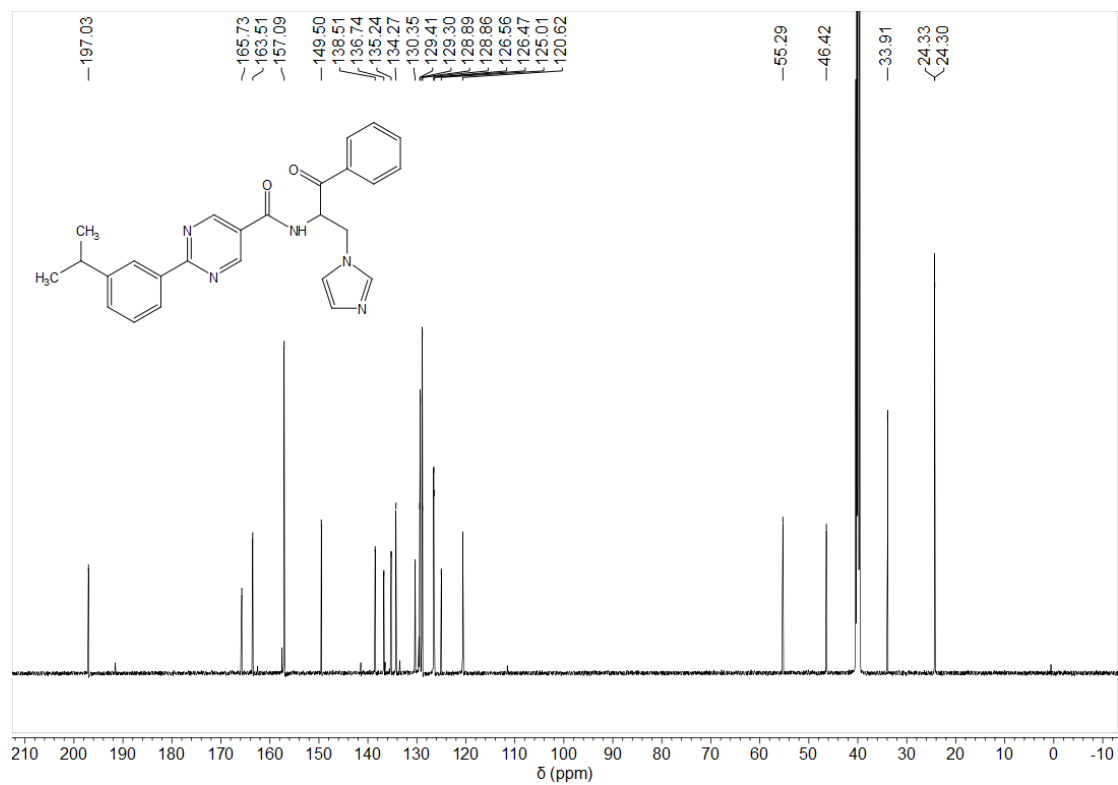
The $^1\text{H-NMR}$ and MS spectrum of compound B3



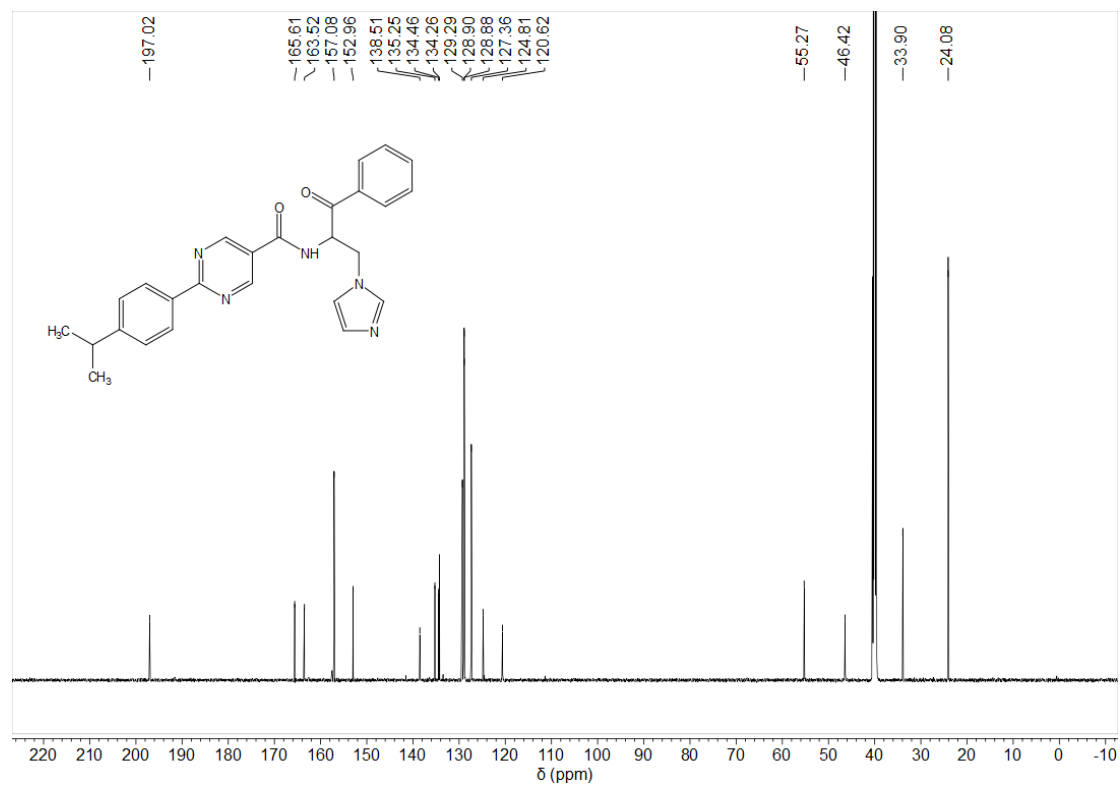
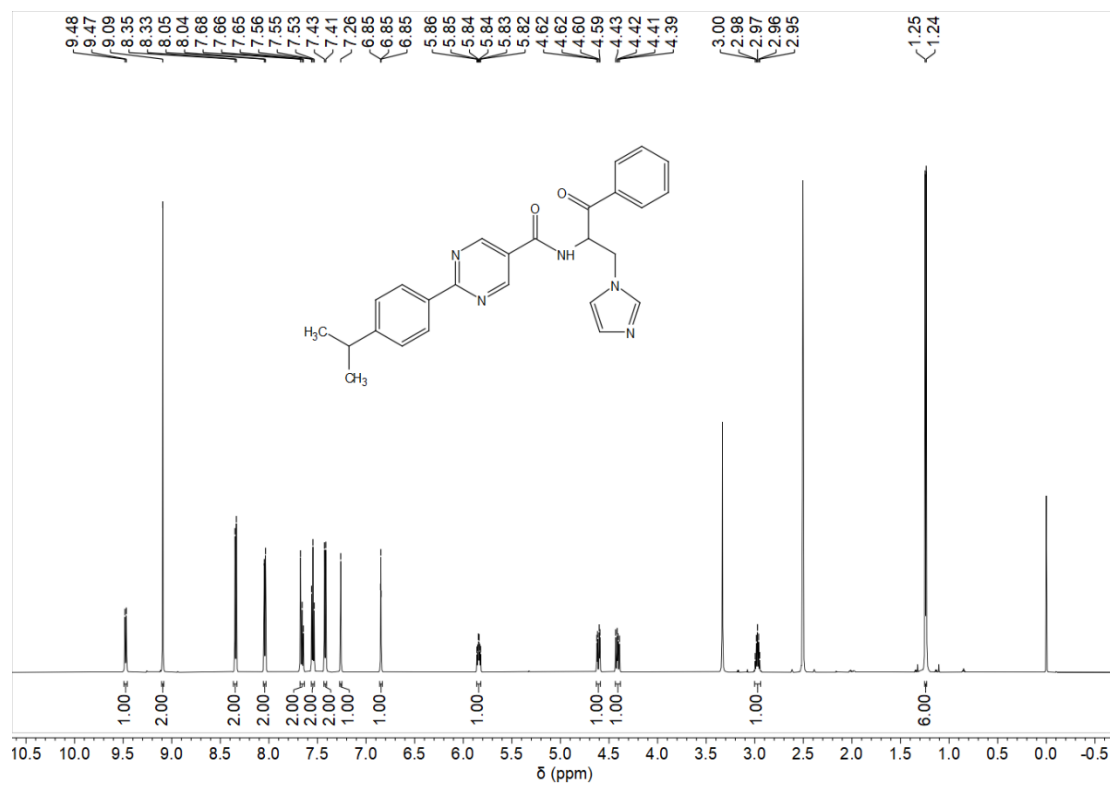


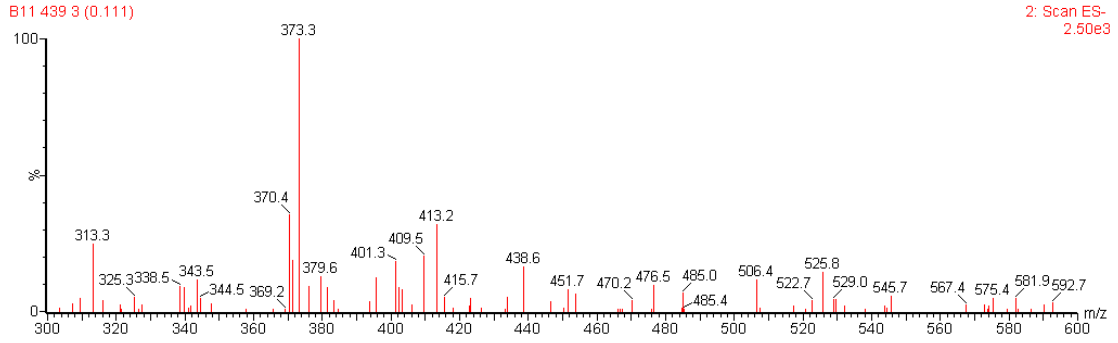
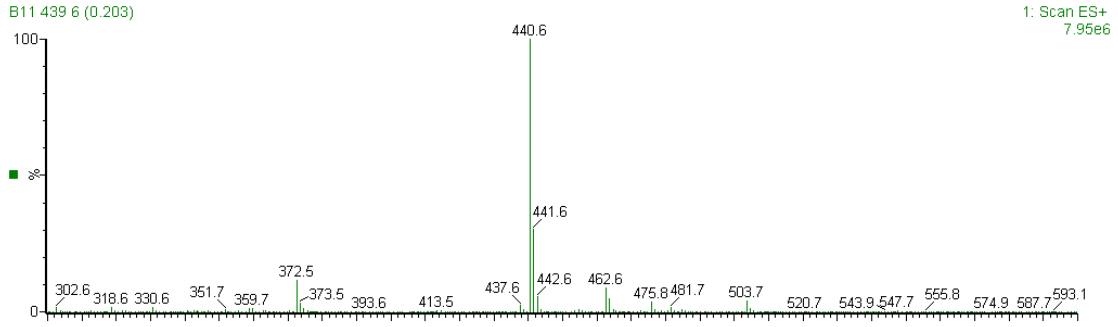
The ¹H-NMR and MS spectrum of compound B4



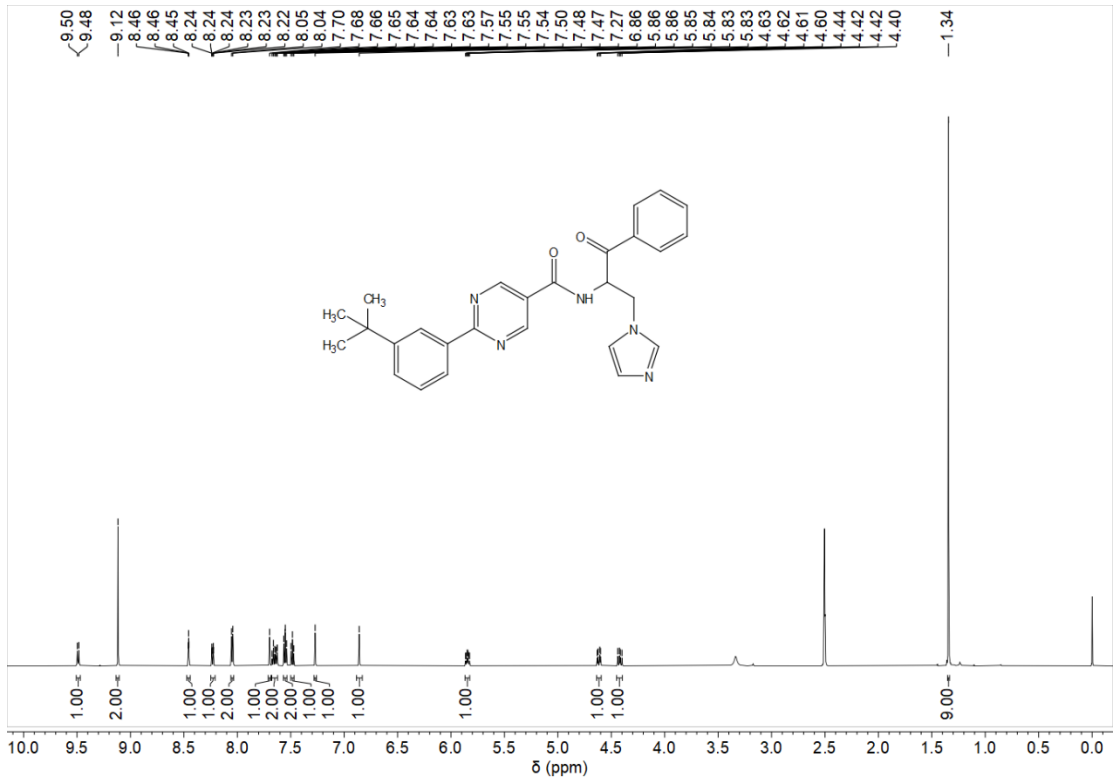


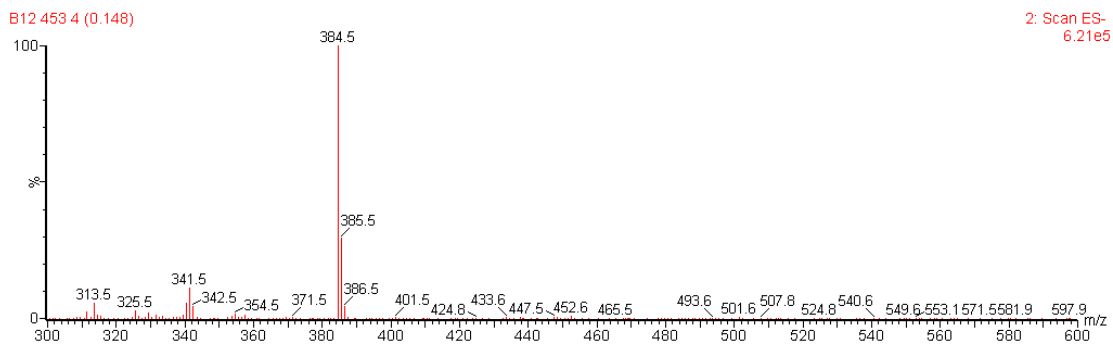
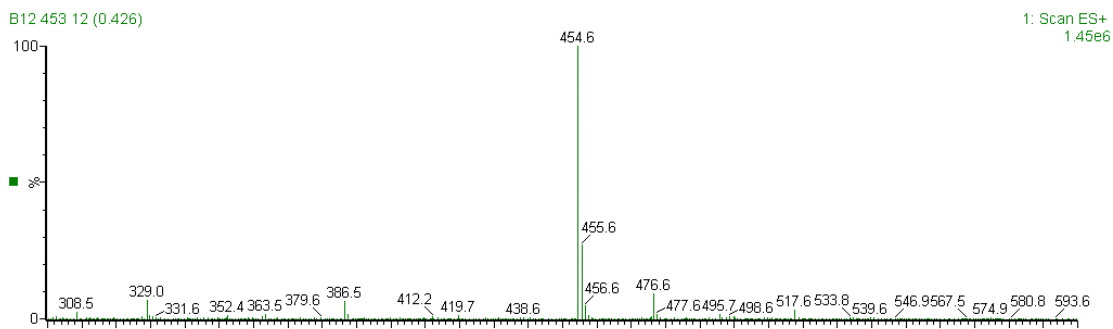
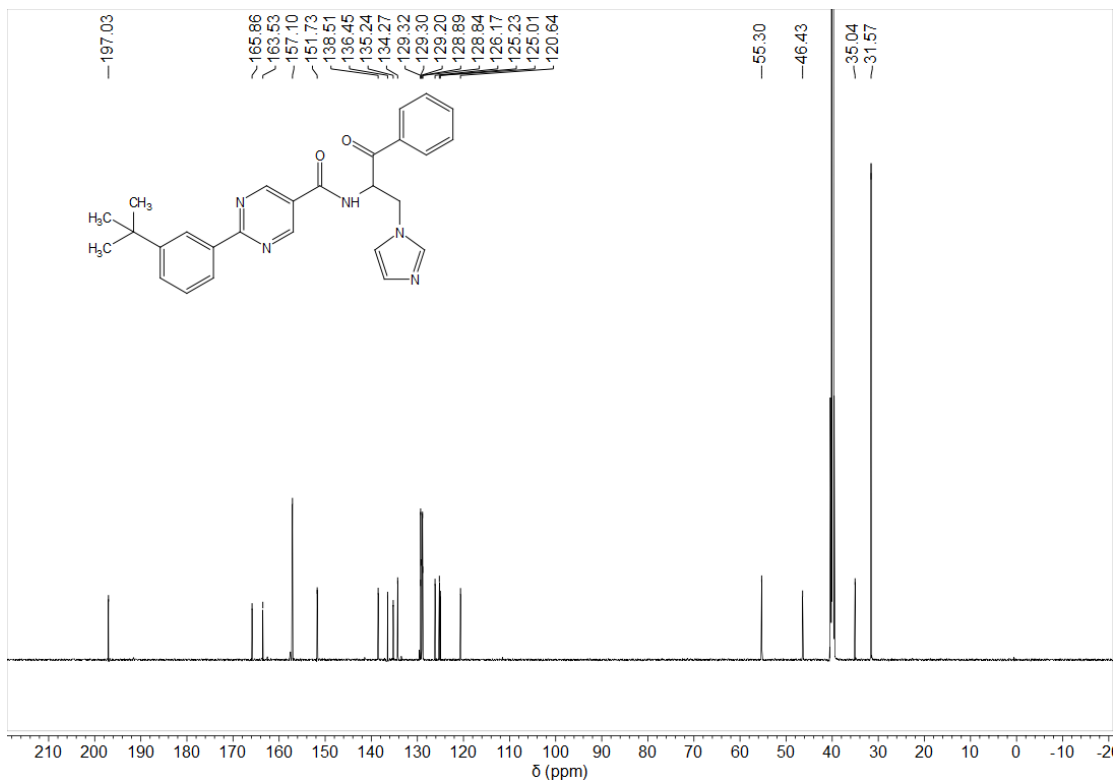
The ^1H -NMR, ^{13}C NMR and MS spectrum of compound B6



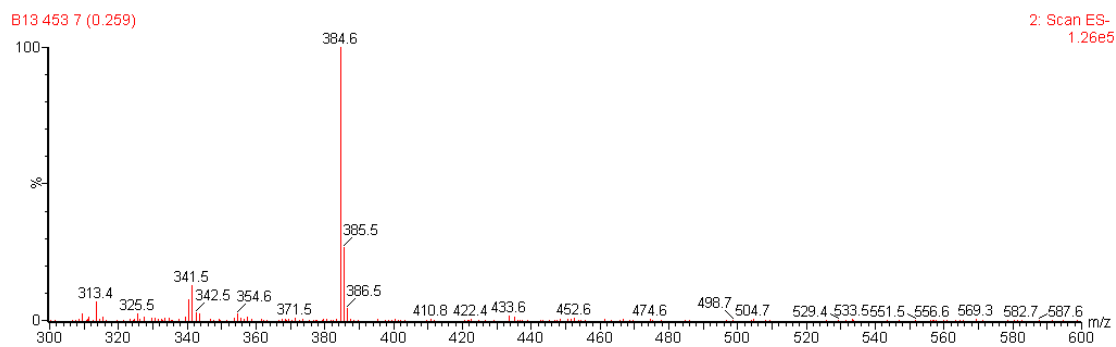
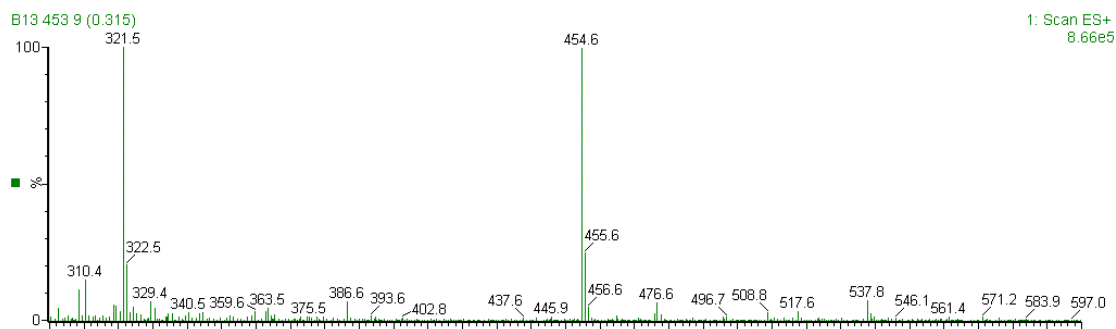
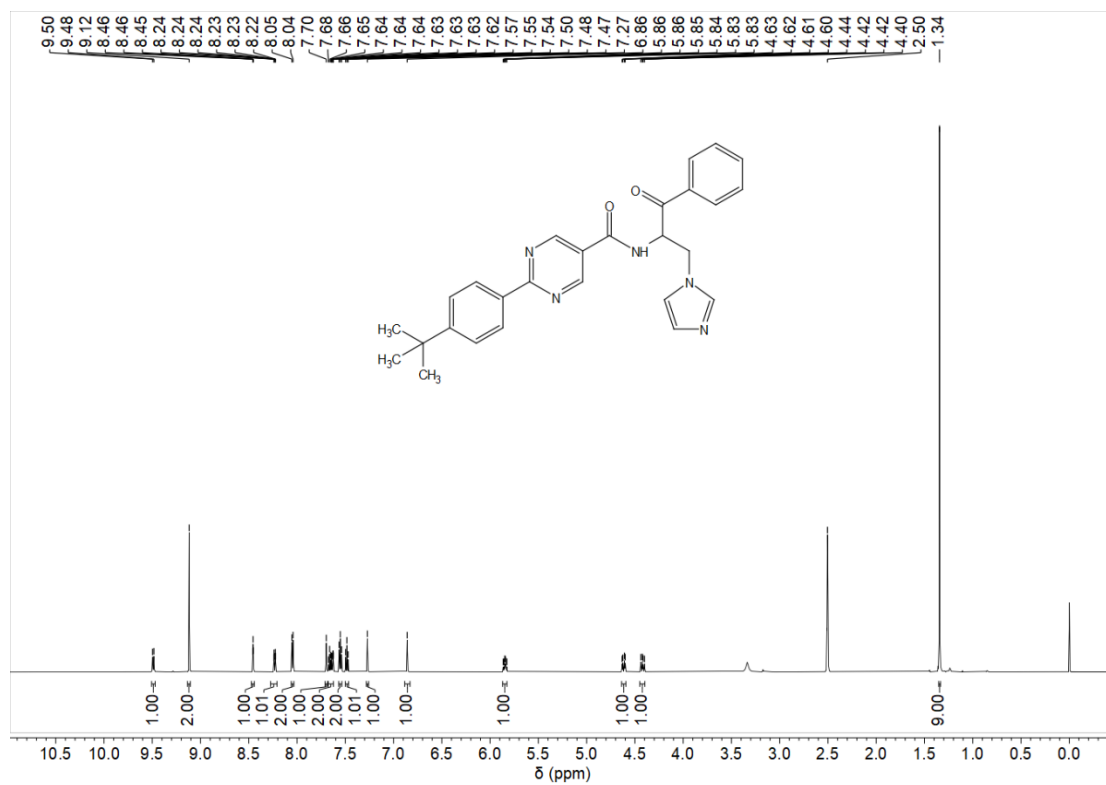


The $^1\text{H-NMR}$, $^{13}\text{C NMR}$ and MS spectrum of compound **B7**

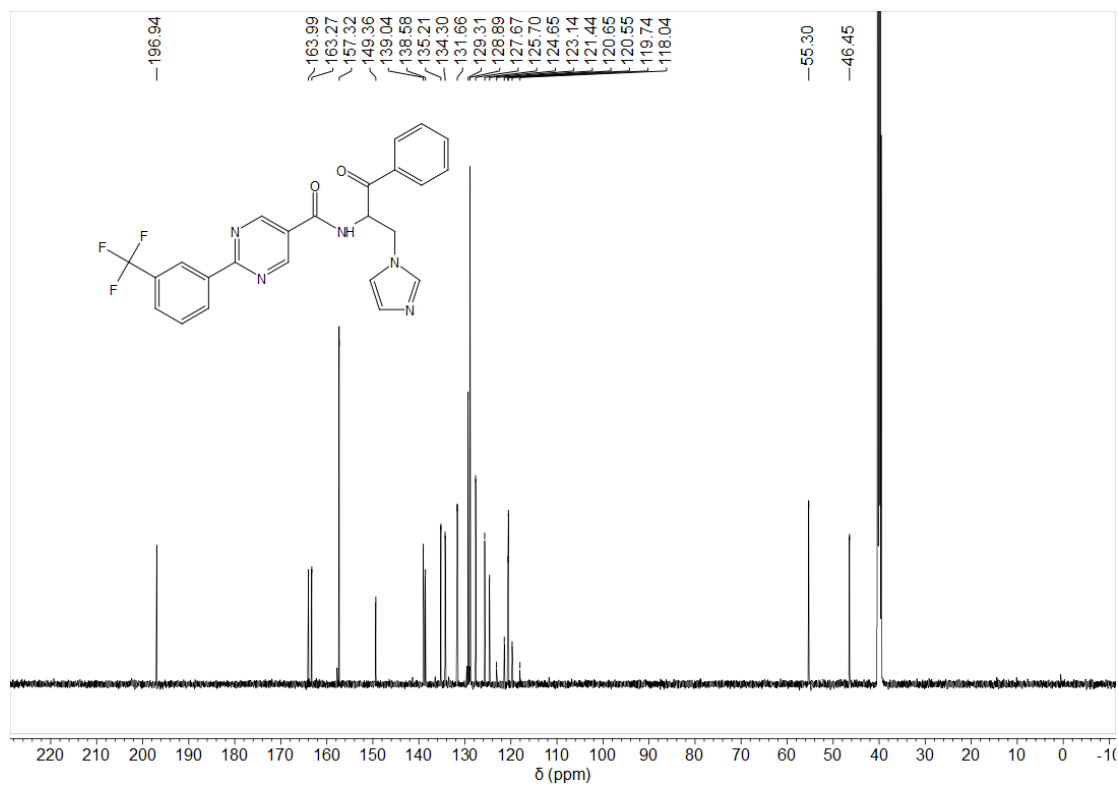
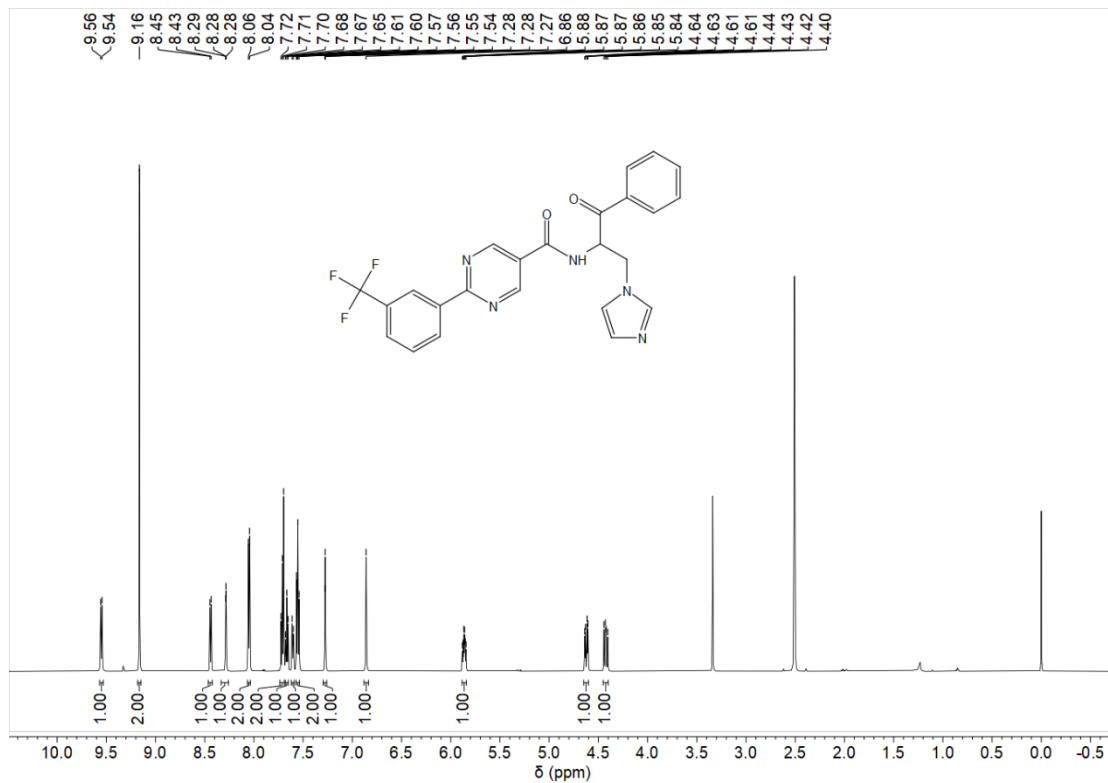


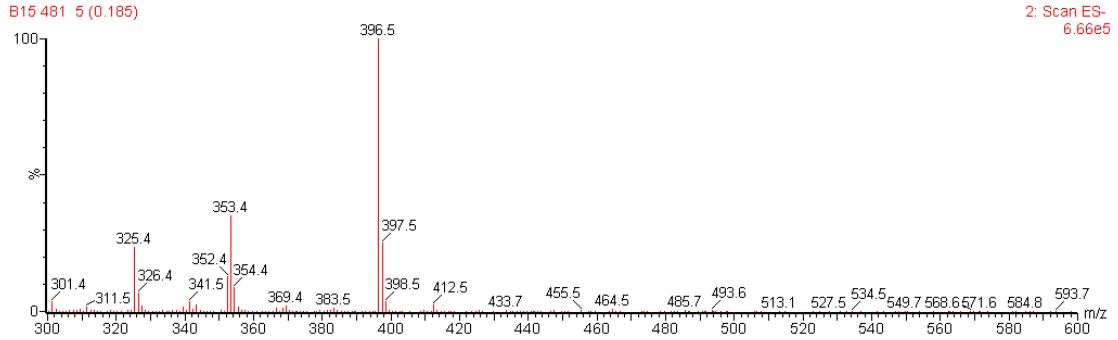
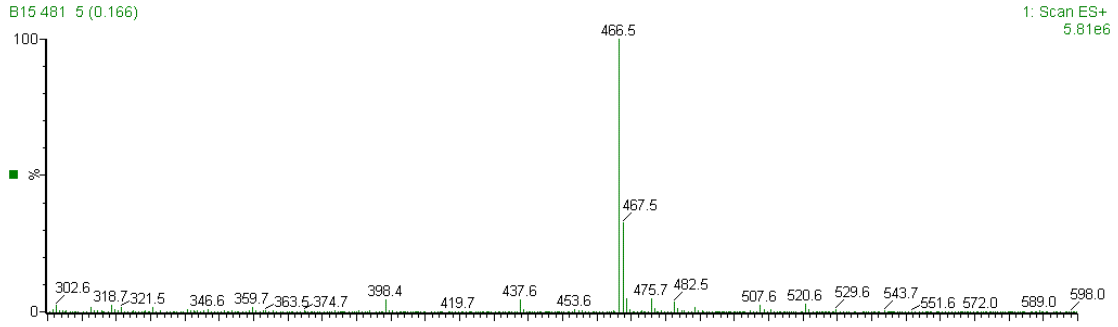


The $^1\text{H-NMR}$ and MS spectrum of compound **B8**

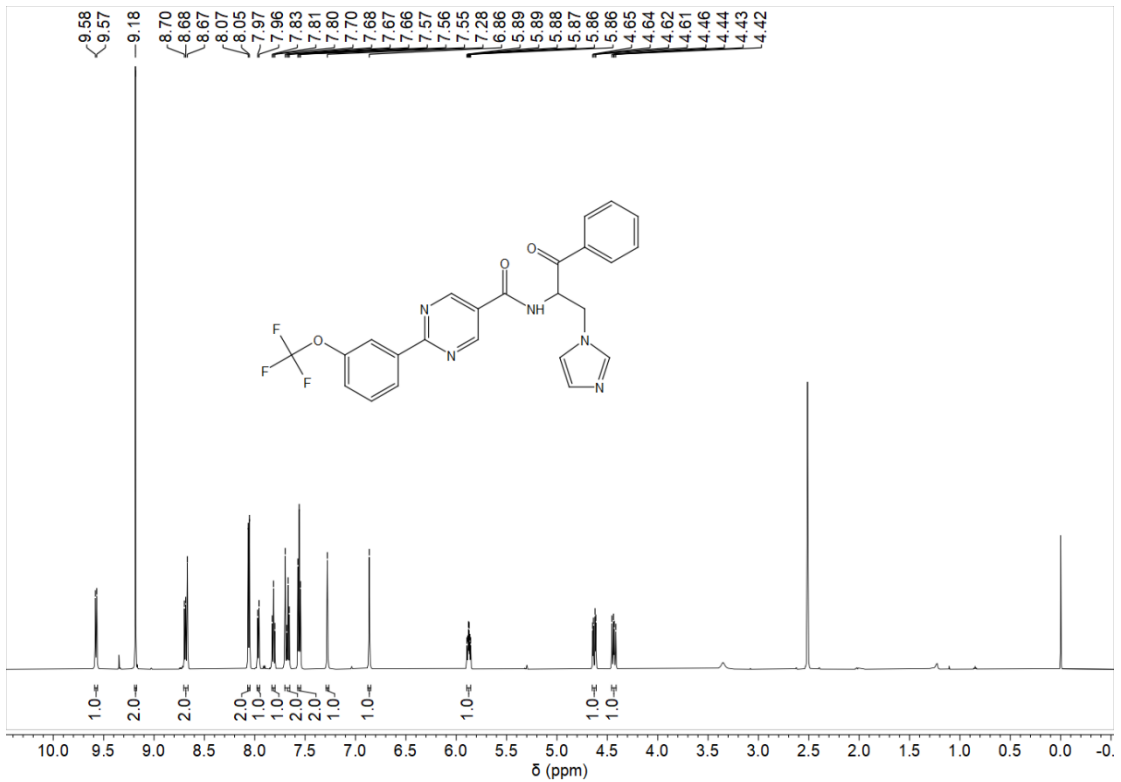


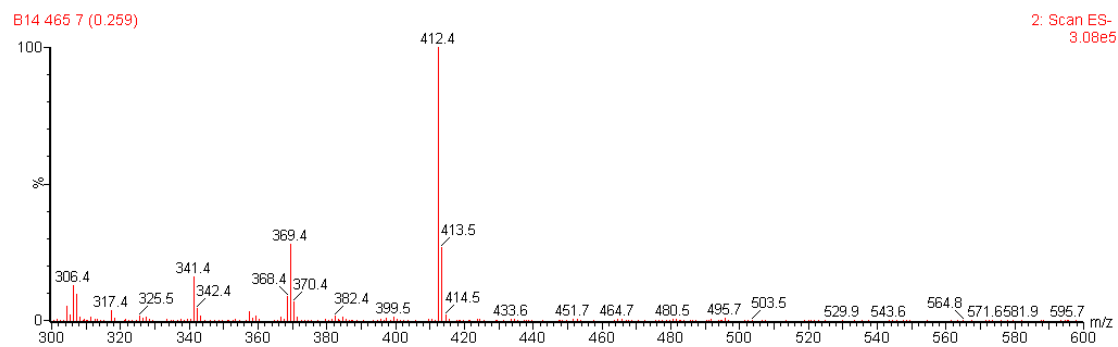
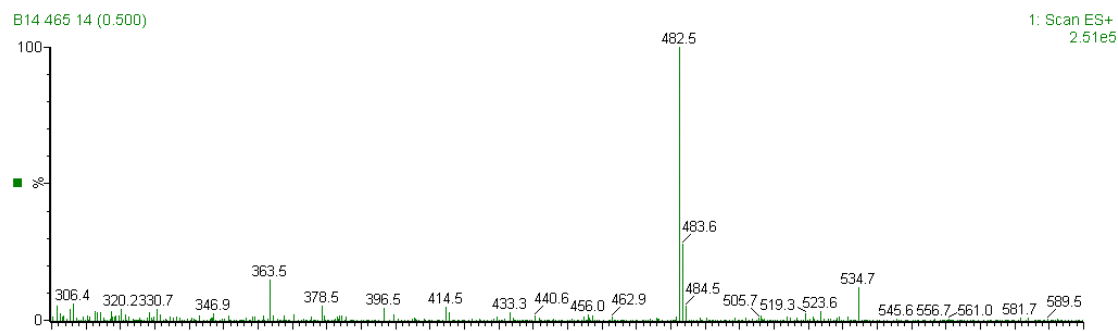
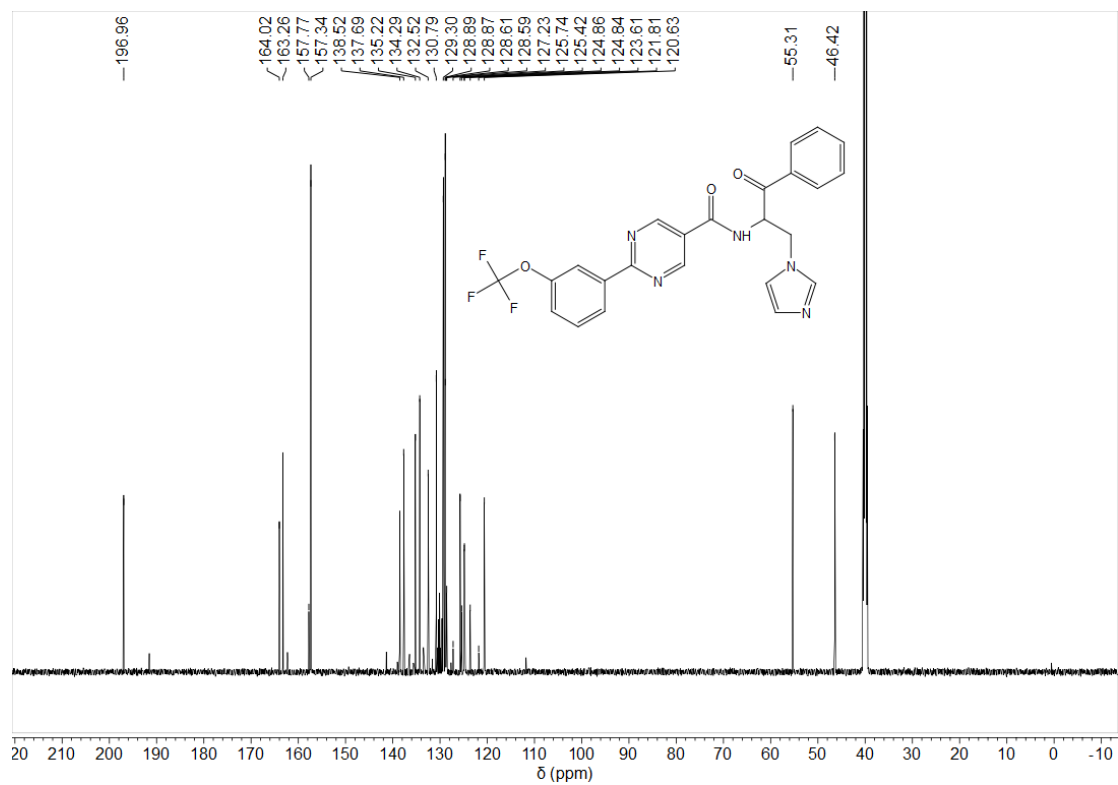
The $^1\text{H-NMR}$, $^{13}\text{C NMR}$ and MS spectrum of compound B9



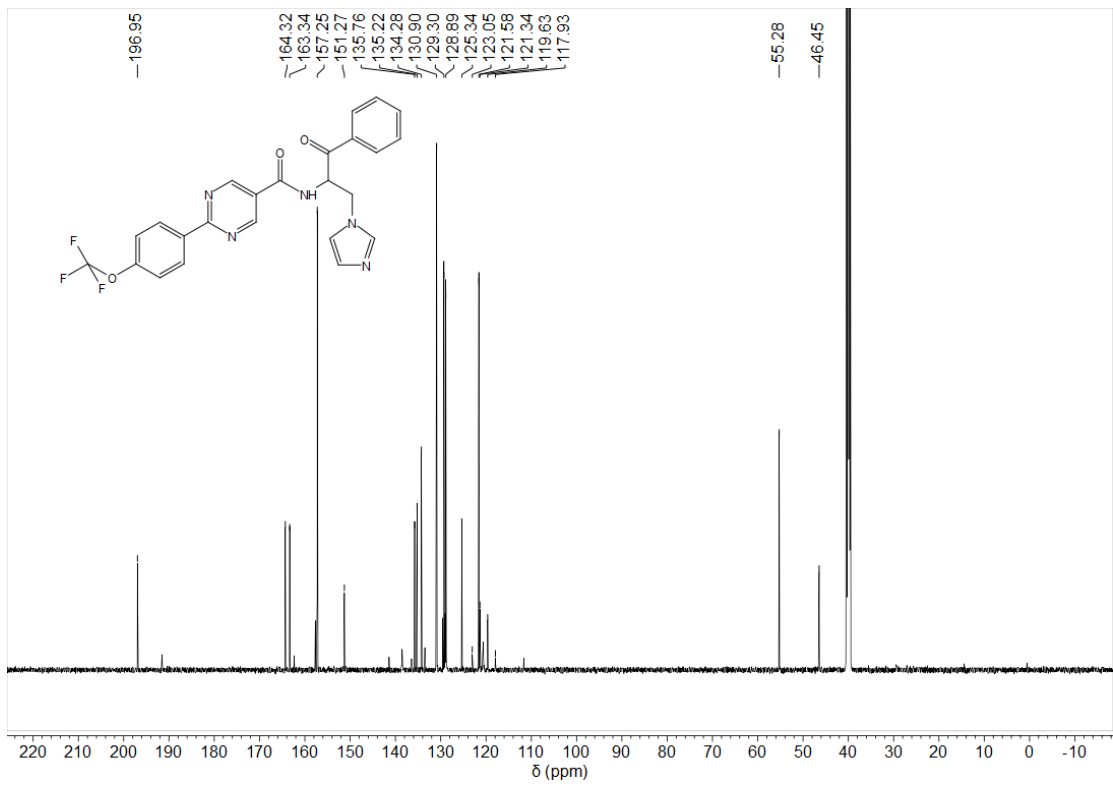
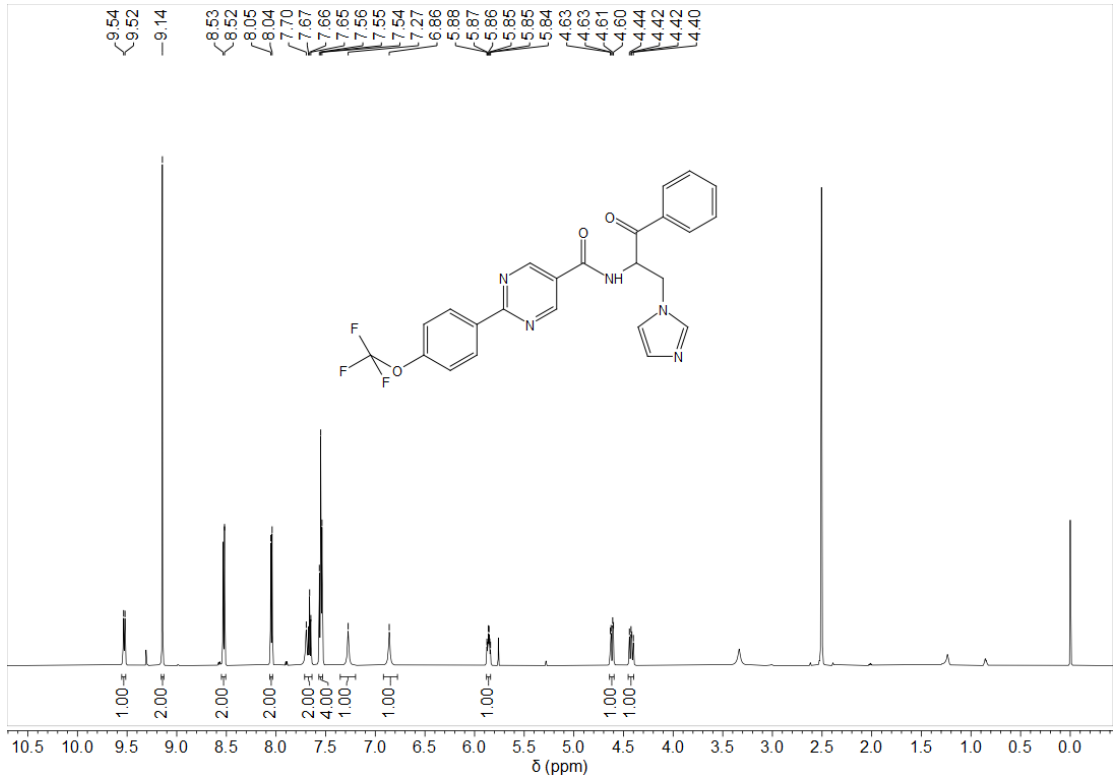


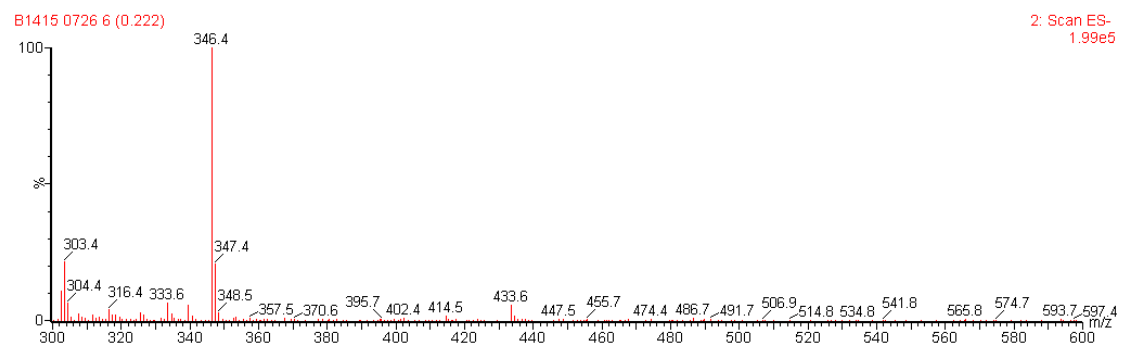
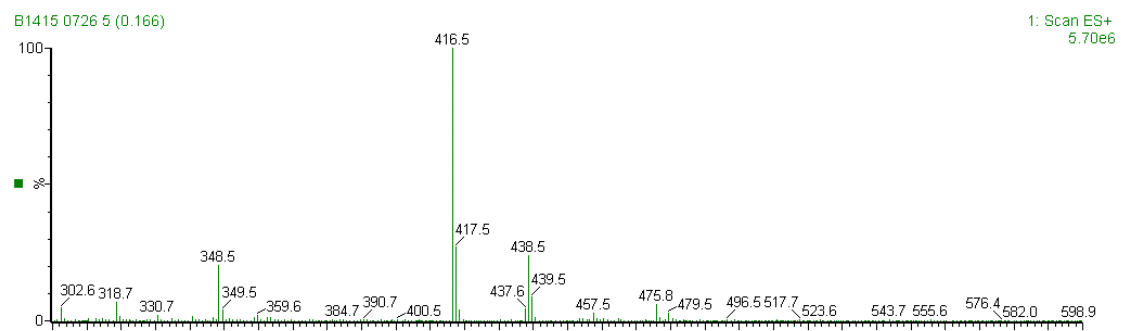
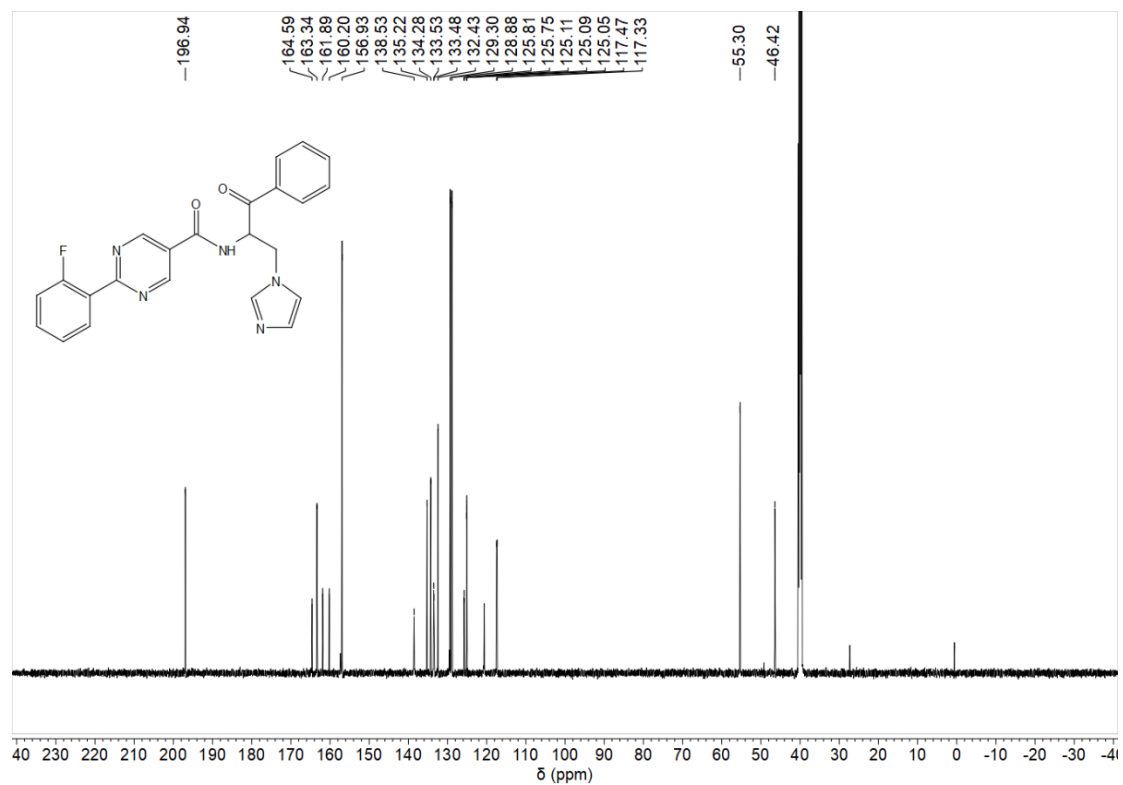
The $^1\text{H-NMR}$, $^{13}\text{C NMR}$ and MS spectrum of compound **B10**



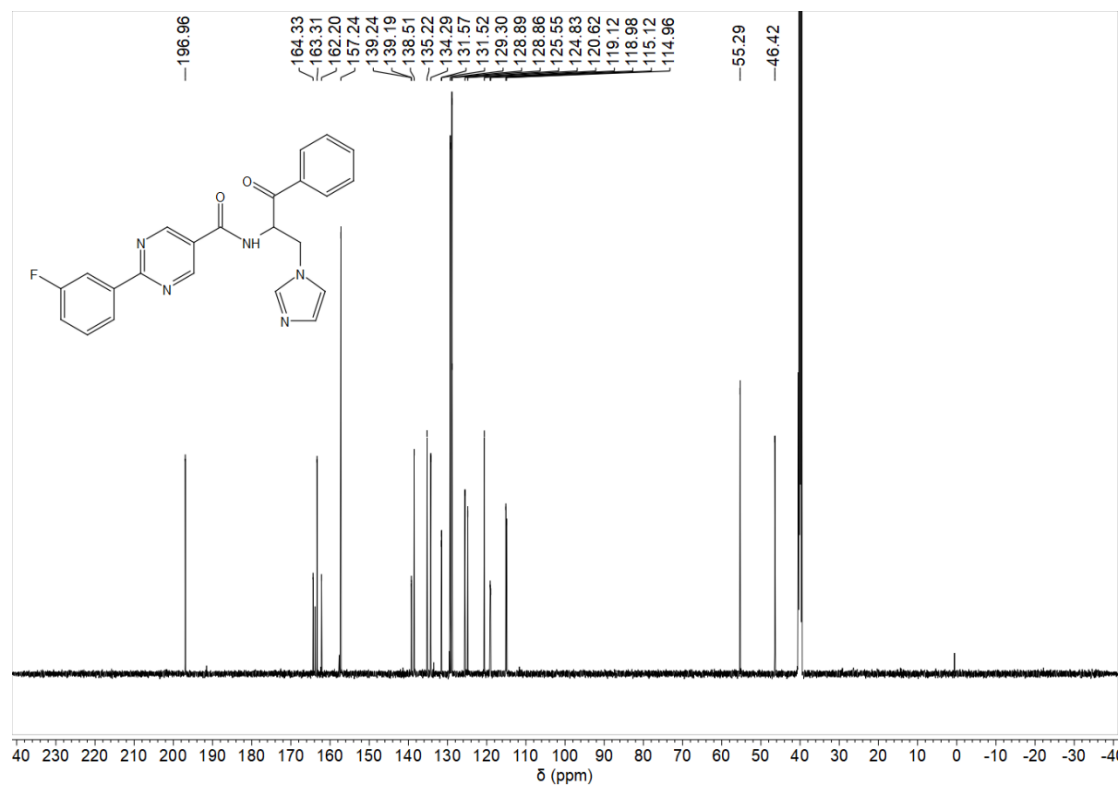
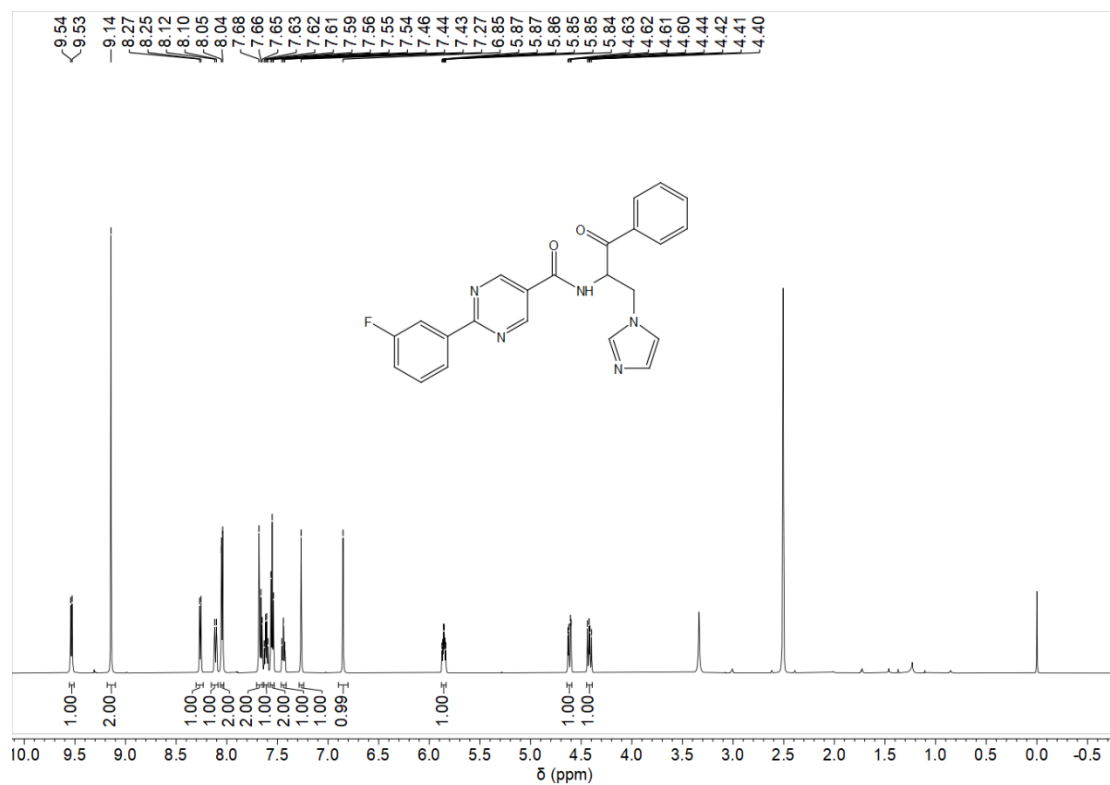


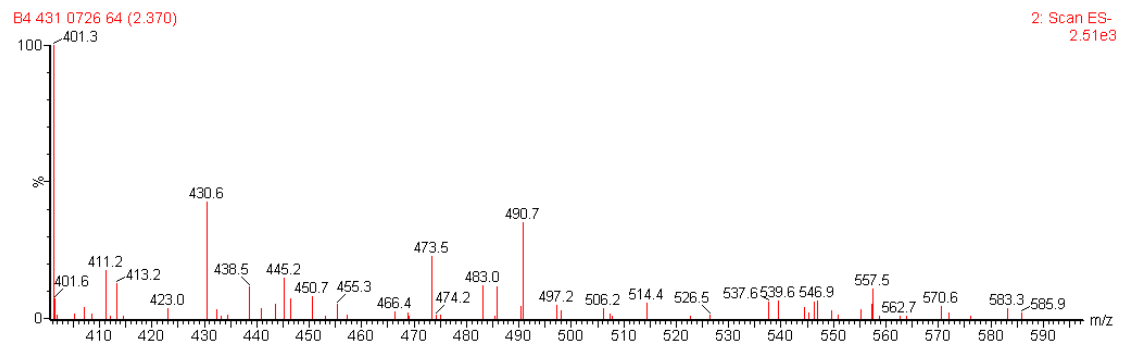
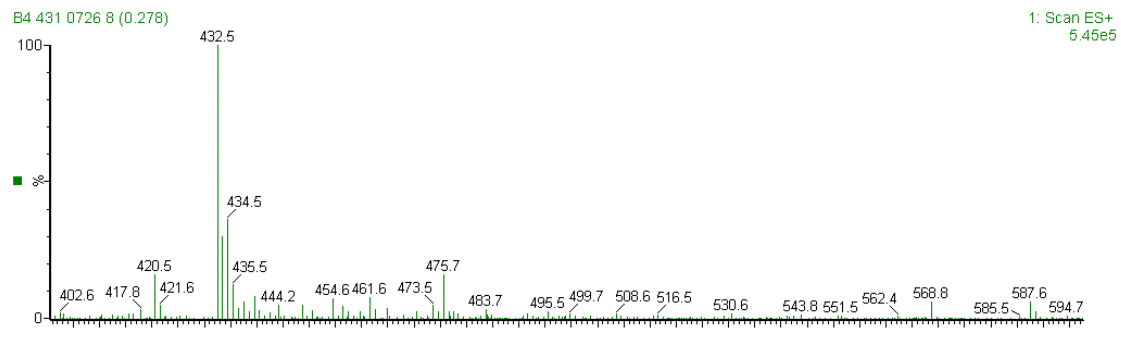
The ^1H -NMR, ^{13}C NMR and MS spectrum of compound **B11**



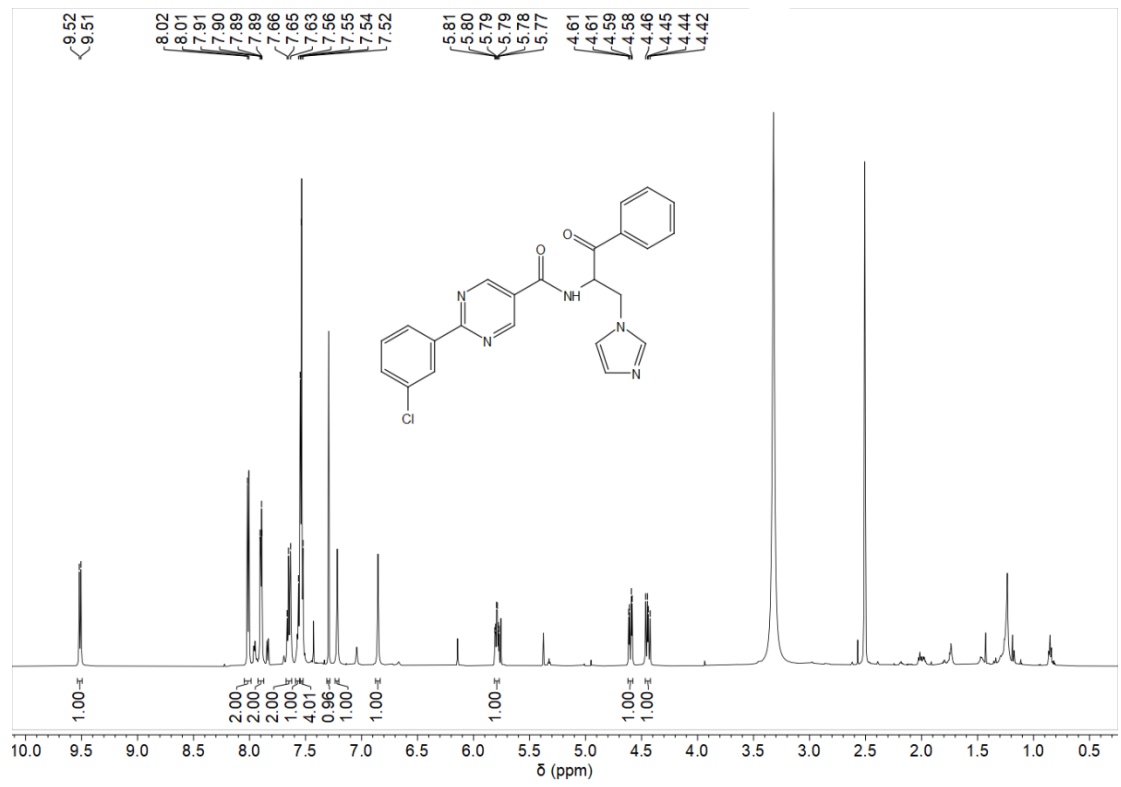


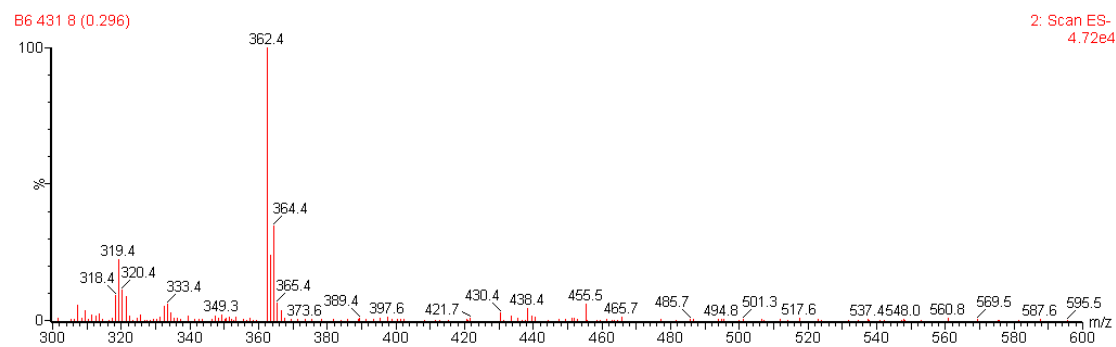
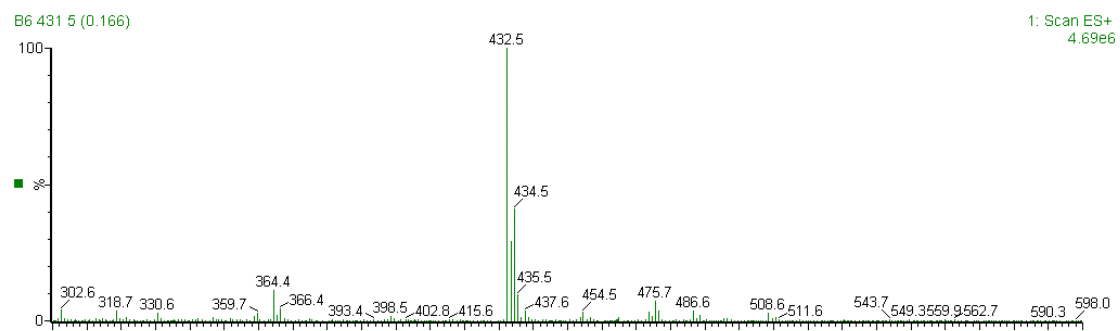
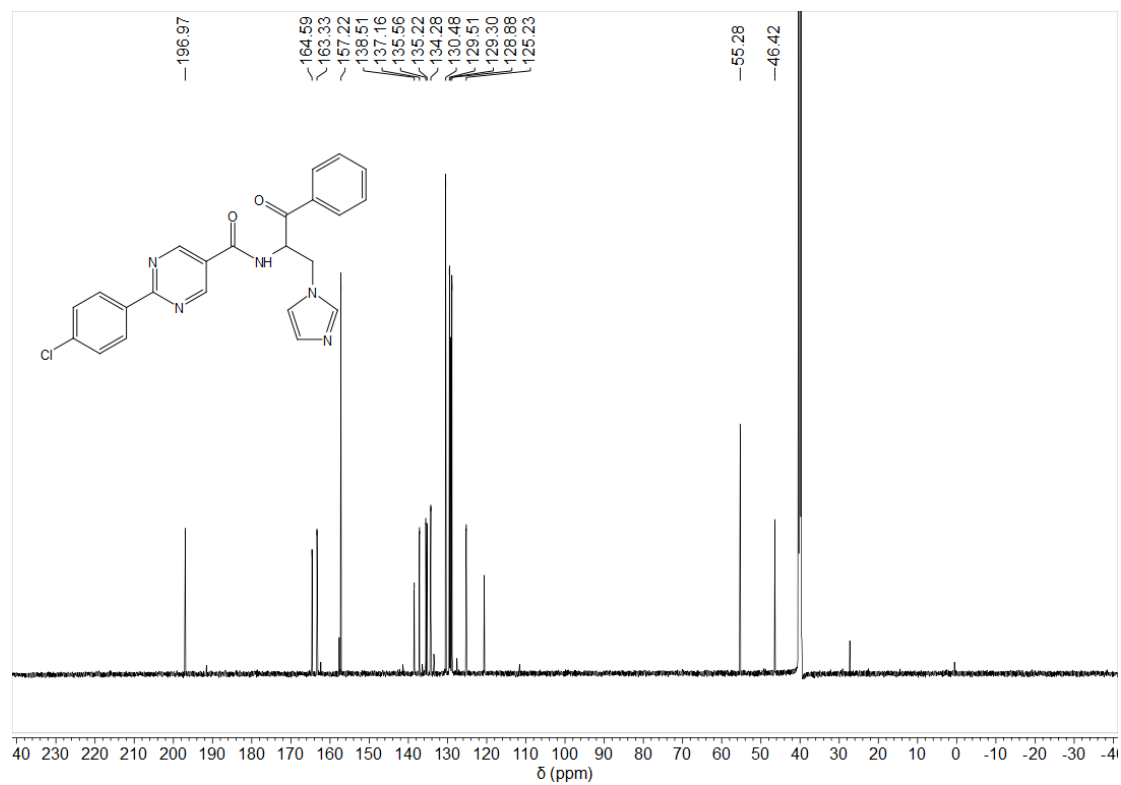
The ¹H-NMR, ¹³C NMR and MS spectrum of compound B13



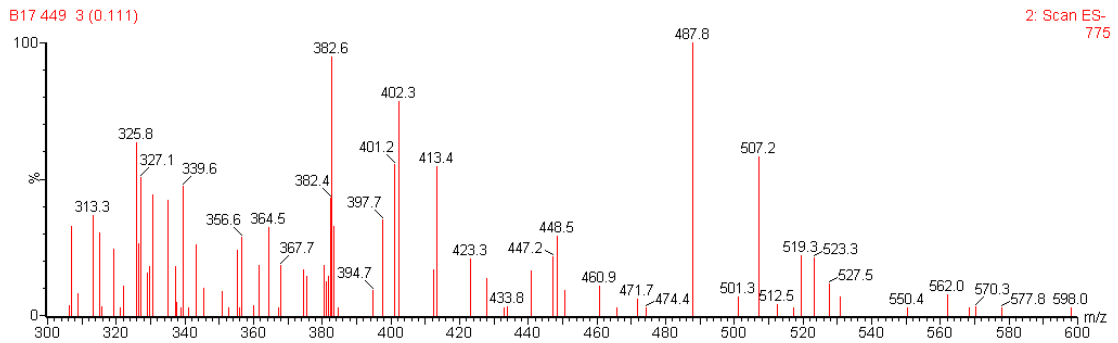
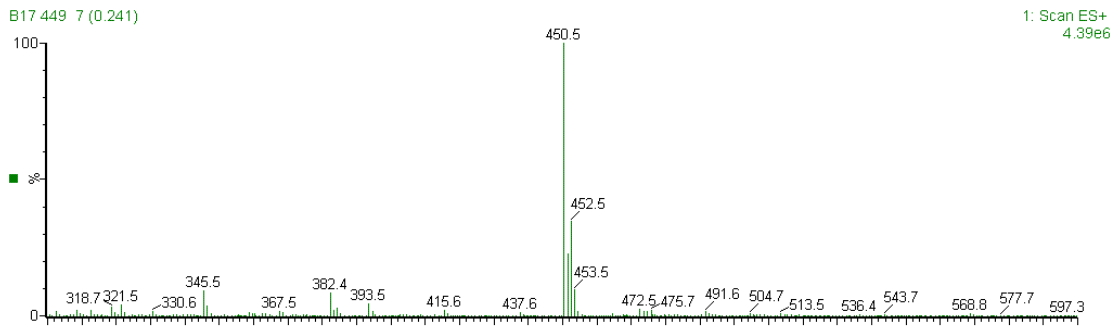
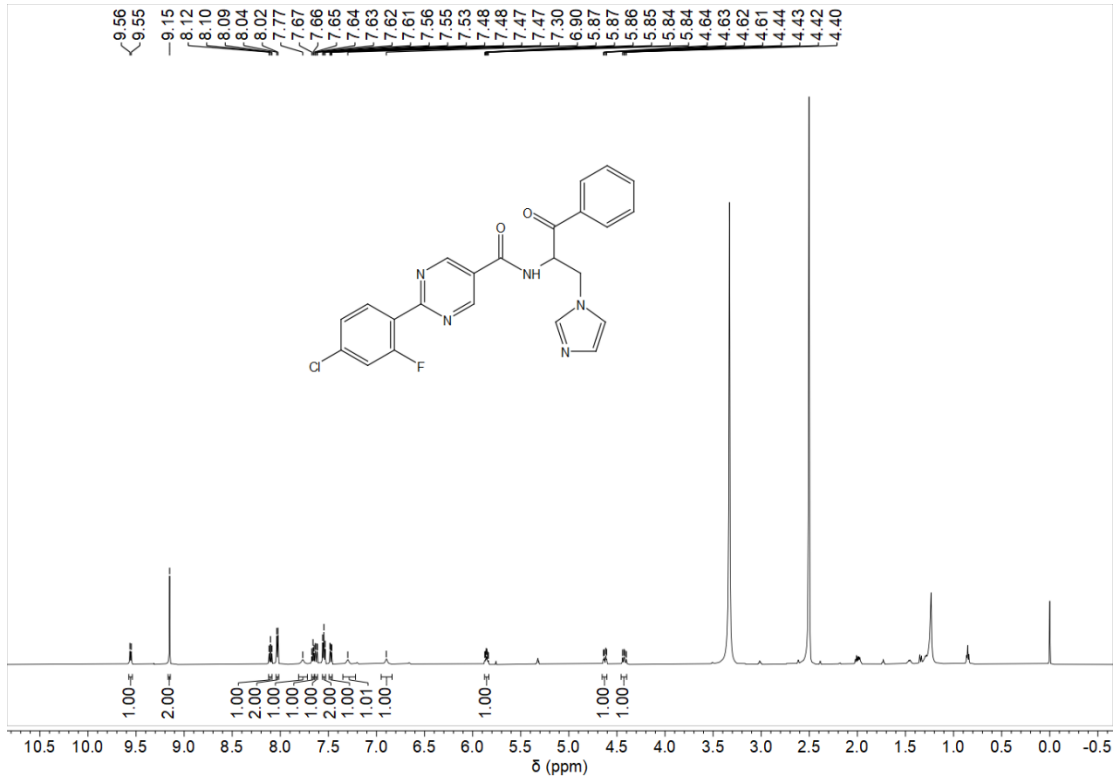


The ¹H-NMR and MS spectrum of compound B16

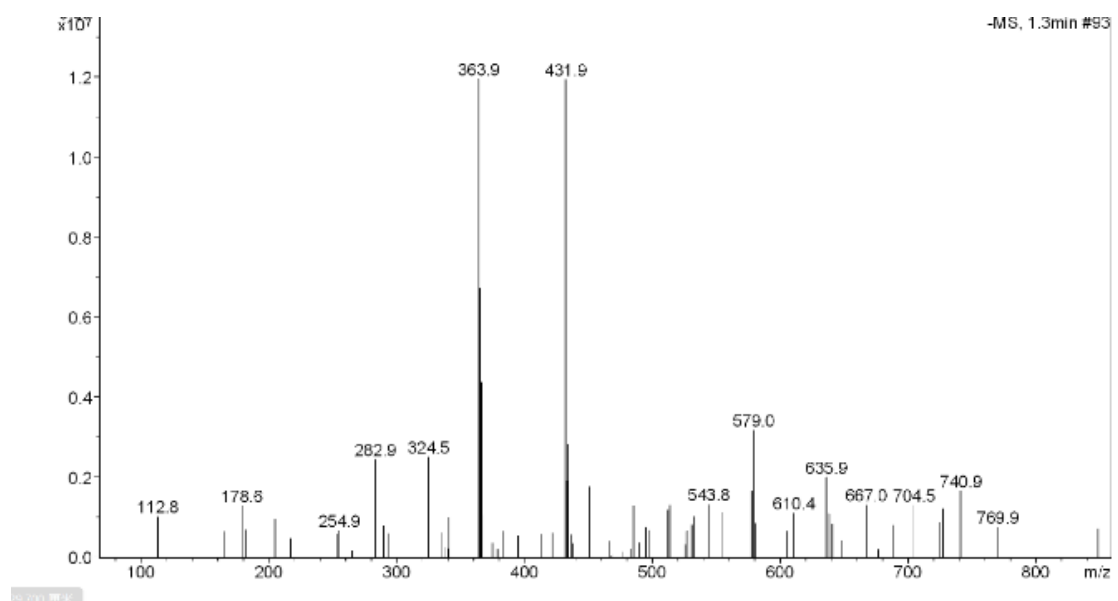
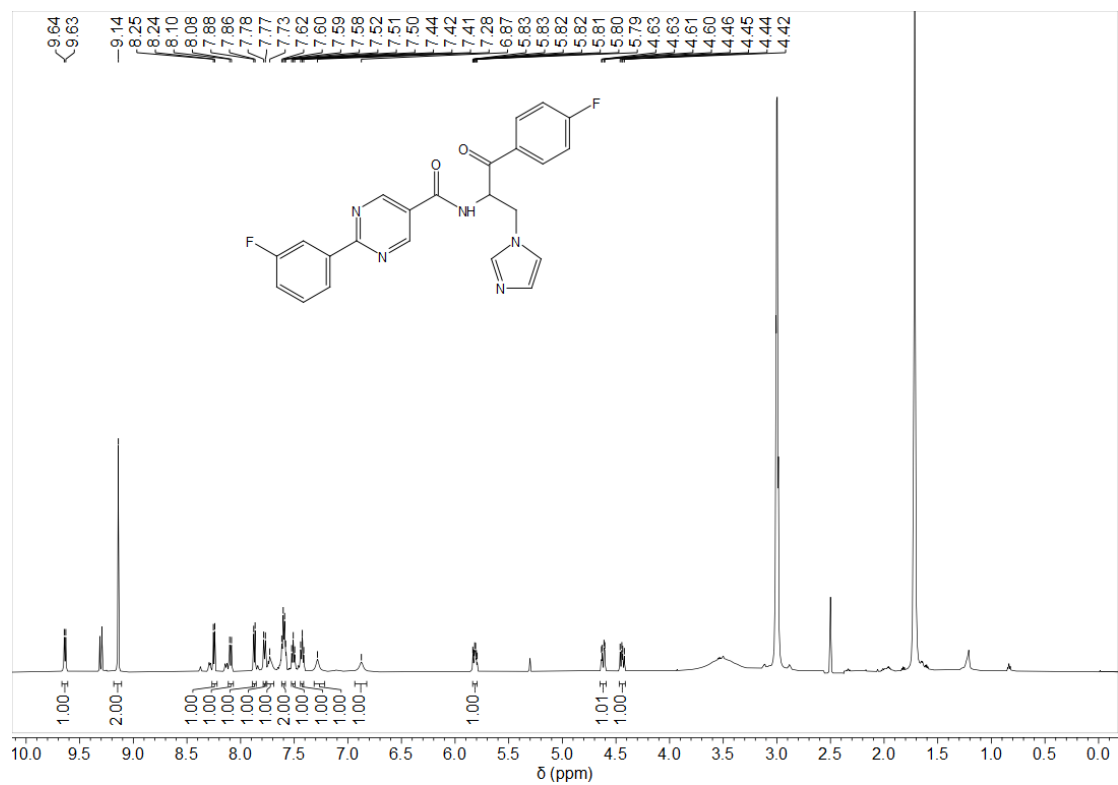




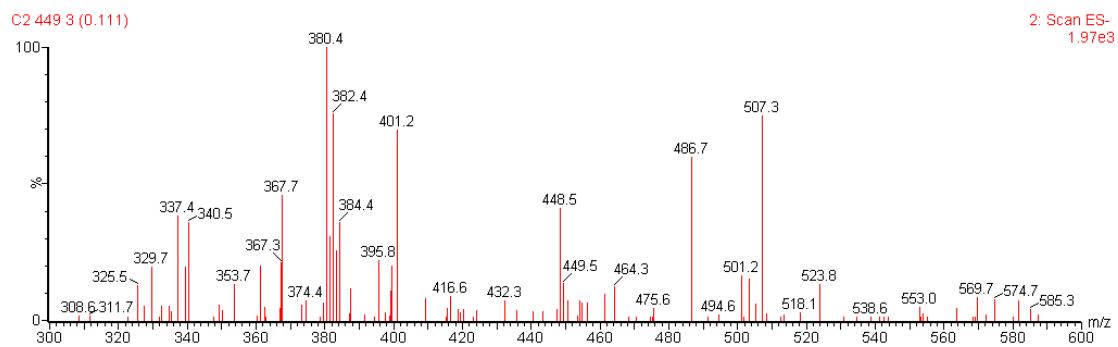
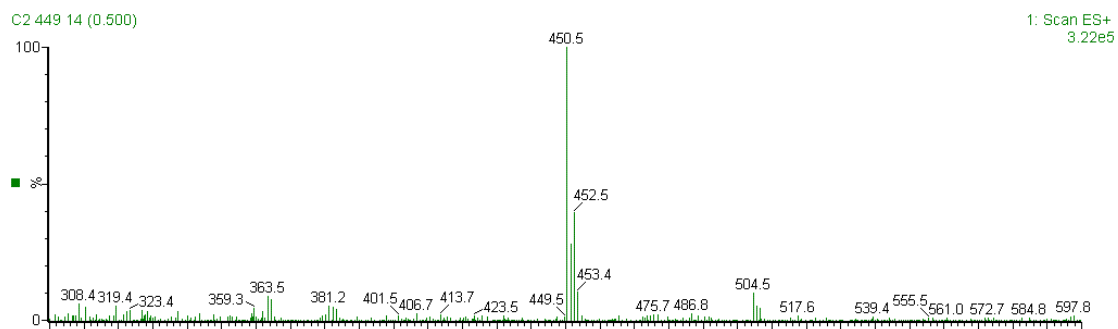
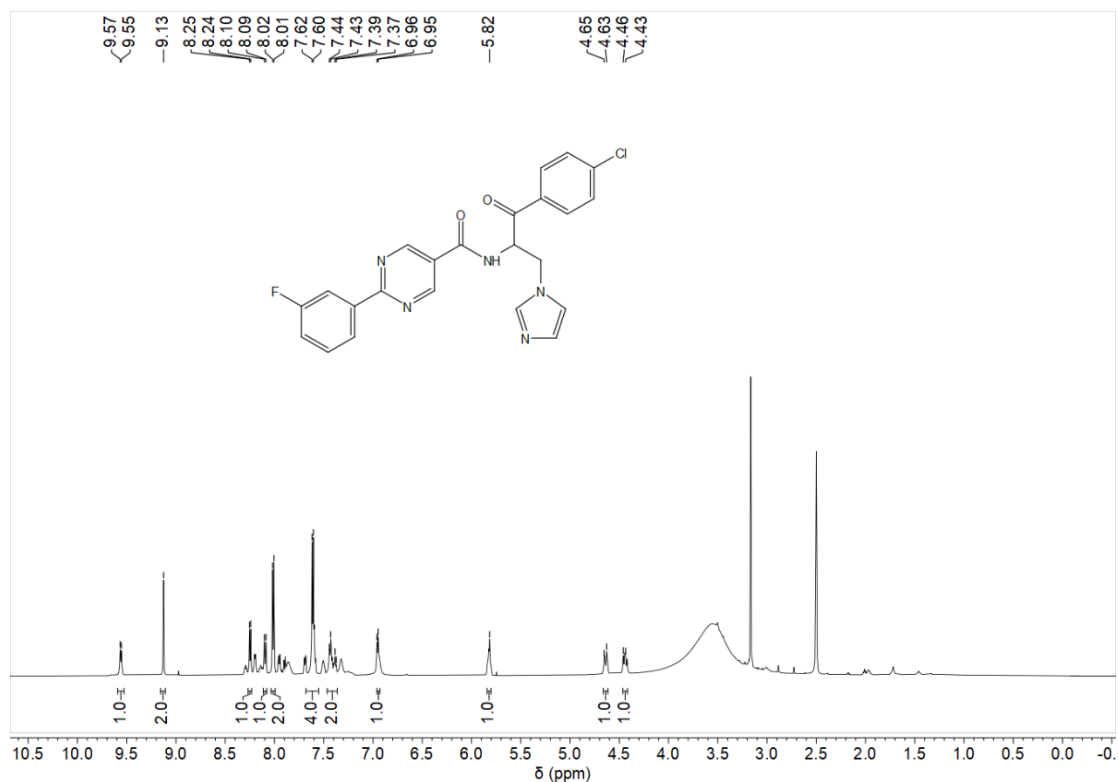
The $^1\text{H-NMR}$ and MS spectrum of compound **B18**



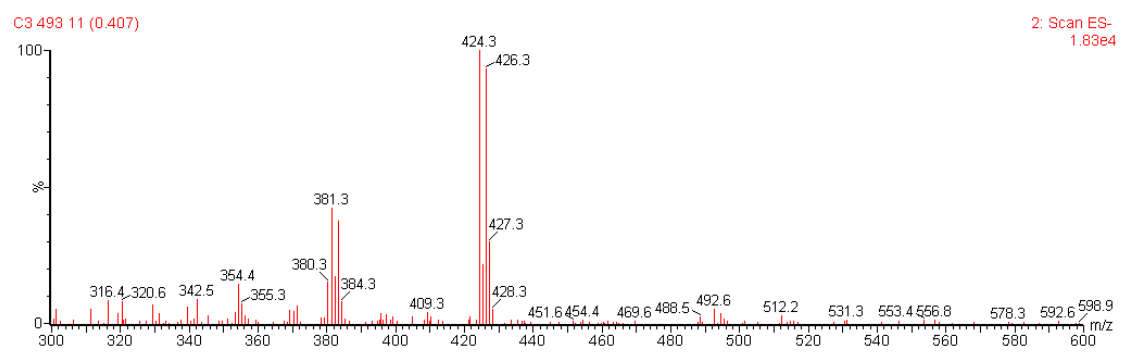
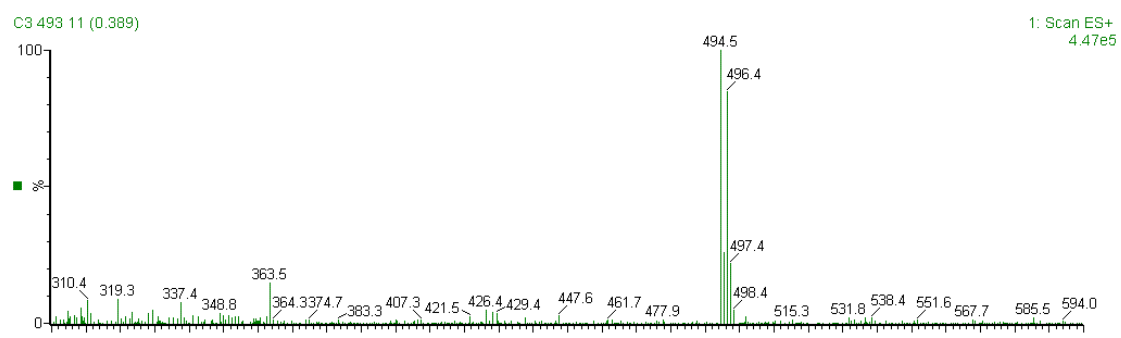
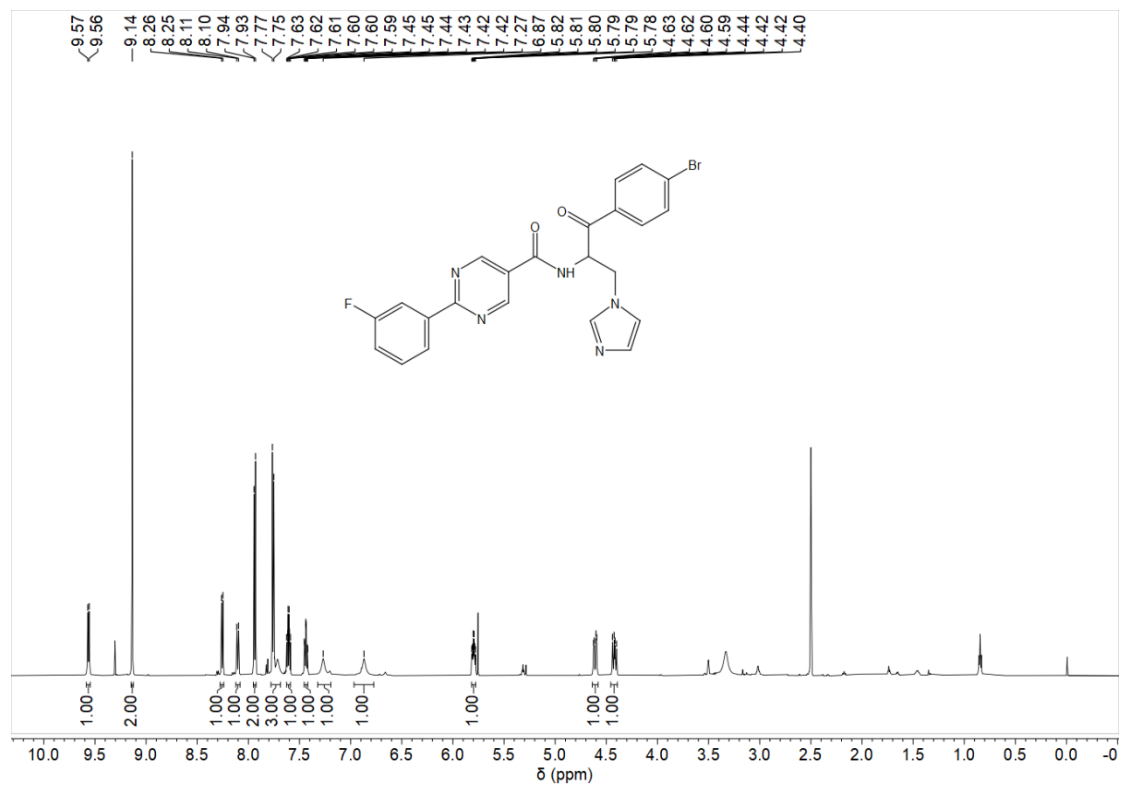
The $^1\text{H-NMR}$ and MS spectrum of compound C1



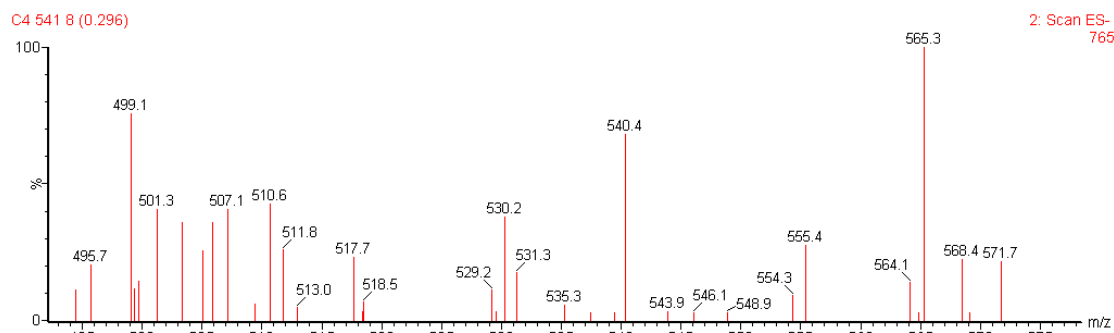
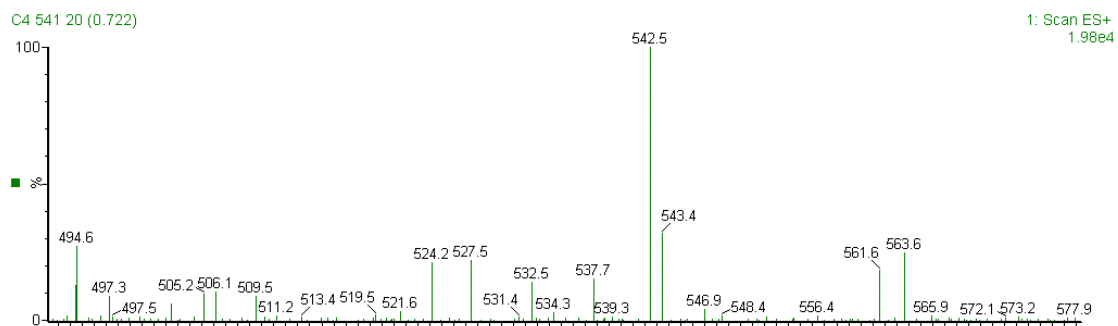
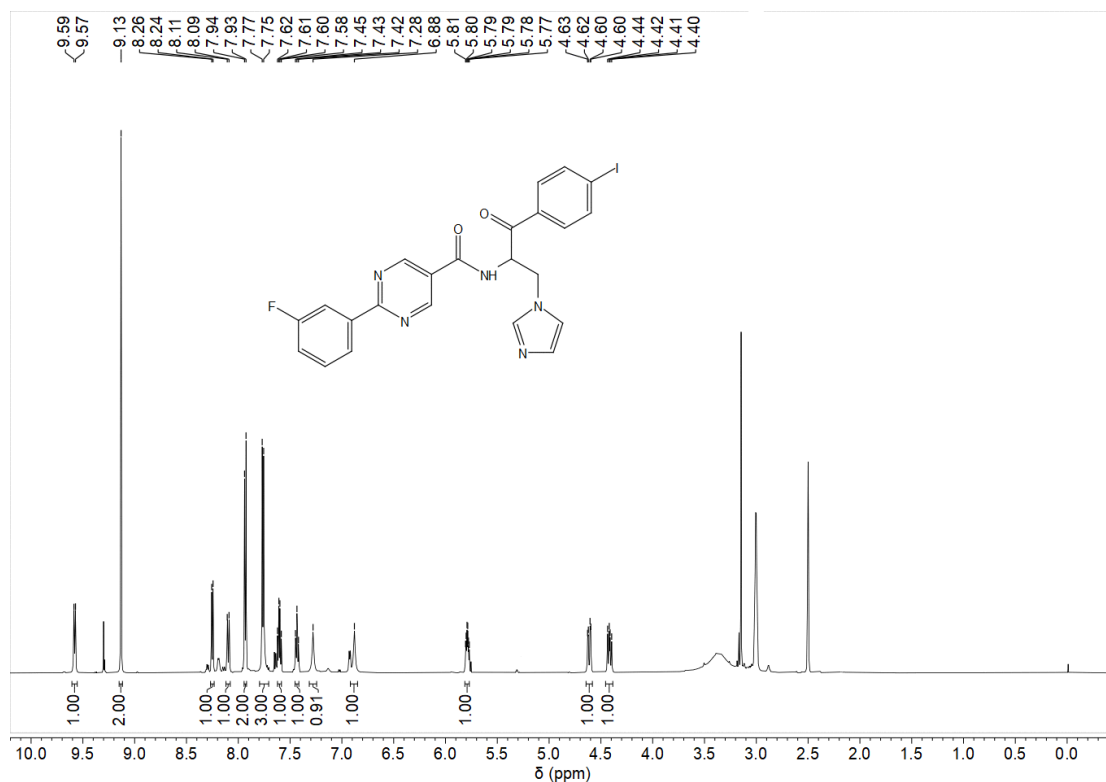
The ^1H -NMR and MS spectrum of compound C2



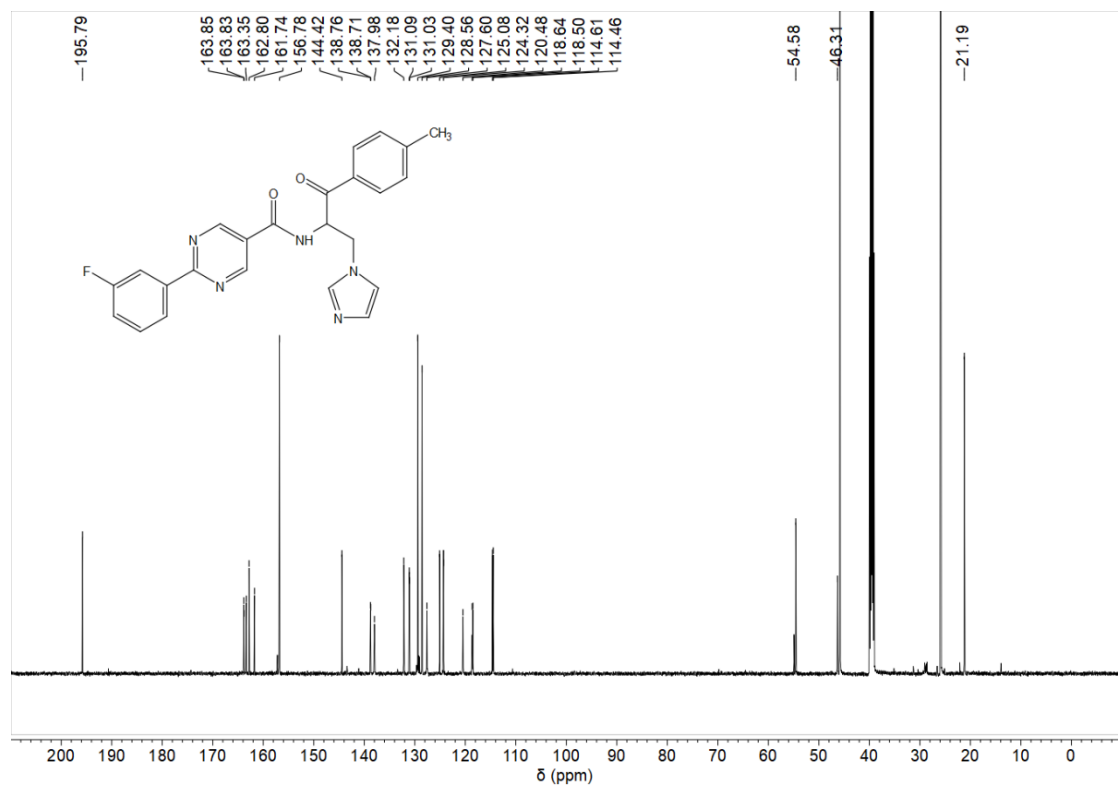
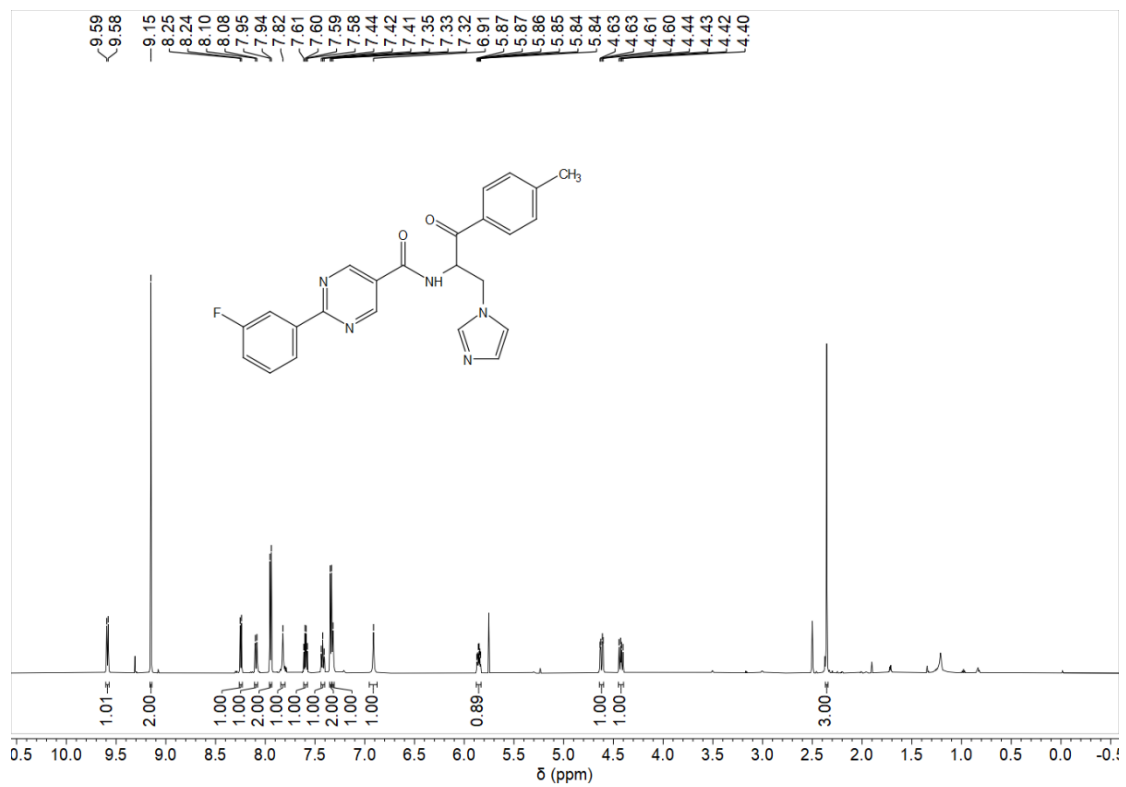
The ¹H-NMR and MS spectrum of compound C3

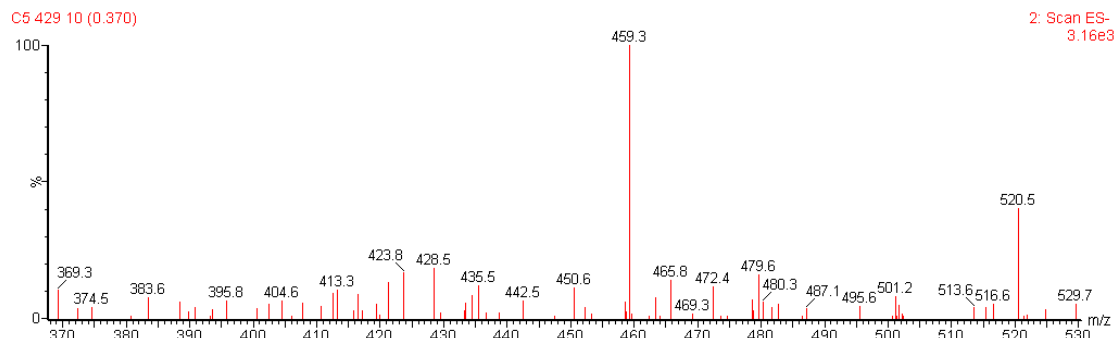
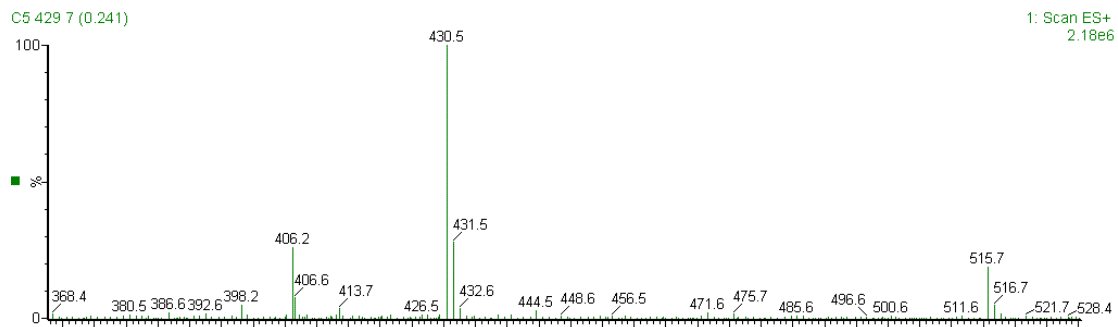


The $^1\text{H-NMR}$ and MS spectrum of compound C4

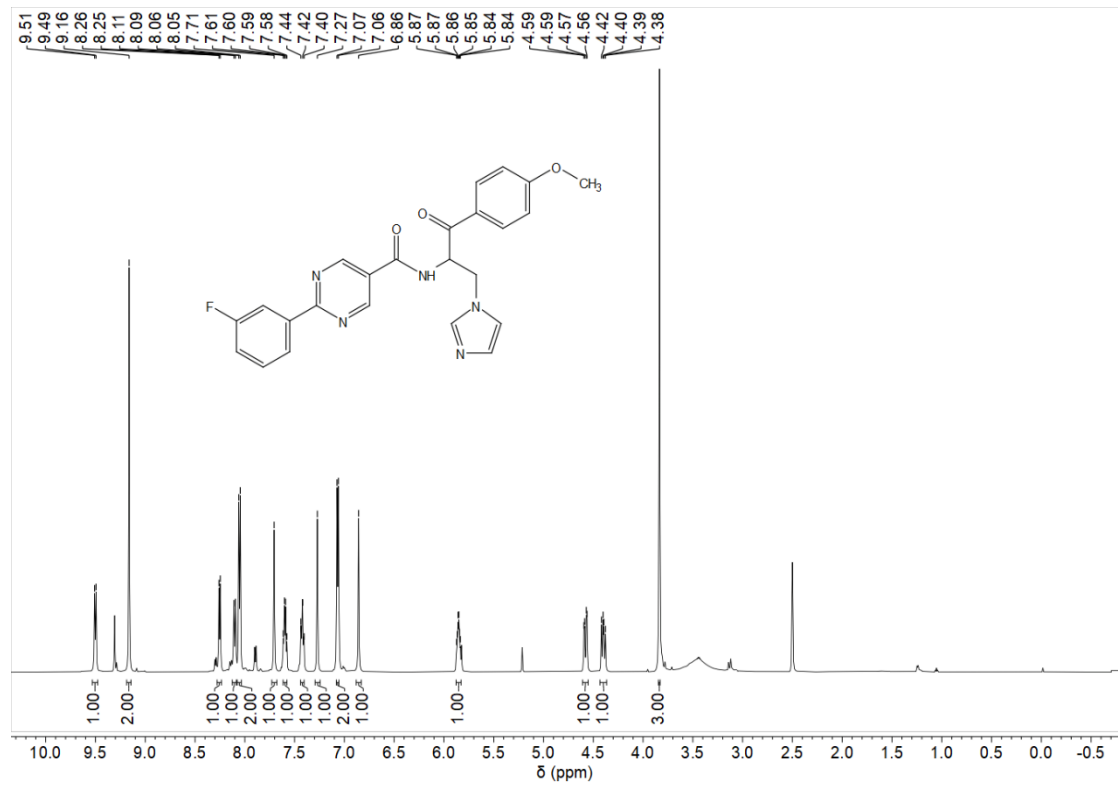


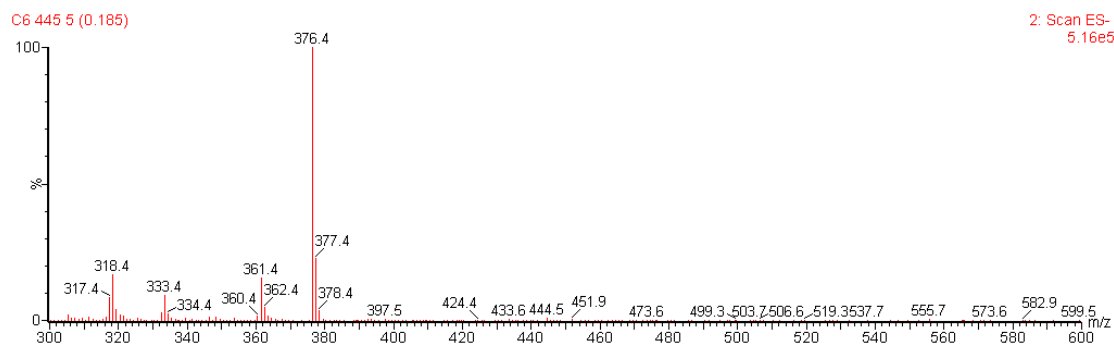
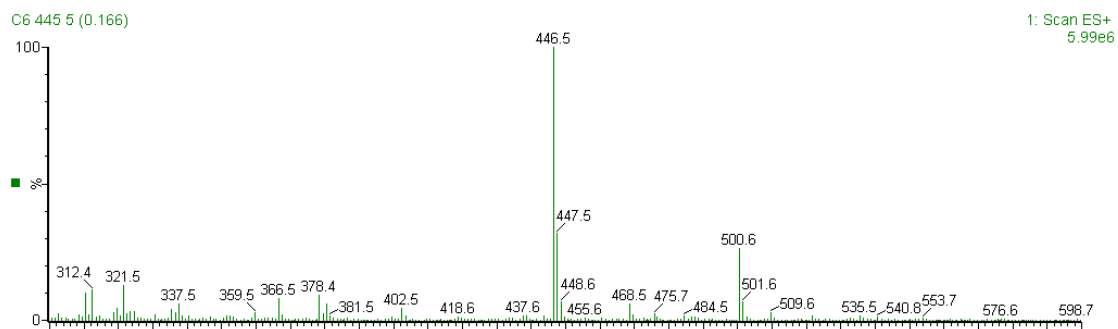
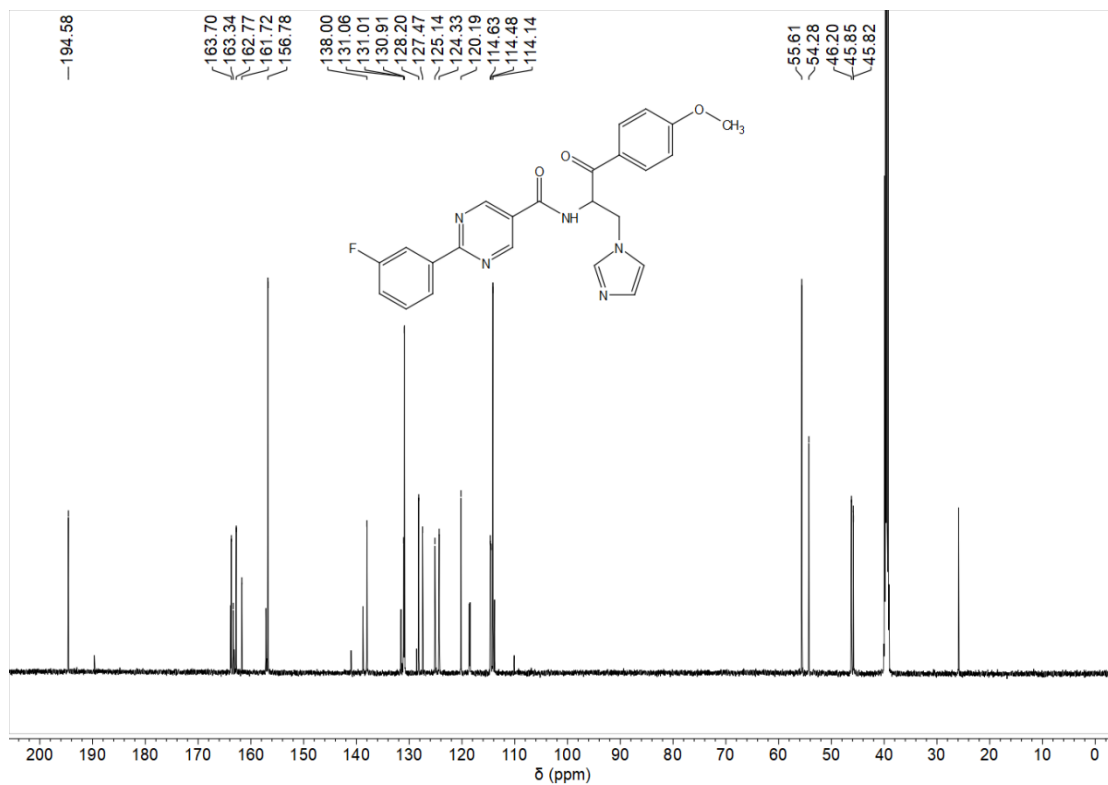
The $^1\text{H-NMR}$ and MS spectrum of compound C5



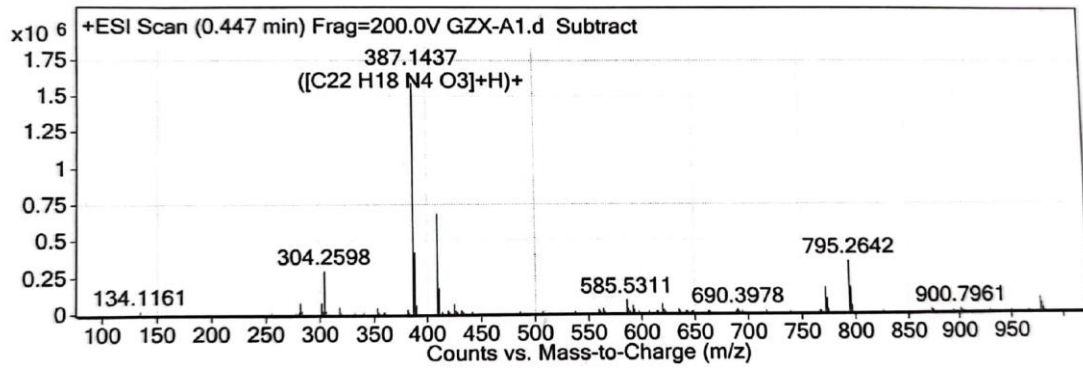


The ¹H-NMR, ¹³C NMR and MS spectrum of compound C6

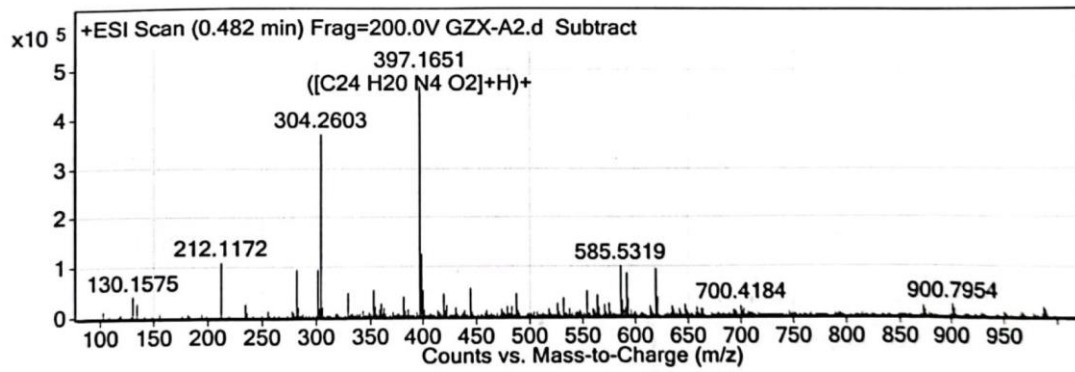




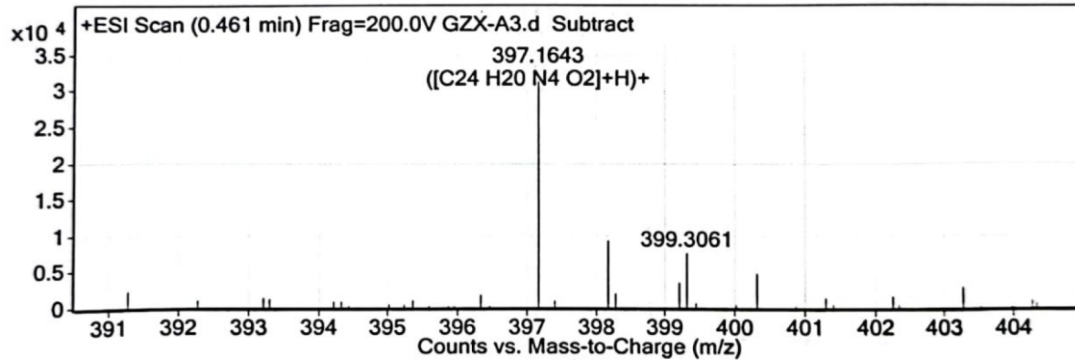
HRMS spectra of A1



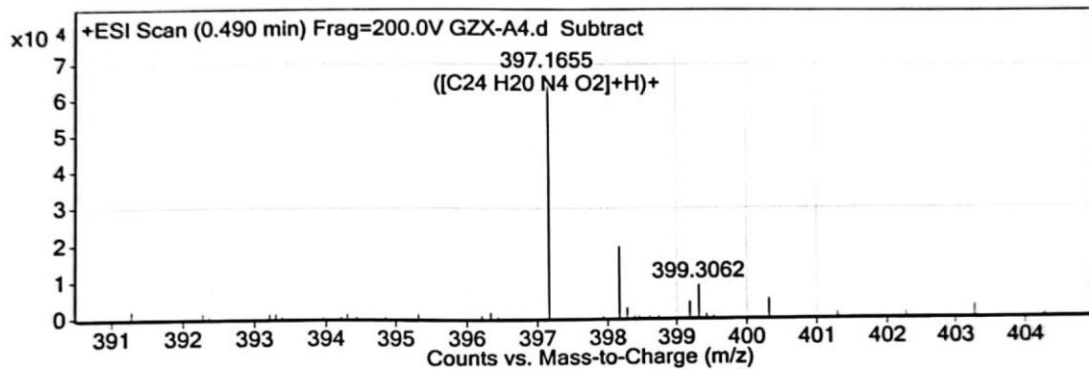
HRMS spectra of A2



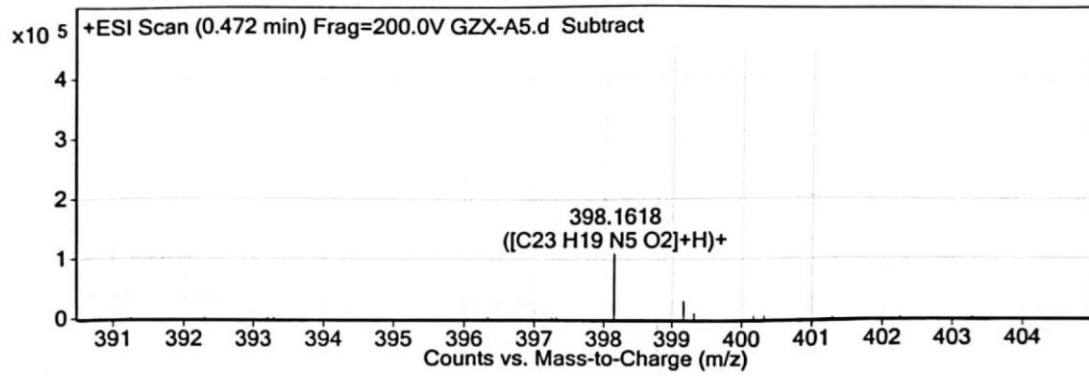
HRMS spectra of A3



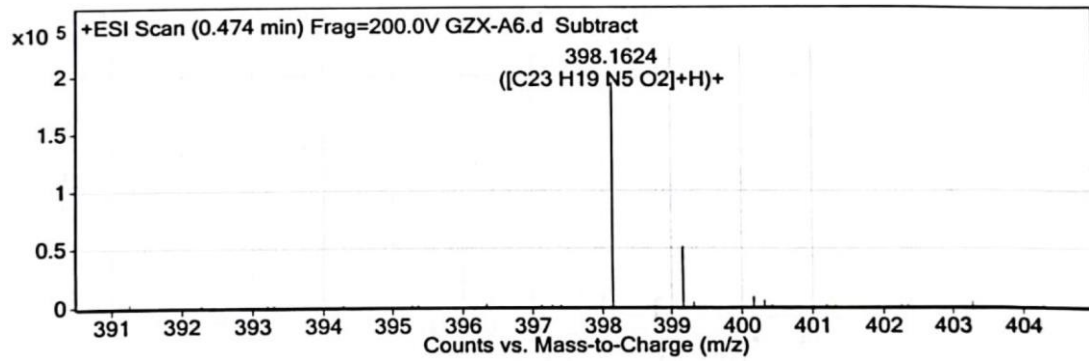
HRMS spectra of A4



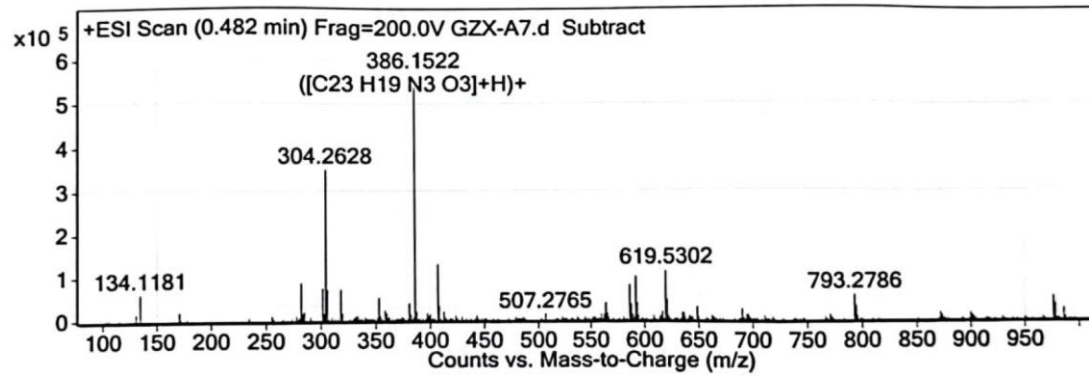
HRMS spectra of A5



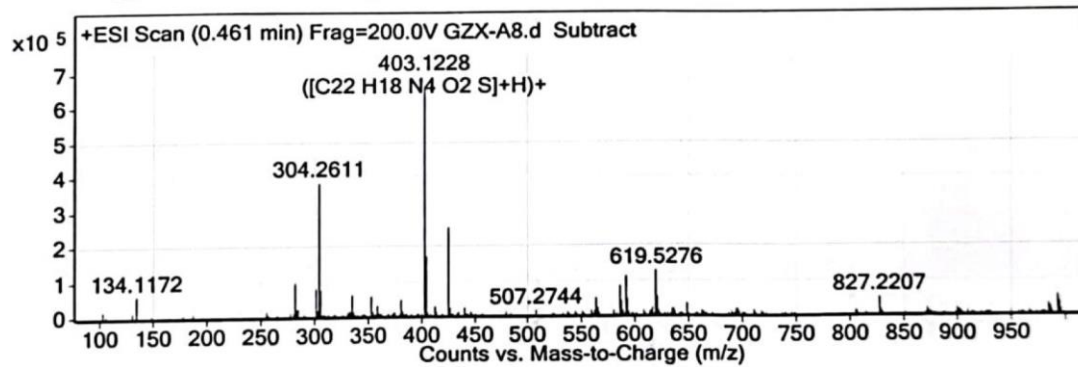
HRMS spectra of A6



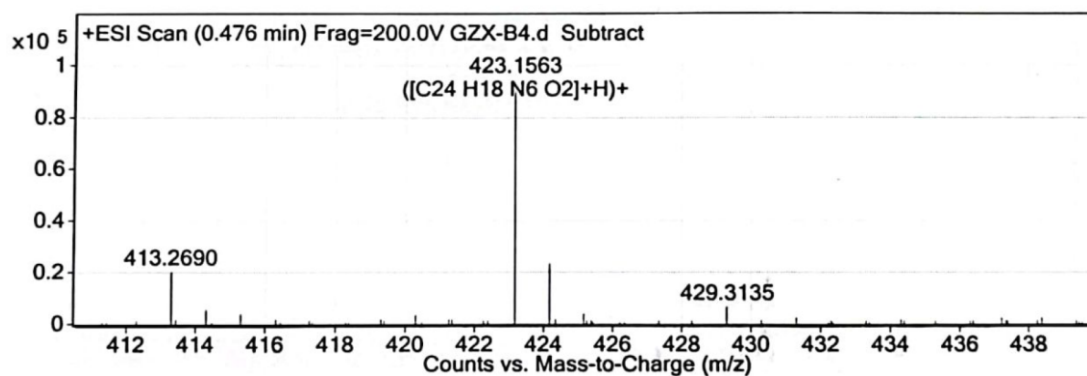
HRMS spectra of A7



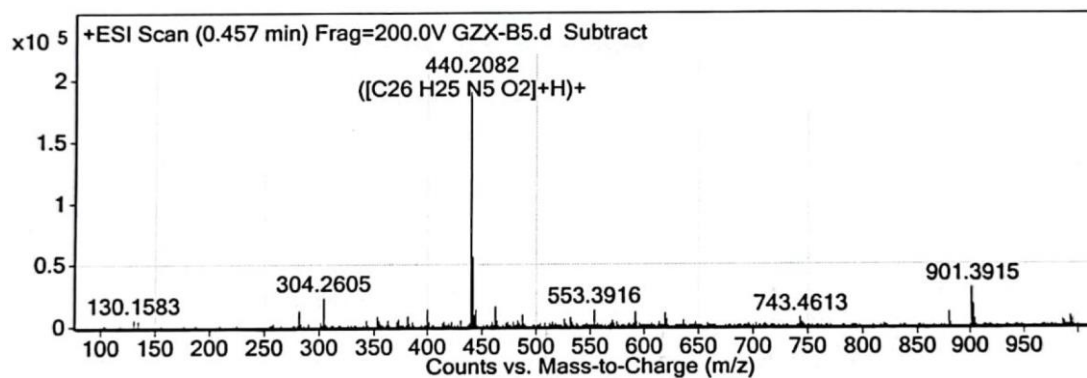
HRMS spectra of A8



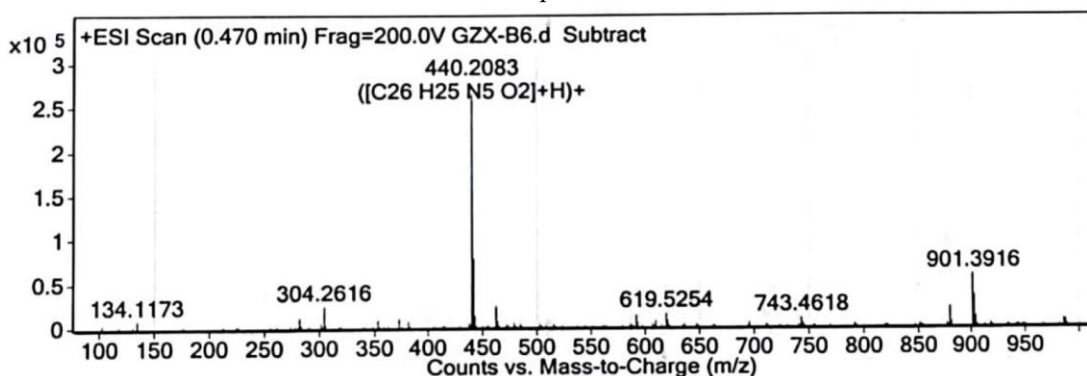
HRMS spectra of B4



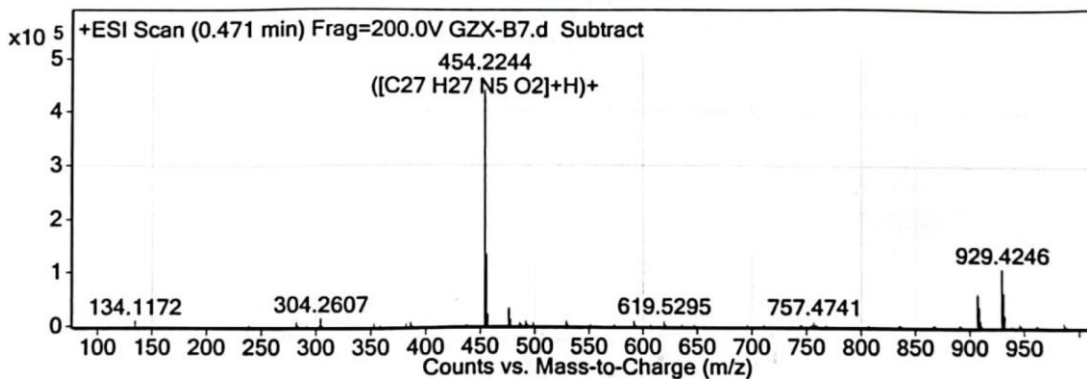
HRMS spectra of B5



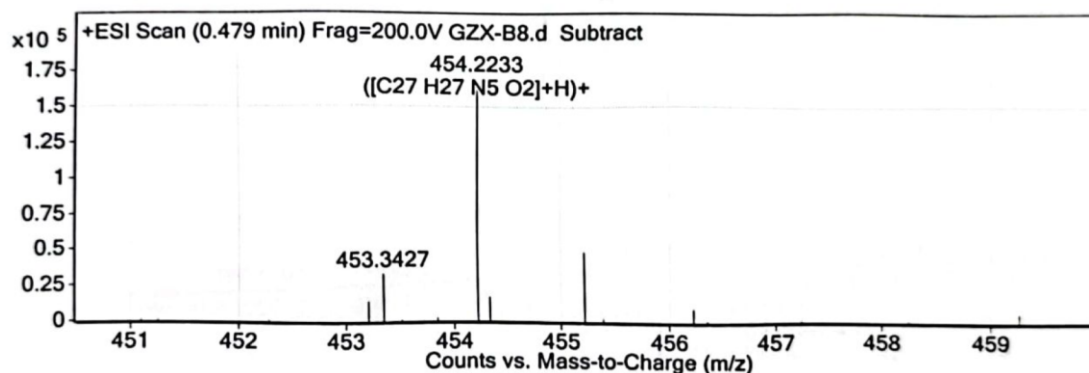
HRMS spectra of B6



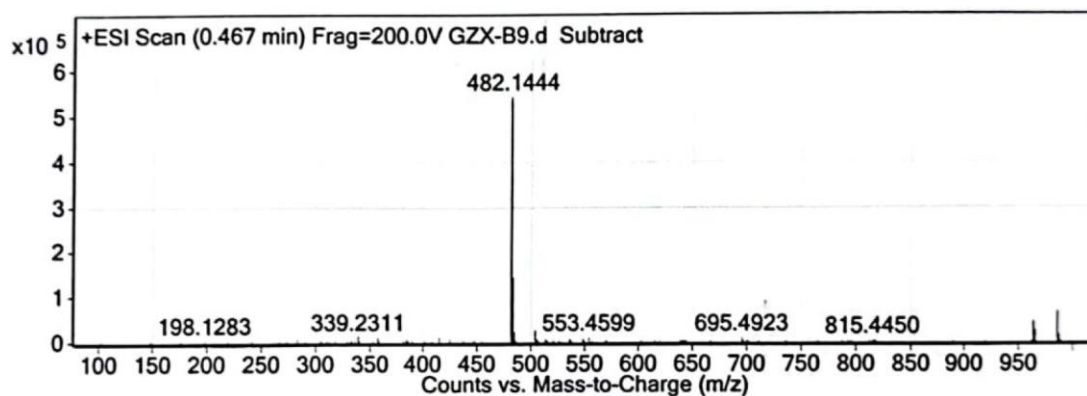
HRMS spectra of B7



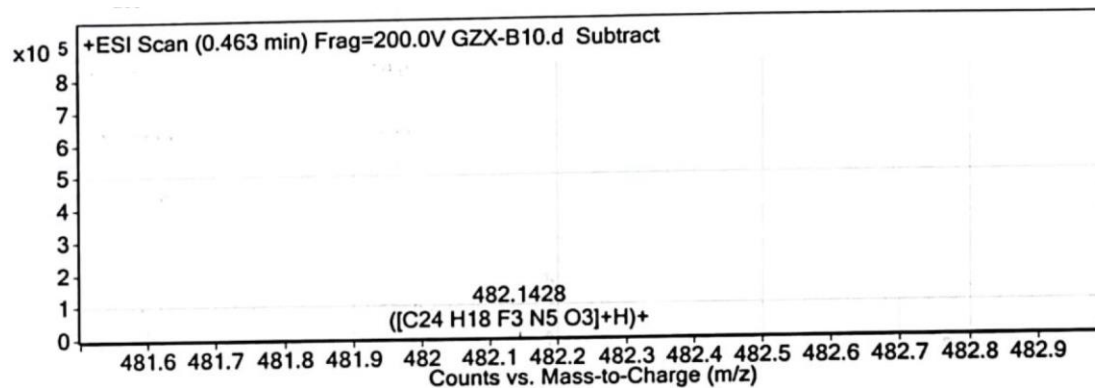
HRMS spectra of B8



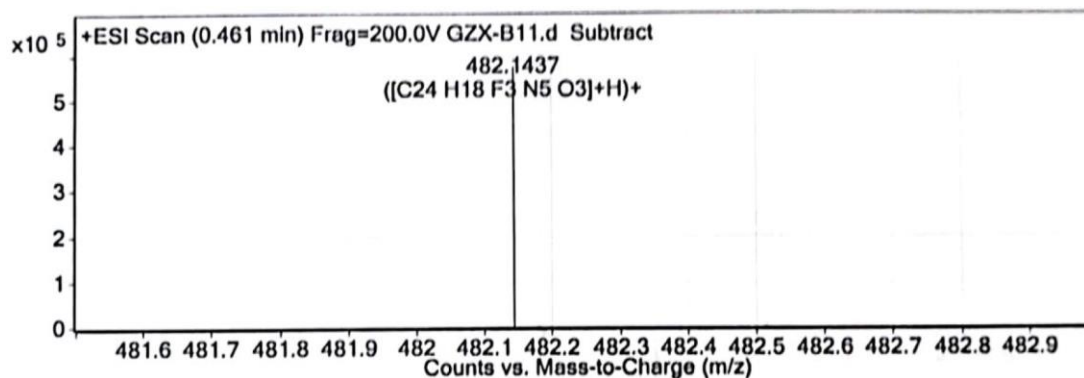
HRMS spectra of B9



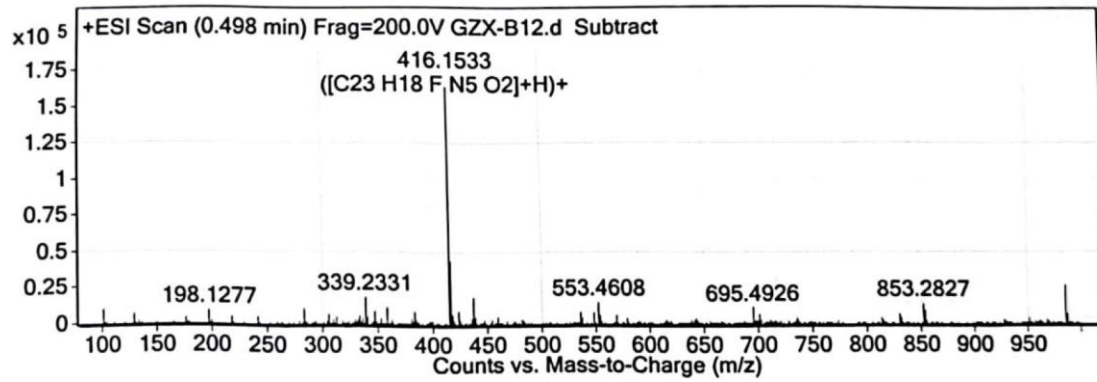
HRMS spectra of B10



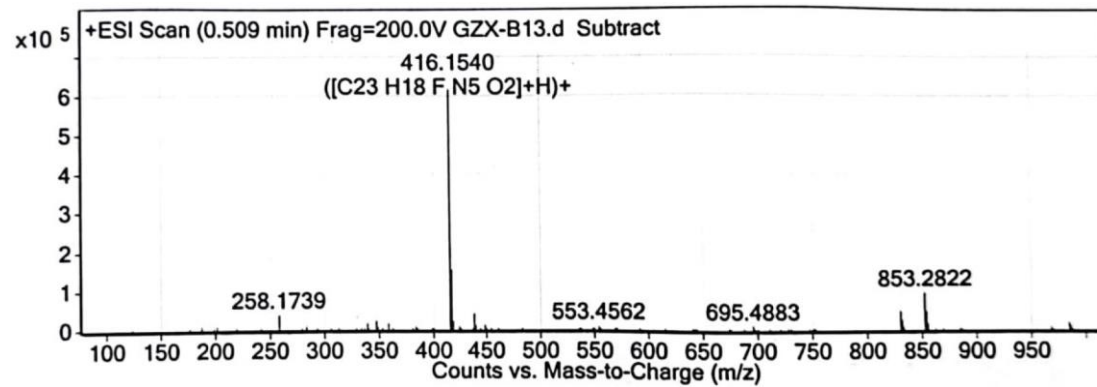
HRMS spectra of B11



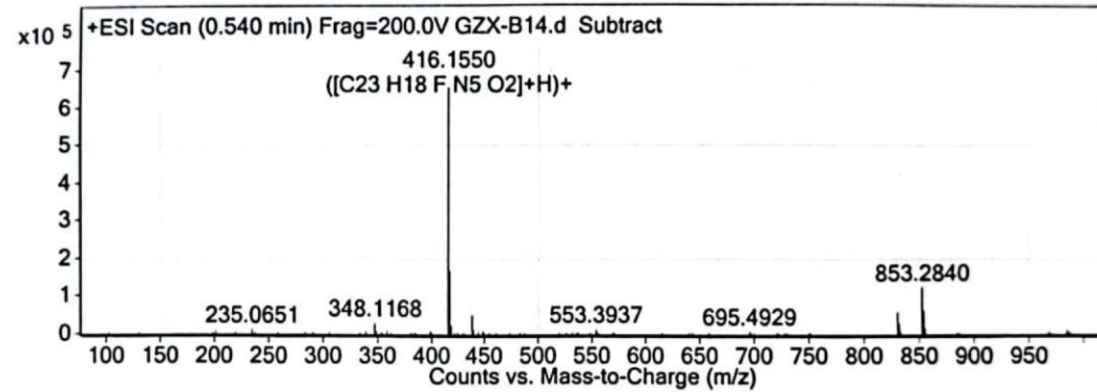
HRMS spectra of **B12**



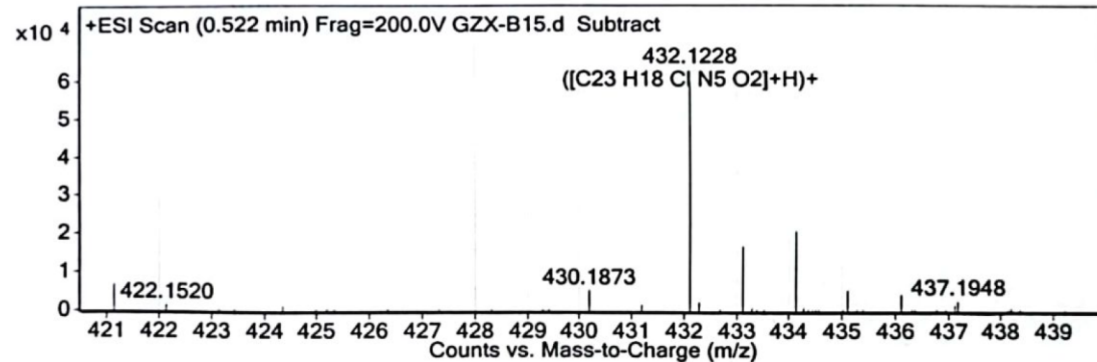
HRMS spectra of **B13**



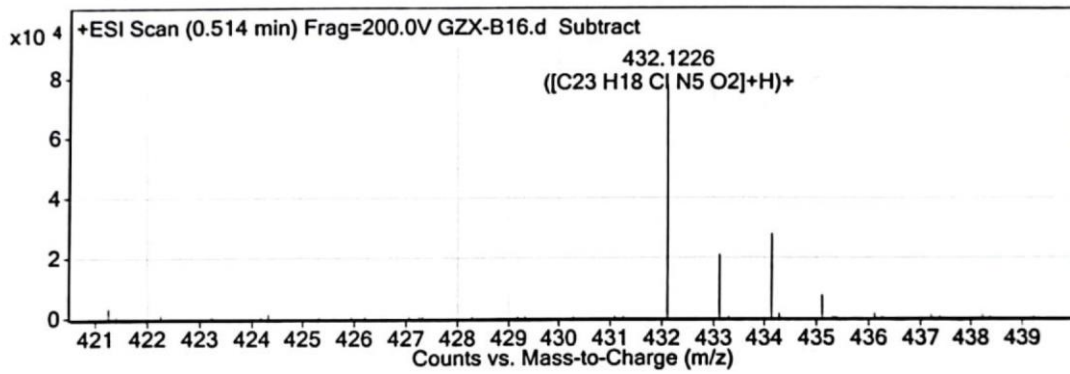
HRMS spectra of **B14**



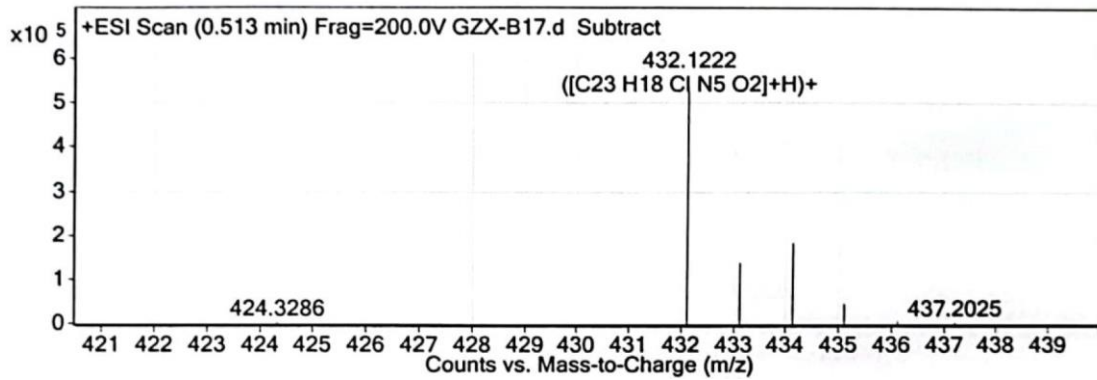
HRMS spectra of **B15**



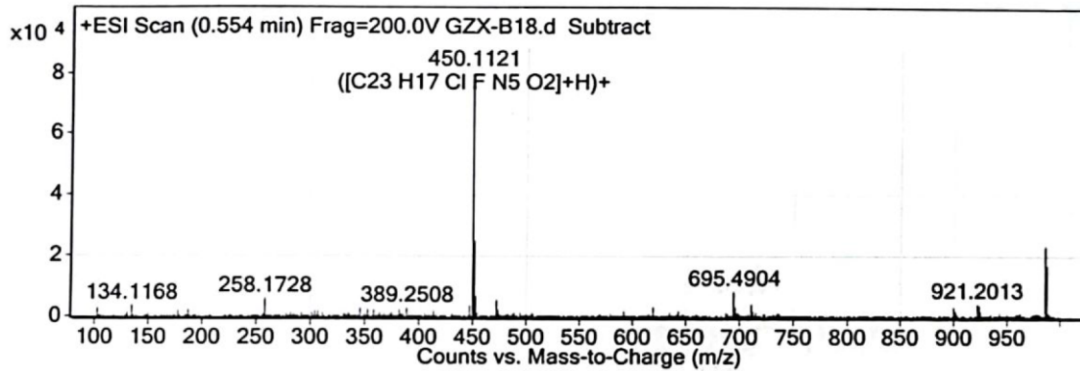
HRMS spectra of **B16**



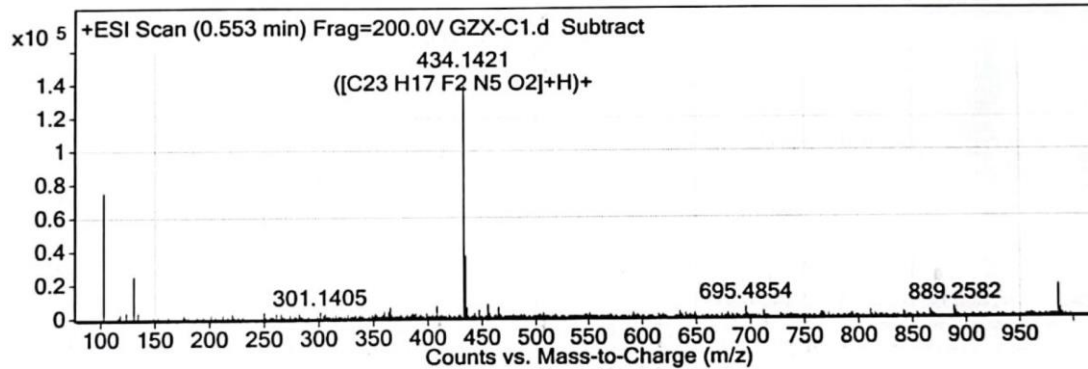
HRMS spectra of **B17**



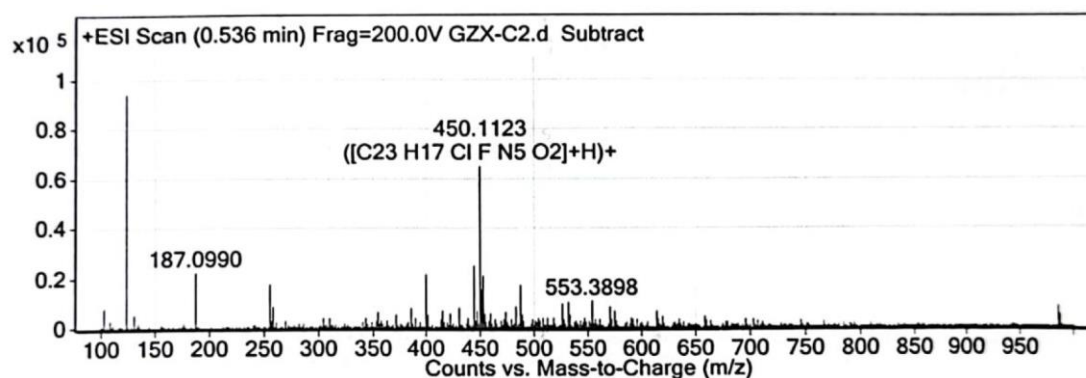
HRMS spectra of **B18**



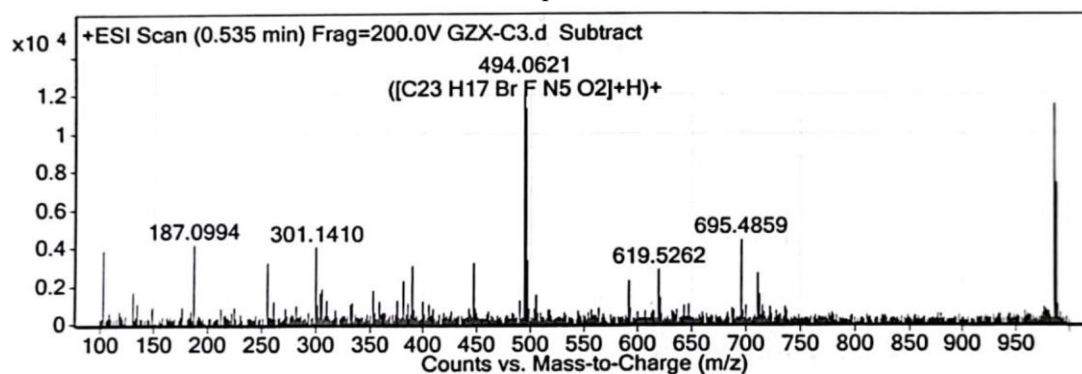
HRMS spectra of **C1**



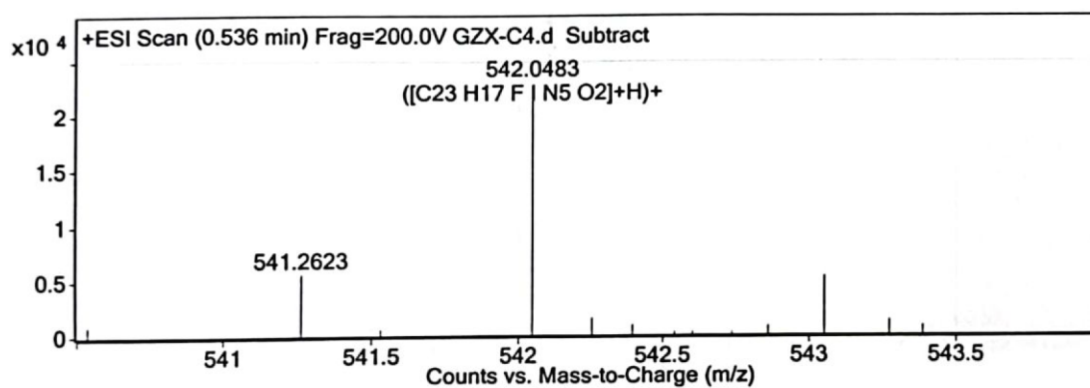
HRMS spectra of C2



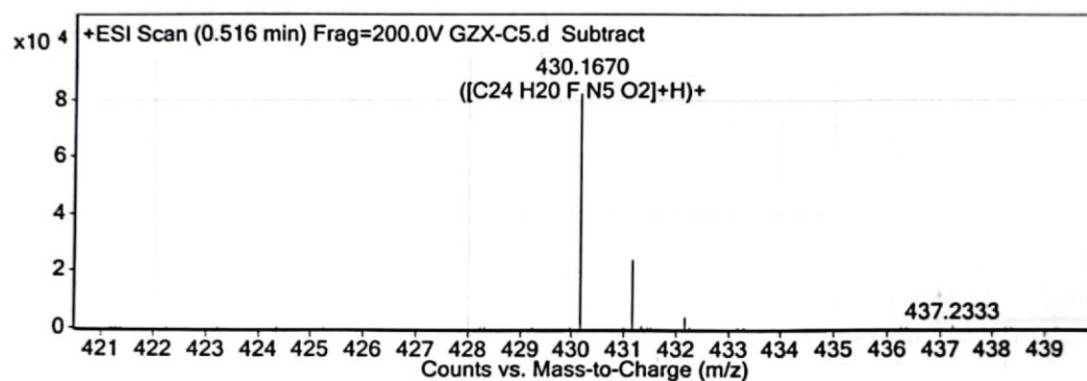
HRMS spectra of C3



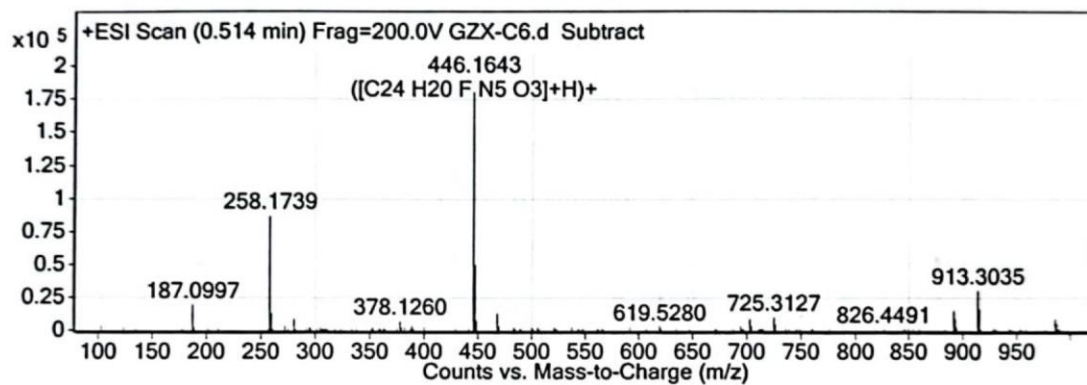
HRMS spectra of C4



HRMS spectra of C5



HRMS spectra of C6



HPLC Spectra of Target Compounds

Column: ZORBAX SB-C18 column (250 mm × 4.6 mm).

Mobile phase: A was methanol, and mobile phase;

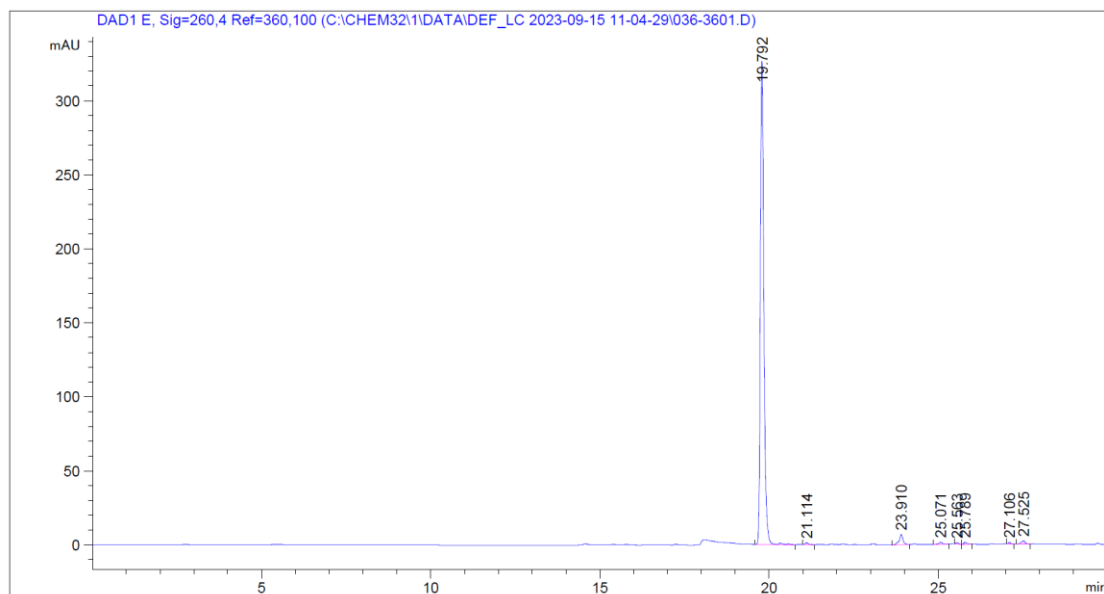
B was 30 mM NaH₂PO₄ in water (pH = 2.5)

Wavelength: 260 nm.

Rate: 1 mL/min.

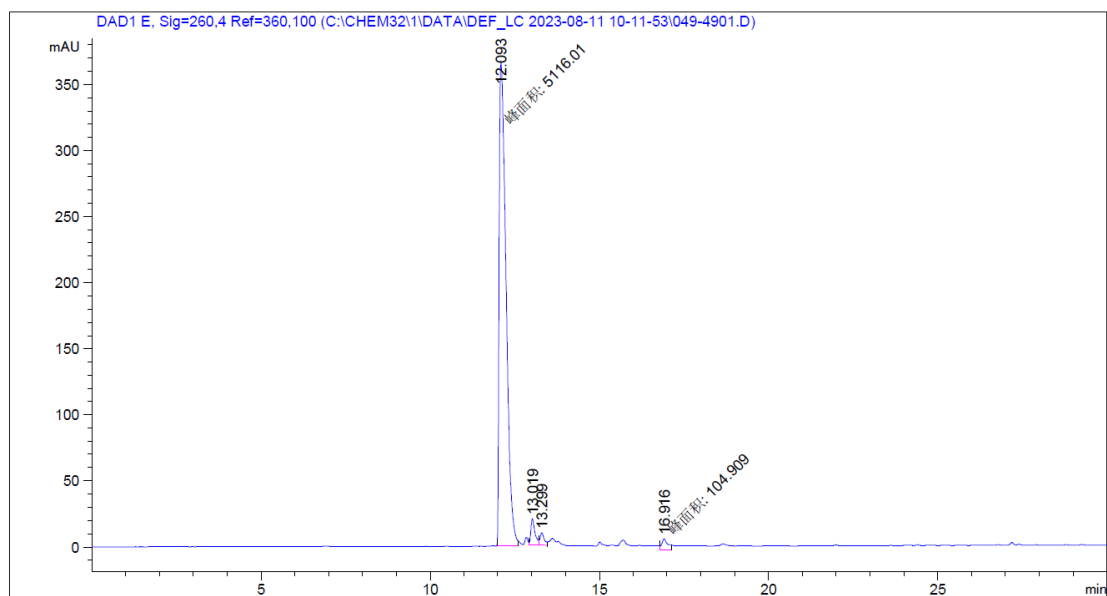
Temperature: 25 °C.

HPLC spectra of **A1**



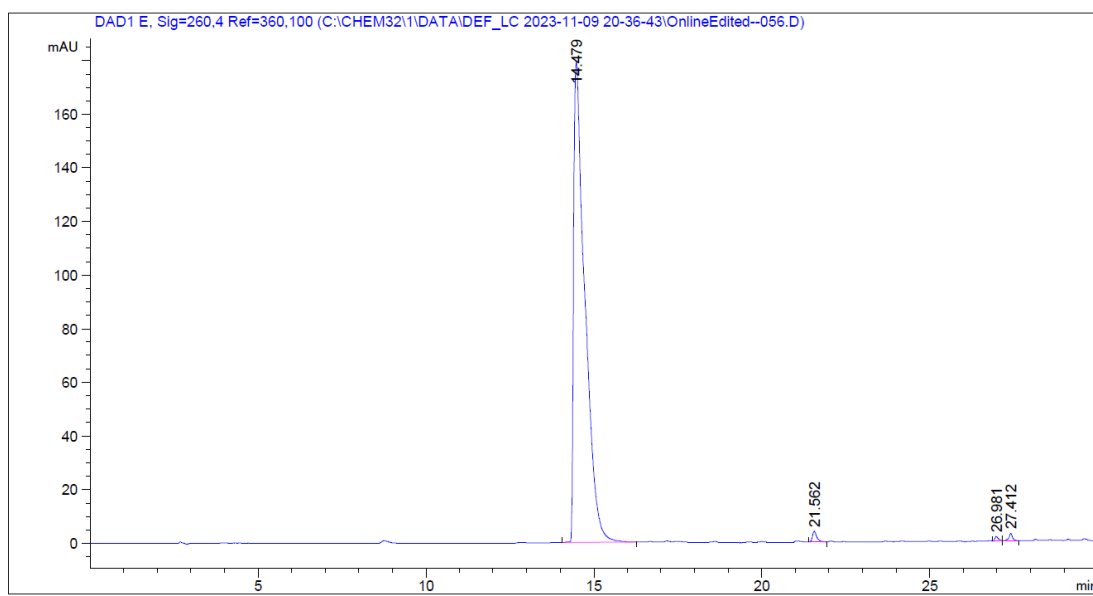
峰 #	保留时间 [min]	类型	峰宽 [min]	峰面积 [mAU*s]	峰高 [mAU]	峰面积 %
1	19.792	BV R	0.1096	2341.39917	326.86398	95.4274
2	21.114	BB	0.1035	9.22068	1.32053	0.3758
3	23.910	BB	0.1130	53.89485	6.91304	2.1966
4	25.071	BB	0.1149	10.58587	1.35825	0.4314
5	25.563	BB	0.0802	5.33062	1.03233	0.2173
6	25.789	BB	0.0964	8.58453	1.31048	0.3499
7	27.106	BB	0.0790	5.36432	1.06148	0.2186
8	27.525	BB	0.1204	19.21272	2.18803	0.7830

HPLC spectra of A2



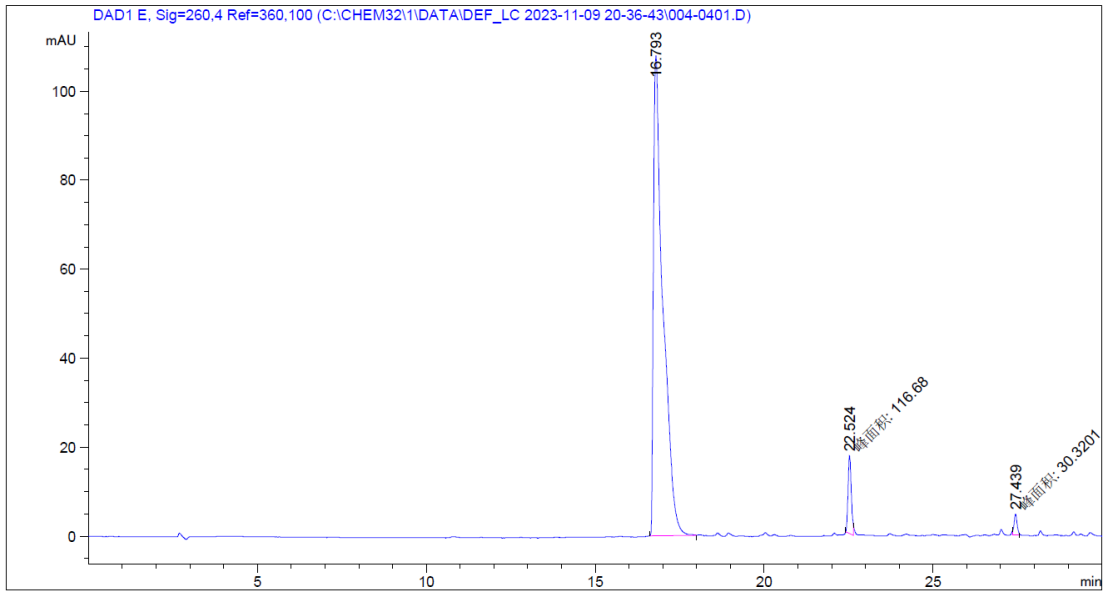
峰 #	保留时间 [min]	类型	峰宽 [min]	峰面积 [mAU*s]	峰高 [mAU]	峰面积 %
1	12.093	MM	0.2331	5116.00586	365.76669	93.6698
2	13.019	VV	0.1200	163.19173	19.83355	2.9879
3	13.299	VV	0.1226	77.63564	9.18524	1.4214
4	16.916	MM	0.2054	104.90933	8.51197	1.9208

HPLC spectra of A3



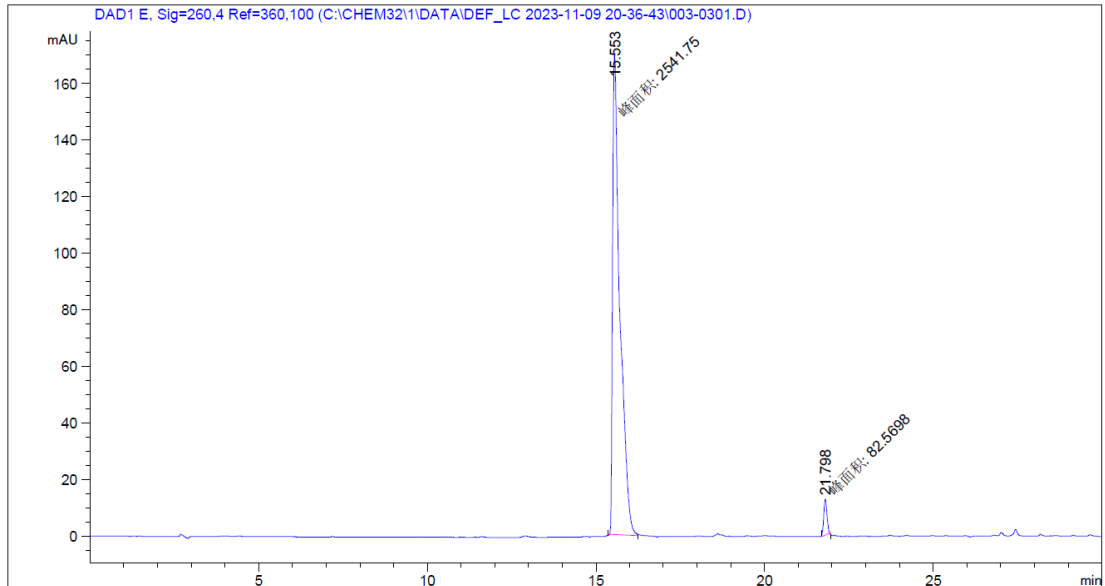
峰 #	保留时间 [min]	类型	峰宽 [min]	峰面积 [mAU*s]	峰高 [mAU]	峰面积 %
1	14.479	BB	0.3299	4167.32520	178.83209	98.4801
2	21.562	BB	0.1278	35.32076	4.04605	0.8347
3	26.981	BB	0.0938	10.57634	1.67095	0.2499
4	27.412	BB	0.1036	18.41903	2.63407	0.4353

HPLC spectra of A4



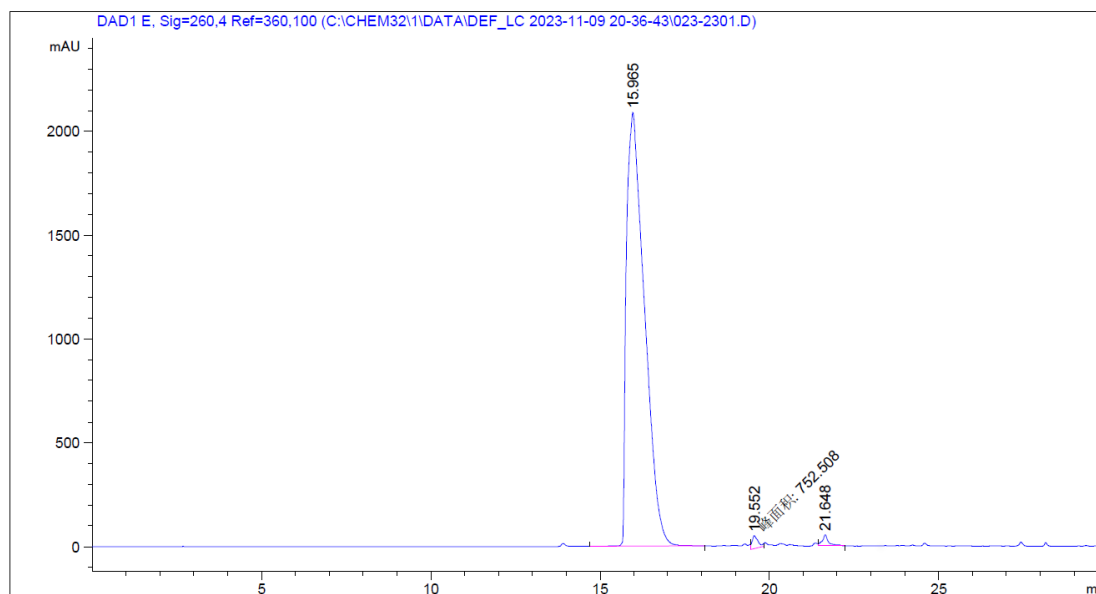
峰 #	保留时间 [min]	类型	峰宽 [min]	峰面积 [mAU*s]	峰高 [mAU]	峰面积 %
1	16.793	BB	0.2795	2122.89600	107.89967	93.5239
2	22.524	MM	0.1107	116.67965	17.56579	5.1403
3	27.439	MM	0.1057	30.32015	4.78274	1.3358

HPLC spectra of A5



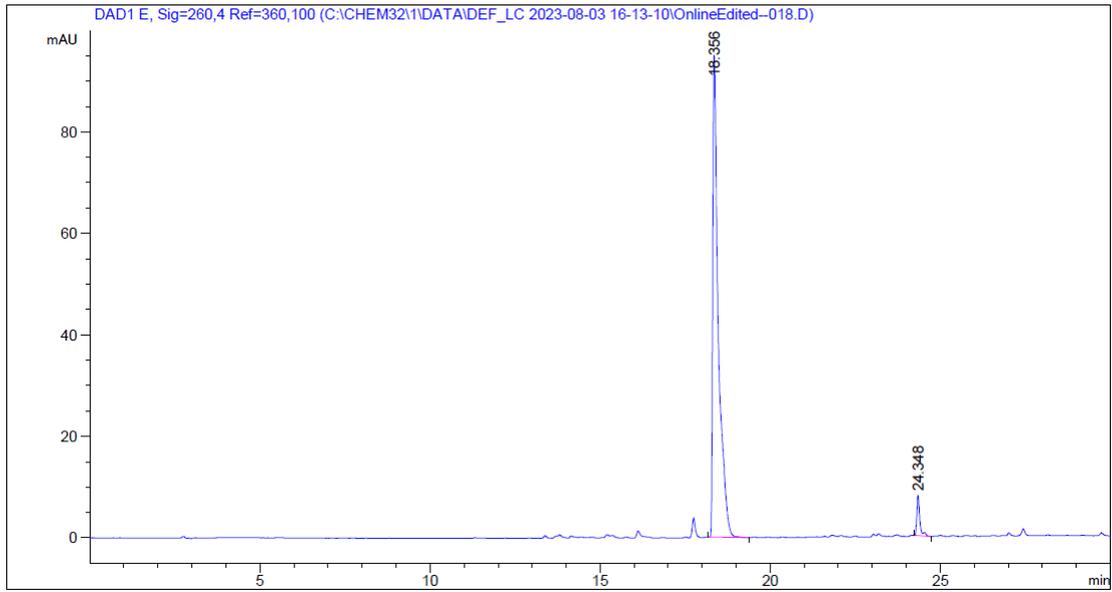
峰 #	保留时间 [min]	类型	峰宽 [min]	峰面积 [mAU*s]	峰高 [mAU]	峰面积 %
1	15.553	MM	0.2498	2541.74683	169.55565	96.8537
2	21.798	MM	0.1090	82.56983	12.62951	3.1463

HPLC spectra of A6



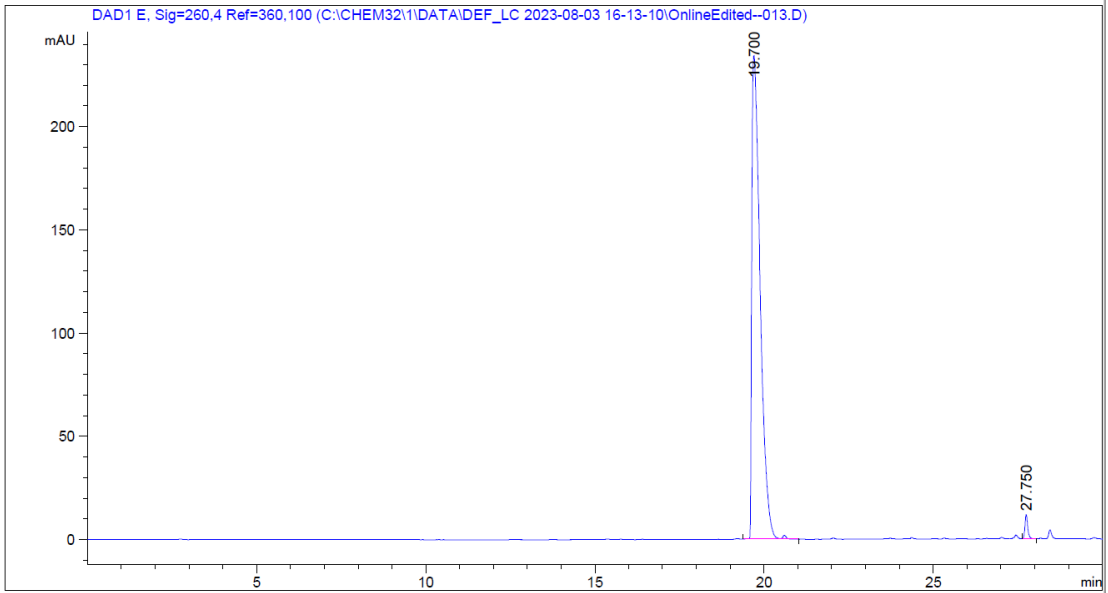
峰 #	保留时间 [min]	类型	峰宽 [min]	峰面积 [mAU*s]	峰高 [mAU]	峰面积 %
1	15.965	BV R	0.4769	7.68121e4	2088.33008	98.1540
2	19.552	MM	0.1975	752.50830	63.49085	0.9616
3	21.648	VV R	0.1724	692.11145	53.98813	0.8844

HPLC spectra of A7



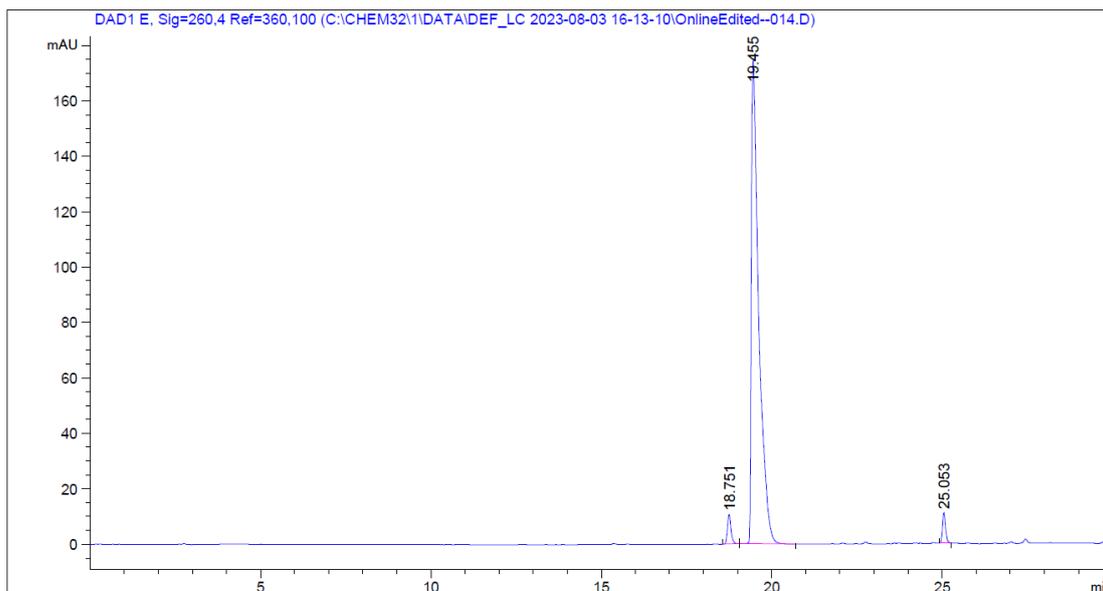
峰 #	保留时间 [min]	类型	峰宽 [min]	峰面积 [mAU*s]	峰高 [mAU]	峰面积 %
1	18.356	BB	0.1617	1073.06018	95.08450	95.5142
2	24.348	BV R	0.0955	50.39562	8.00367	4.4858

HPLC spectra of A8



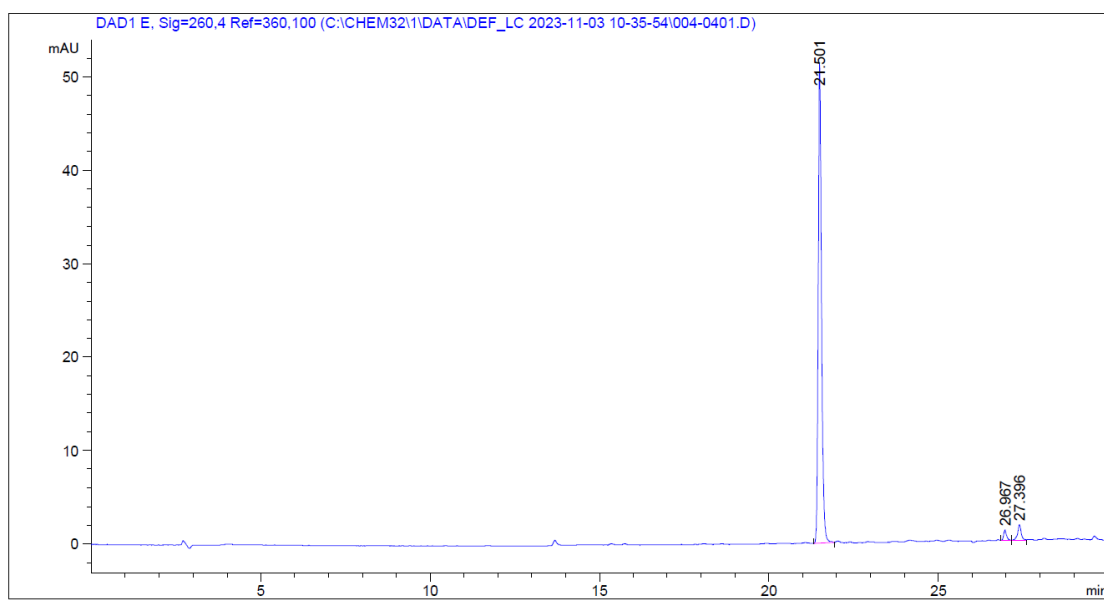
峰 #	保留时间 [min]	类型	峰宽 [min]	峰面积 [mAU*s]	峰高 [mAU]	峰面积 %
1	19.700	BV R	0.2706	3999.25781	234.08865	98.4124
2	27.750	BB	0.0846	64.51811	11.65327	1.5876

HPLC spectra of **A9**



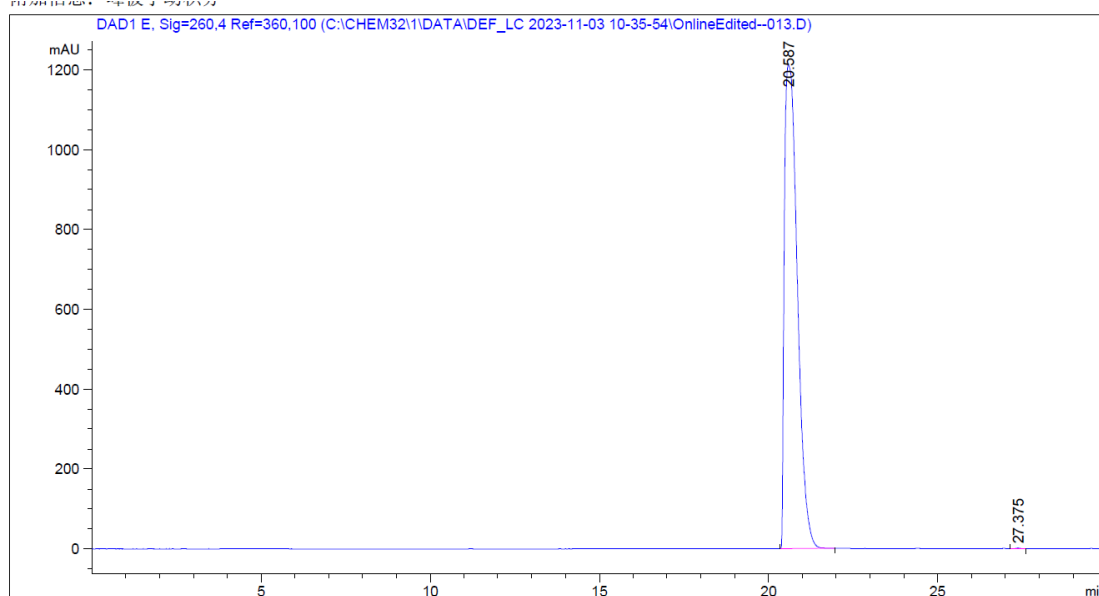
峰 #	保留时间 [min]	类型	峰宽 [min]	峰面积 [mAU*s]	峰高 [mAU]	峰面积 %
1	18.751	BB	0.1097	76.18335	10.62007	2.7023
2	19.455	BB	0.2268	2674.31641	174.46124	94.8604
3	25.053	BB	0.0971	68.71381	10.96608	2.4373

HPLC spectra of **B1**



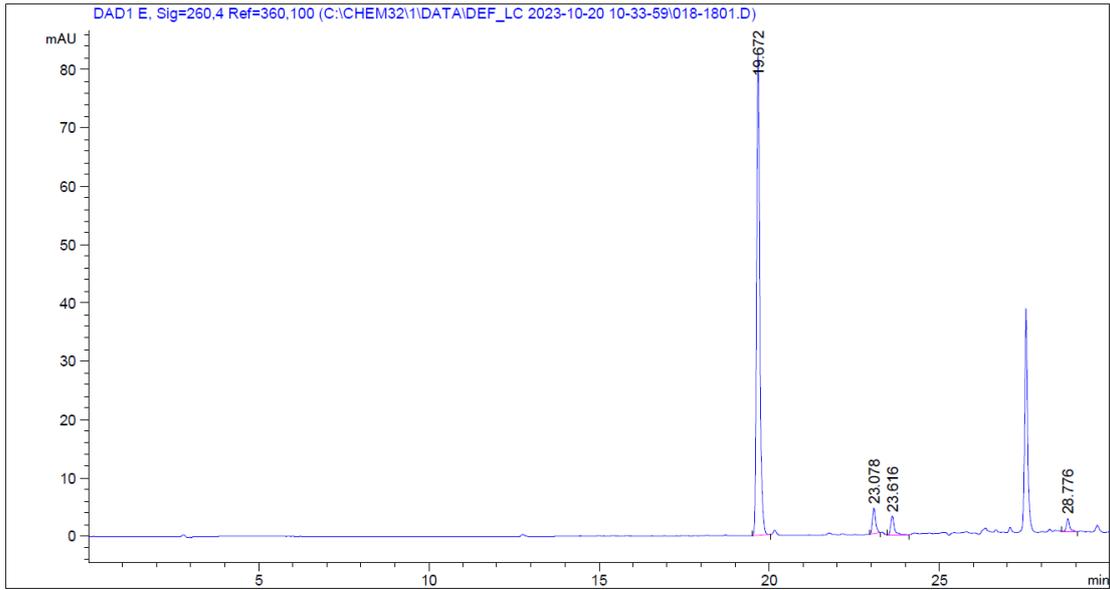
峰 #	保留时间 [min]	类型	峰宽 [min]	峰面积 [mAU*s]	峰高 [mAU]	峰面积 %
1	21.501	BB	0.1077	359.30301	51.31216	95.2832
2	26.967	BB	0.0872	6.20390	1.07646	1.6452
3	27.396	BB	0.1018	11.58253	1.65287	3.0716

HPLC spectra of B2



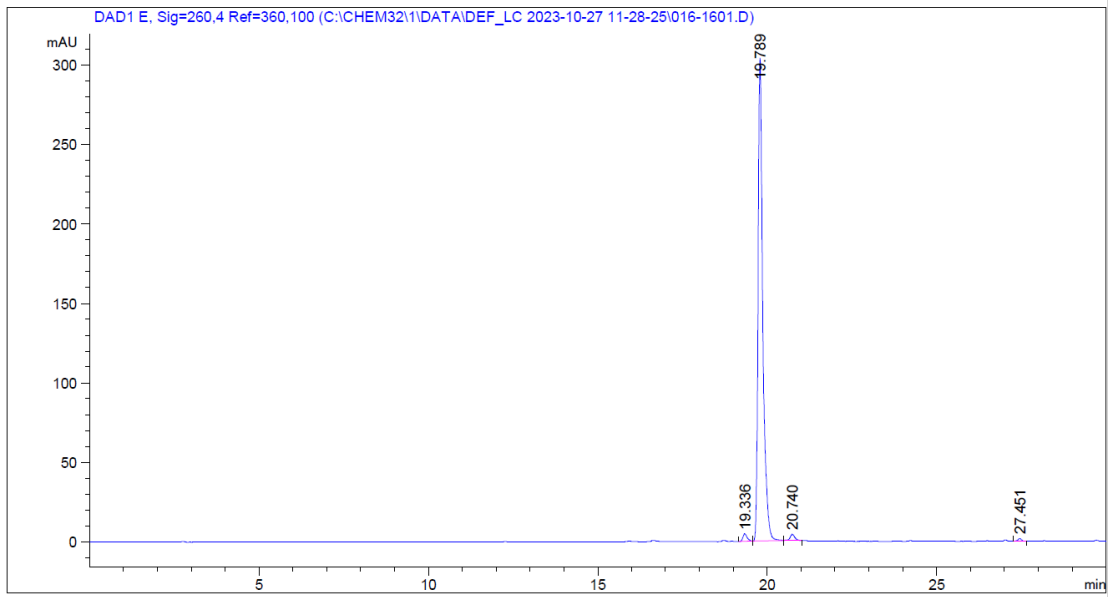
峰 #	保留时间 [min]	类型	峰宽 [min]	峰面积 [mAU*s]	峰高 [mAU]	峰面积 %
1	20.587	BB	0.4246	3.22403e4	1210.99304	99.9648
2	27.375	BB	0.1008	11.34617	1.63865	0.0352

HPLC spectra of B3



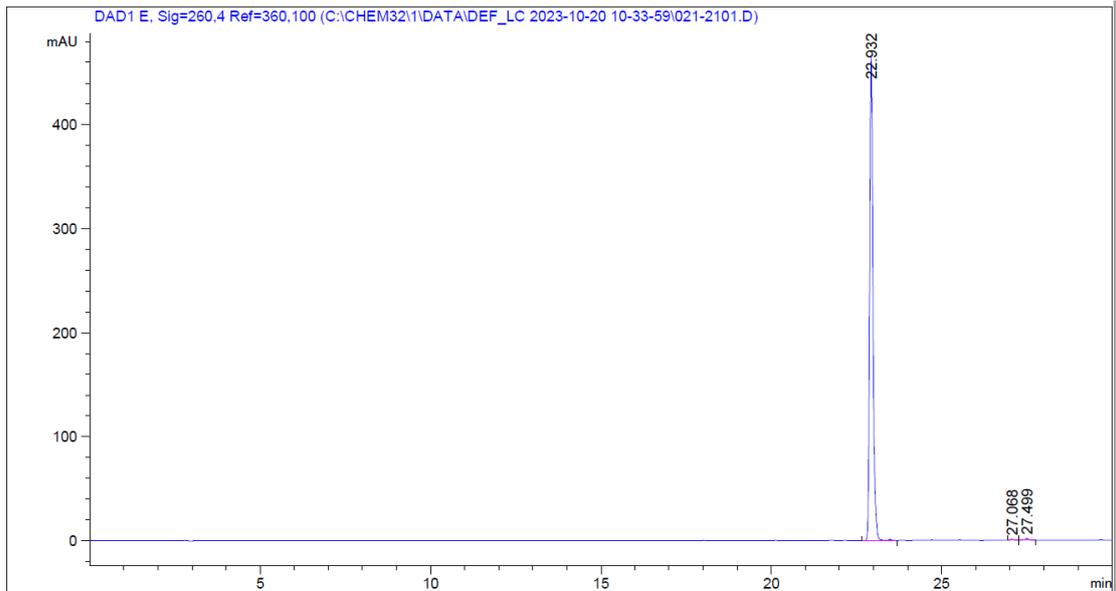
峰 #	保留时间 [min]	类型	峰宽 [min]	峰面积 [mAU*s]	峰高 [mAU]	峰面积 %
1	19.672	BB	0.1025	555.22852	82.47649	89.2878
2	23.078	BB	0.1008	28.87181	4.38463	4.6430
3	23.616	BB	0.1052	22.45496	3.22793	3.6110
4	28.776	BB	0.1036	15.28607	2.24060	2.4582

HPLC spectra of B4



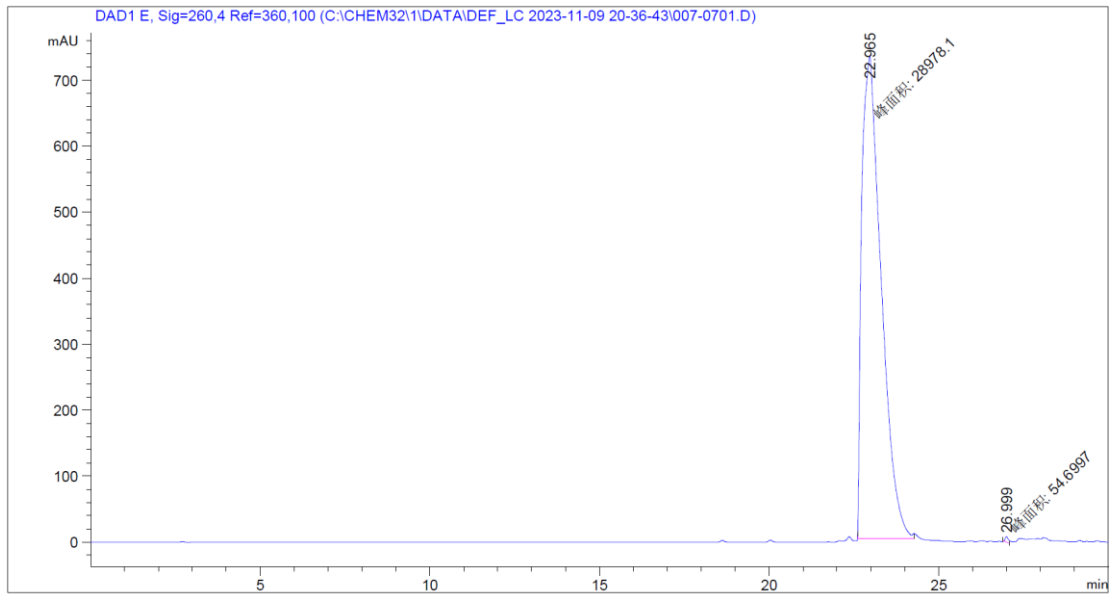
峰 #	保留时间 [min]	类型	峰宽 [min]	峰面积 [mAU*s]	峰高 [mAU]	峰面积 %
1	19.336	BV	0.1357	43.65918	4.82103	1.4283
2	19.789	VB	0.1437	2963.19263	304.05615	96.9429
3	20.740	BB	0.1425	37.76974	3.91630	1.2357
4	27.451	BB	0.1002	12.01470	1.79260	0.3931

HPLC spectra of **B5**



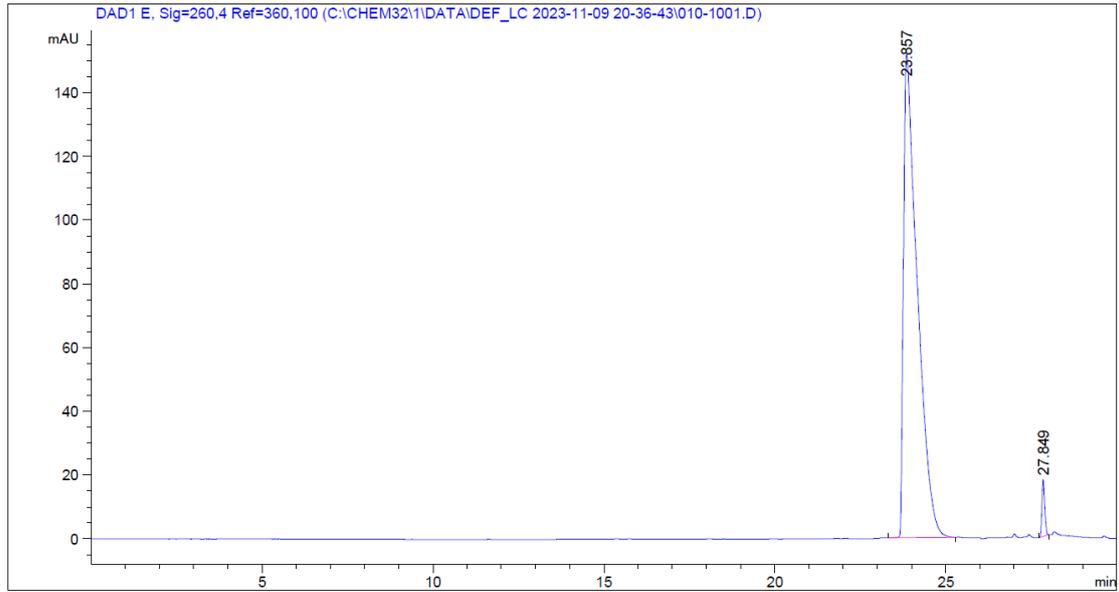
峰 #	保留时间 [min]	类型	峰宽 [min]	峰面积 [mAU*s]	峰高 [mAU]	峰面积 %
1	22.932	BV R	0.1011	3080.31567	465.99551	99.3537
2	27.068	BB	0.0884	6.42697	1.09552	0.2073
3	27.499	BB	0.1122	13.61160	1.76066	0.4390

HPLC spectra of **B6**



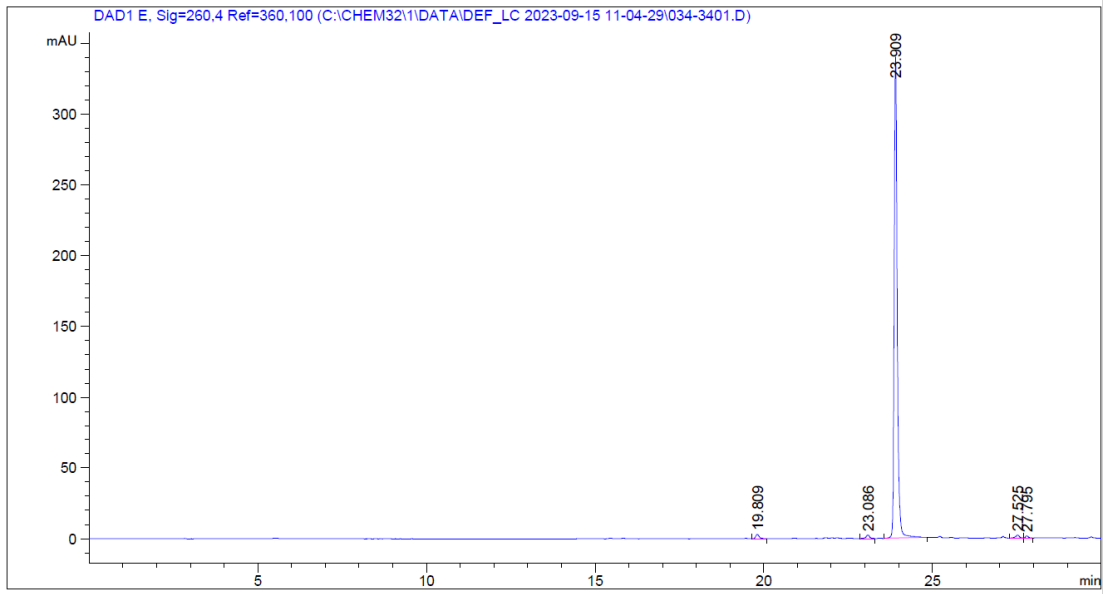
峰 #	保留时间 [min]	类型	峰宽 [min]	峰面积 [mAU*s]	峰高 [mAU]	峰面积 %
1	22.965	MM	0.6616	2.89781e4	729.96051	99.8116
2	26.999	MM	0.1055	54.69966	8.64268	0.1884

HPLC spectra of **B7**



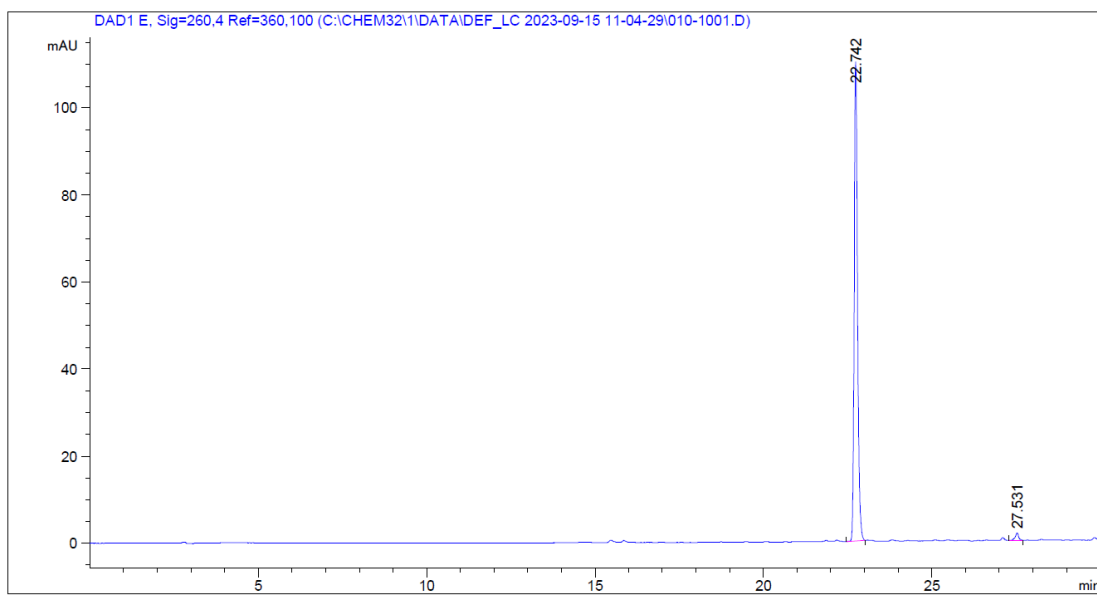
峰 #	保留时间 [min]	类型	峰宽 [min]	峰面积 [mAU*s]	峰高 [mAU]	峰面积 %
1	23.857	BB	0.3827	4274.89111	151.73418	97.6772
2	27.849	BB	0.0865	101.65875	17.84328	2.3228

HPLC spectra of **B8**



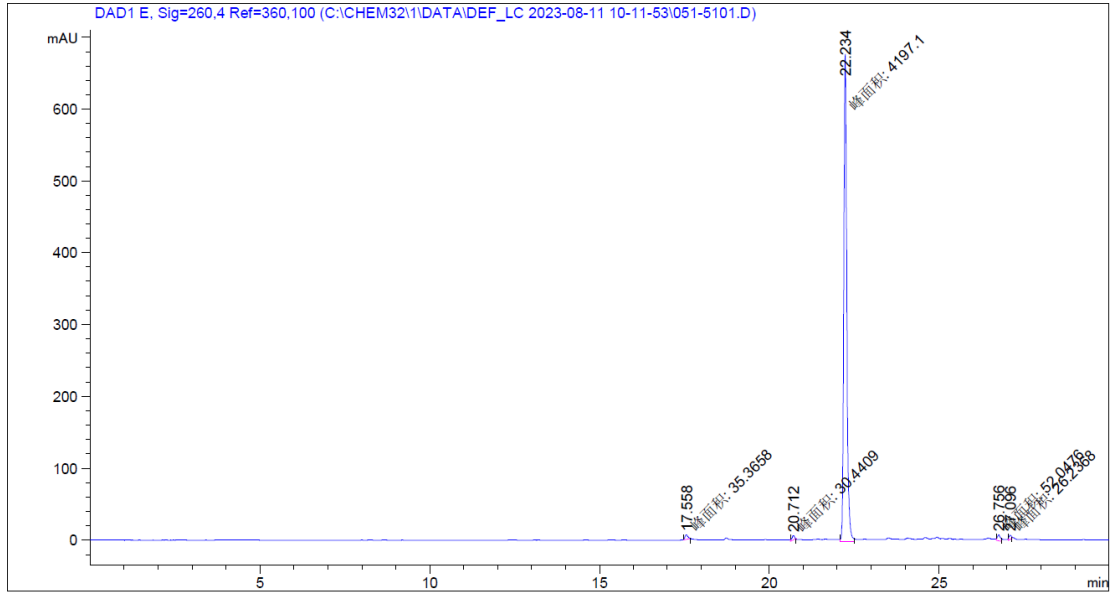
峰 #	保留时间 [min]	类型	峰宽 [min]	峰面积 [mAU*s]	峰高 [mAU]	峰面积 %
1	19.809	BB	0.1066	21.45383	3.03031	0.9788
2	23.086	BB	0.1076	18.64443	2.54029	0.8506
3	23.909	BB	0.0928	2124.25708	340.46637	96.9134
4	27.525	BV	0.1140	18.38697	2.28297	0.8389
5	27.795	VB	0.0889	9.17040	1.55232	0.4184

HPLC spectra of **B9**



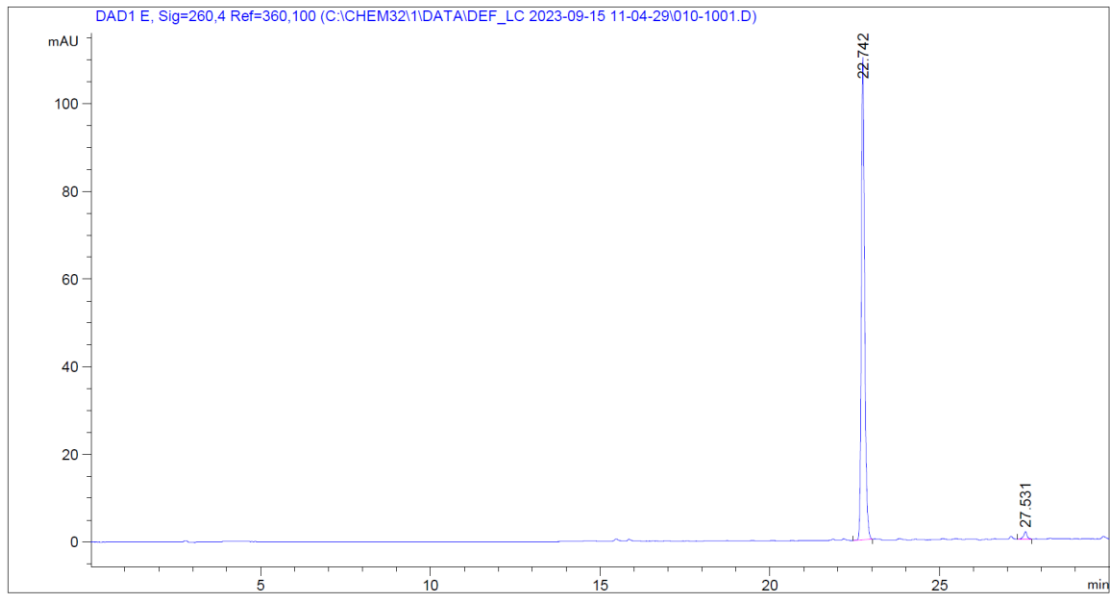
峰 #	保留时间 [min]	类型	峰宽 [min]	峰面积 [mAU*s]	峰高 [mAU]	峰面积 %
1	22.742	BB	0.1076	770.31415	110.14130	98.4747
2	27.531	BB	0.1024	11.93161	1.68875	1.5253

HPLC spectra of **B10**



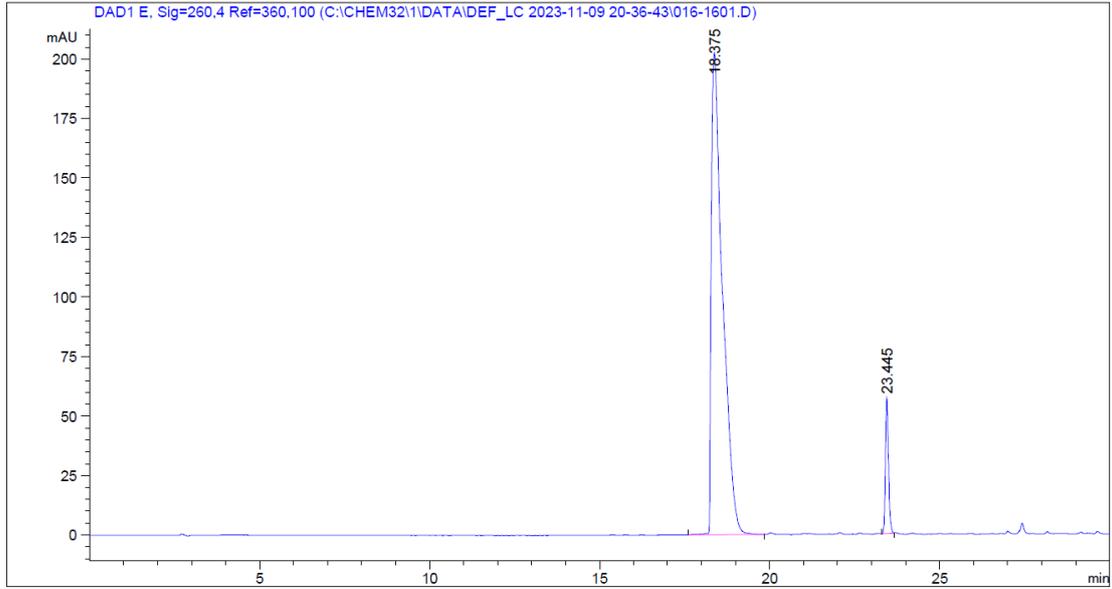
峰 #	保留时间 [min]	类型	峰宽 [min]	峰面积 [mAU*s]	峰高 [mAU]	峰面积 %
1	17.558	MM	0.0941	35.36583	6.26625	0.8147
2	20.712	MM	0.0905	30.44091	5.60421	0.7012
3	22.234	MM	0.1030	4197.10449	679.31915	96.6808
4	26.756	MM	0.1055	52.04763	8.21880	1.1989
5	27.096	MM	0.0770	26.23682	5.67645	0.6044

HPLC spectra of **B11**



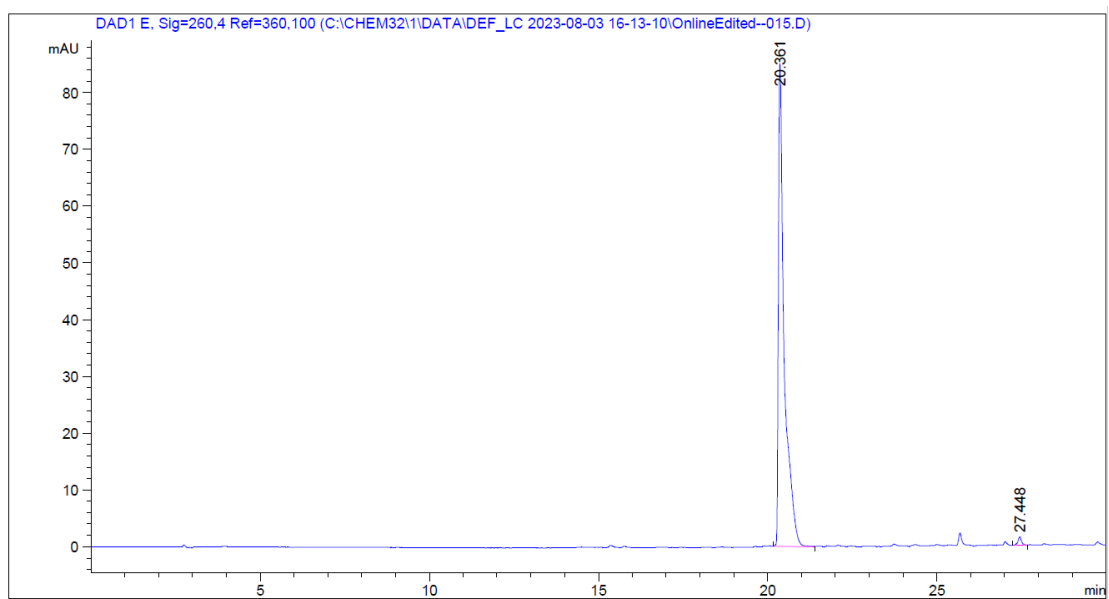
峰 #	保留时间 [min]	类型	峰宽 [min]	峰面积 [mAU*s]	峰高 [mAU]	峰面积 %
1	22.742	BB	0.1076	770.31415	110.14130	98.4747
2	27.531	BB	0.1024	11.93161	1.68875	1.5253

HPLC spectra of **B12**



峰 #	保留时间 [min]	类型	峰宽 [min]	峰面积 [mAU*s]	峰高 [mAU]	峰面积 %
1	18.375	BB	0.3284	4586.63525	202.40089	92.7406
2	23.445	BB	0.0955	359.02698	56.95766	7.2594

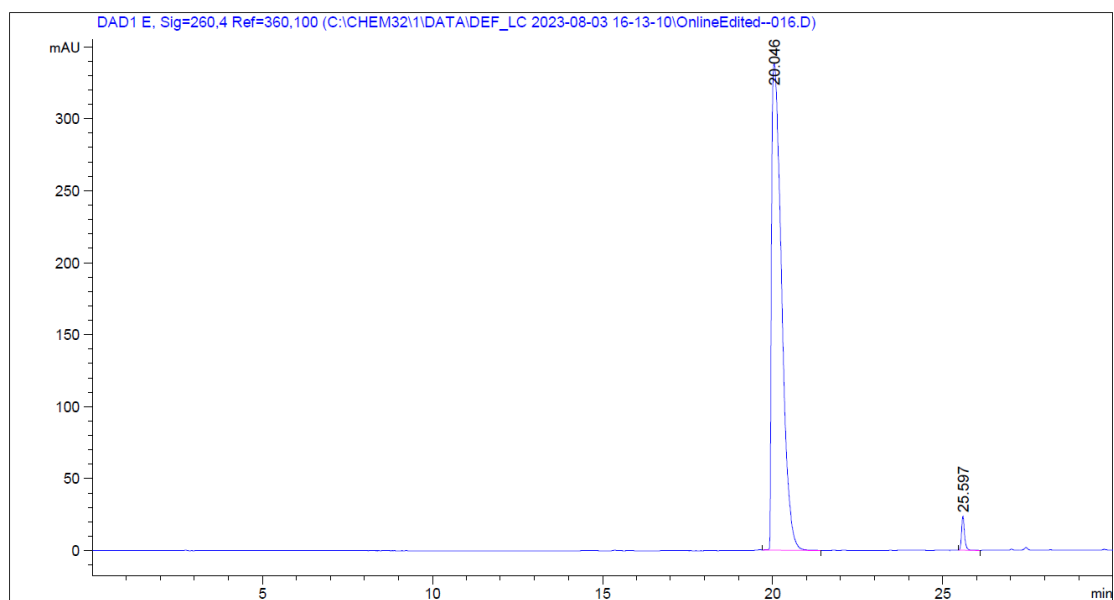
HPLC spectra of **B13**



峰 #	保留时间 [min]	类型	峰宽 [min]	峰面积 [mAU*s]	峰高 [mAU]	峰面积 %
1	20.361	BB	0.1687	1009.83582	84.91676	99.0056
2	27.448	BB	0.1012	10.14285	1.45783	0.9944

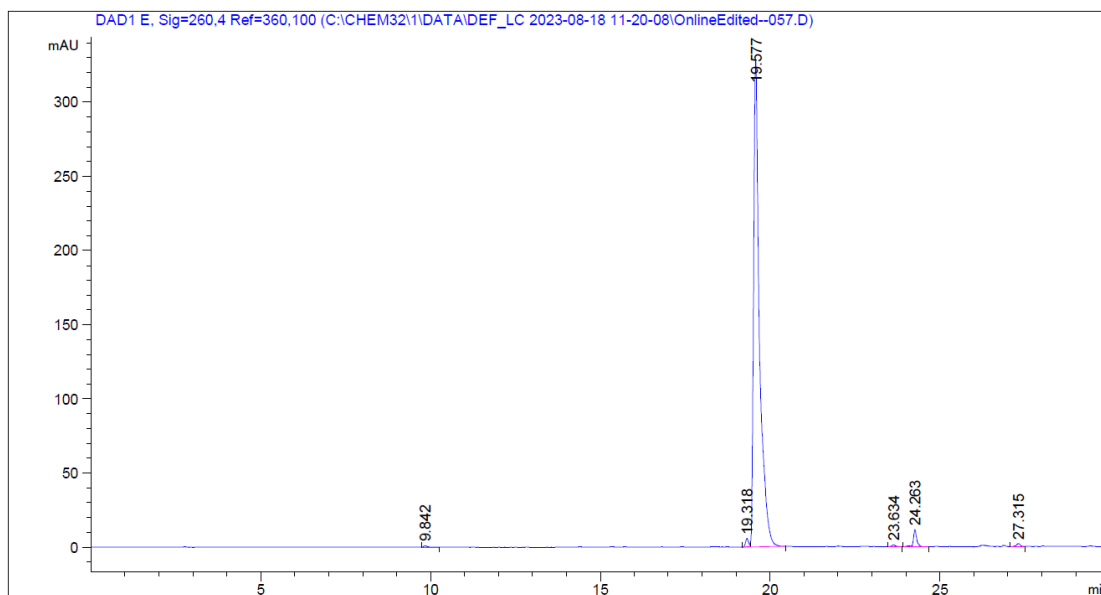
ZZ

HPLC spectra of B14



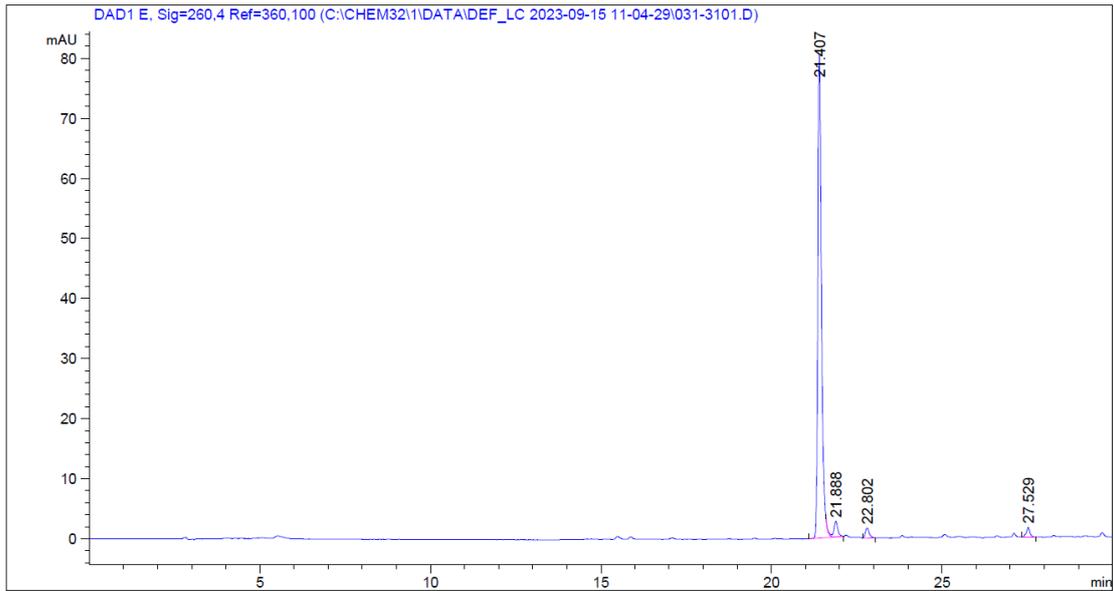
峰 #	保留时间 [min]	类型	峰宽 [min]	峰面积 [mAU*s]	峰高 [mAU]	峰面积 %
1	20.046	BB	0.3344	6909.10938	338.12466	97.9509
2	25.597	BB	0.0915	144.53903	23.57373	2.0491

HPLC spectra of **B15**



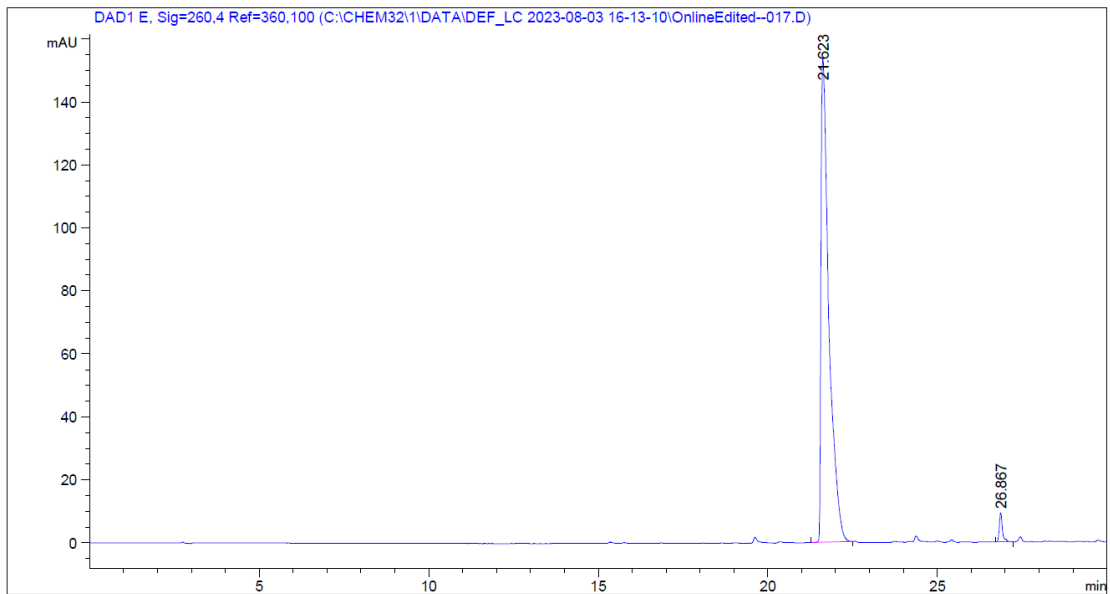
峰 #	保留时间 [min]	类型	峰宽 [min]	峰面积 [mAU*s]	峰高 [mAU]	峰面积 %
1	9.842	BB	0.1095	8.62104	1.12428	0.2122
2	19.318	BV E	0.0898	33.13997	5.70213	0.8159
3	19.577	VB R	0.1715	3914.50708	327.39056	96.3748
4	23.634	BB	0.1191	10.86584	1.30494	0.2675
5	24.263	BB	0.1028	79.21424	11.43891	1.9502
6	27.315	BB	0.1094	15.40387	2.05701	0.3792

HPLC spectra of **B16**



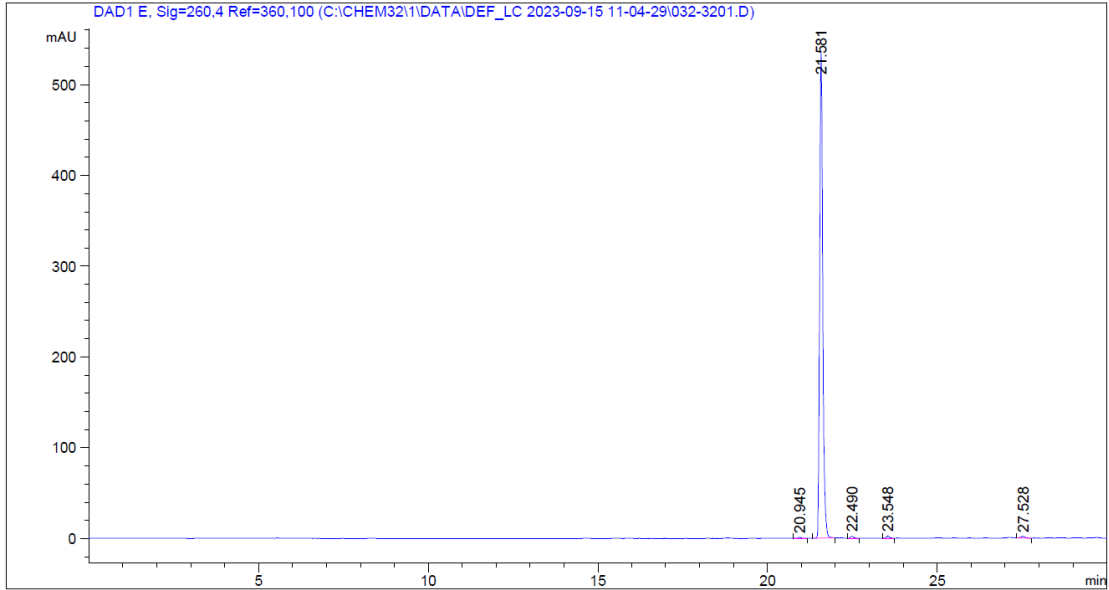
峰 #	保留时间 [min]	类型	峰宽 [min]	峰面积 [mAU*s]	峰高 [mAU]	峰面积 %
1	21.407	BV R	0.1144	610.31061	80.52379	93.0294
2	21.888	VB E	0.1180	21.34476	2.64822	3.2536
3	22.802	BB	0.1147	12.51847	1.64567	1.9082
4	27.529	BB	0.1074	11.86641	1.62193	1.8088

HPLC spectra of **B17**



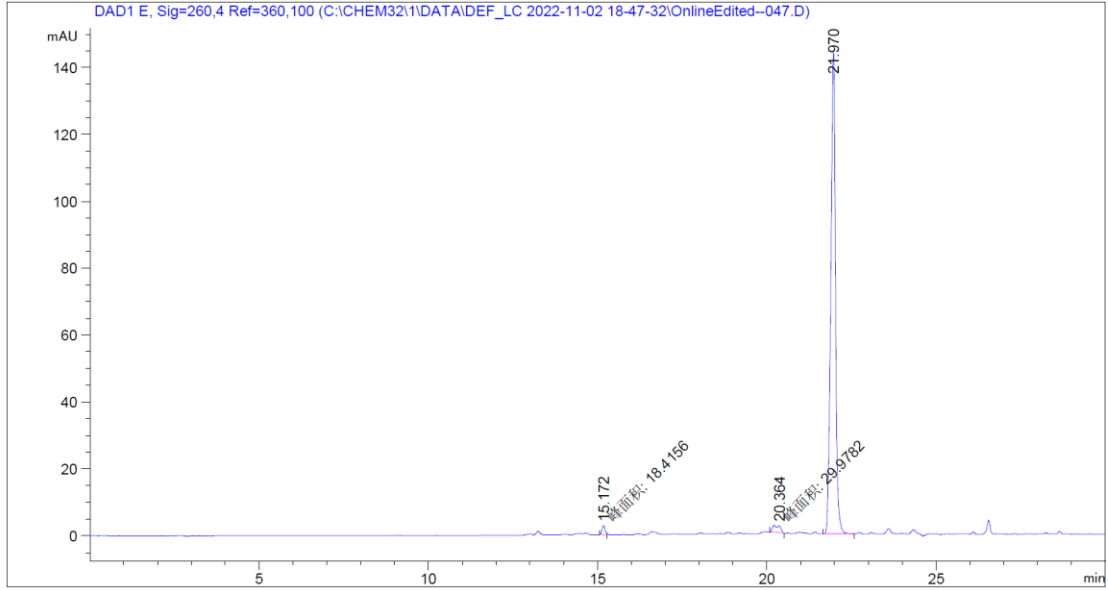
峰 #	保留时间 [min]	类型	峰宽 [min]	峰面积 [mAU*s]	峰高 [mAU]	峰面积 %
1	21.623	BB	0.2359	2474.10449	153.60852	97.7015
2	26.867	BB	0.0932	58.20425	9.27961	2.2985

HPLC spectra of **B18**



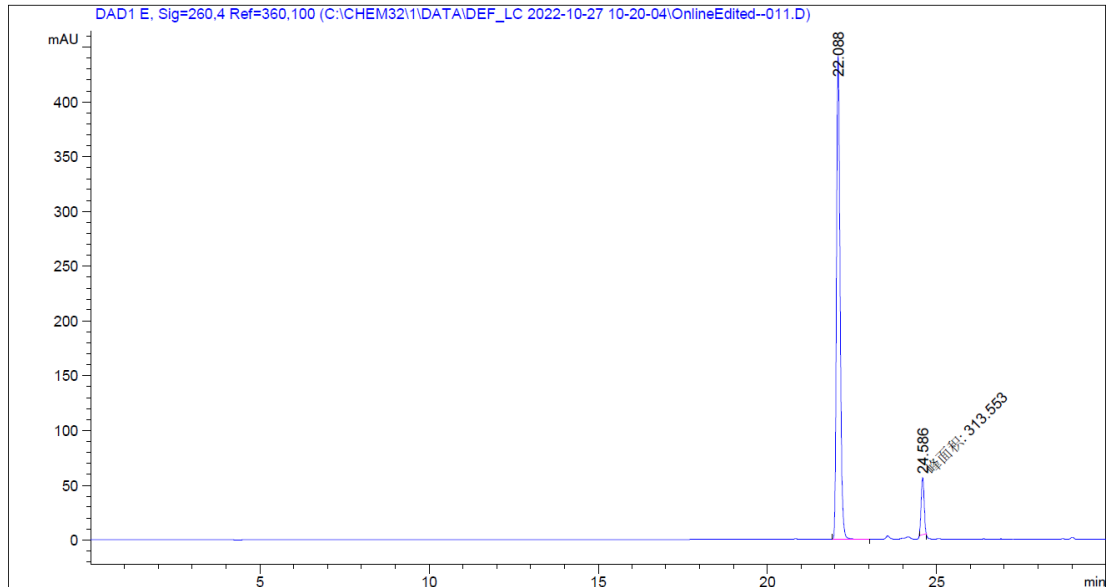
峰 #	保留时间 [min]	类型	峰宽 [min]	峰面积 [mAU*s]	峰高 [mAU]	峰面积 %
1	20.945	BB	0.0993	7.73263	1.19766	0.2272
2	21.581	BB	0.0951	3350.27075	534.51971	98.4379
3	22.490	BB	0.0997	15.89215	2.38511	0.4669
4	23.548	BB	0.0928	14.64462	2.41201	0.4303
5	27.528	BB	0.1074	14.89440	1.98912	0.4376

HPLC spectra of **C1**



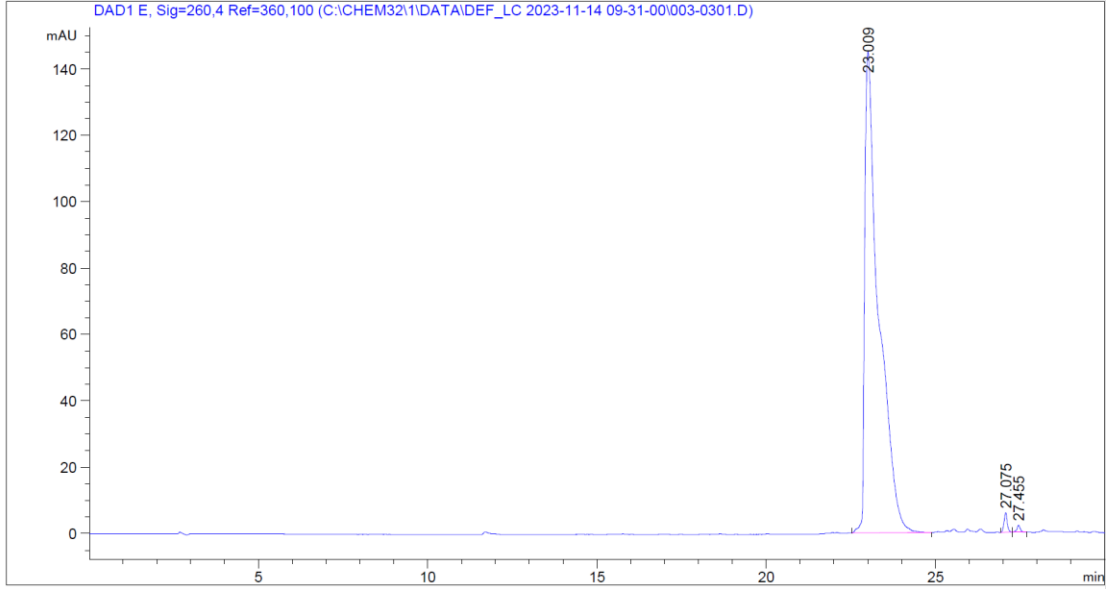
峰 #	保留时间 [min]	类型	峰宽 [min]	峰面积 [mAU*s]	峰高 [mAU]	峰面积 %
1	15.172	MM	0.1136	18.41565	2.70223	1.2980
2	20.364	MM	0.2405	29.97816	2.07720	2.1129
3	21.970	BB	0.1430	1370.40186	144.01973	96.5891

HPLC spectra of C2



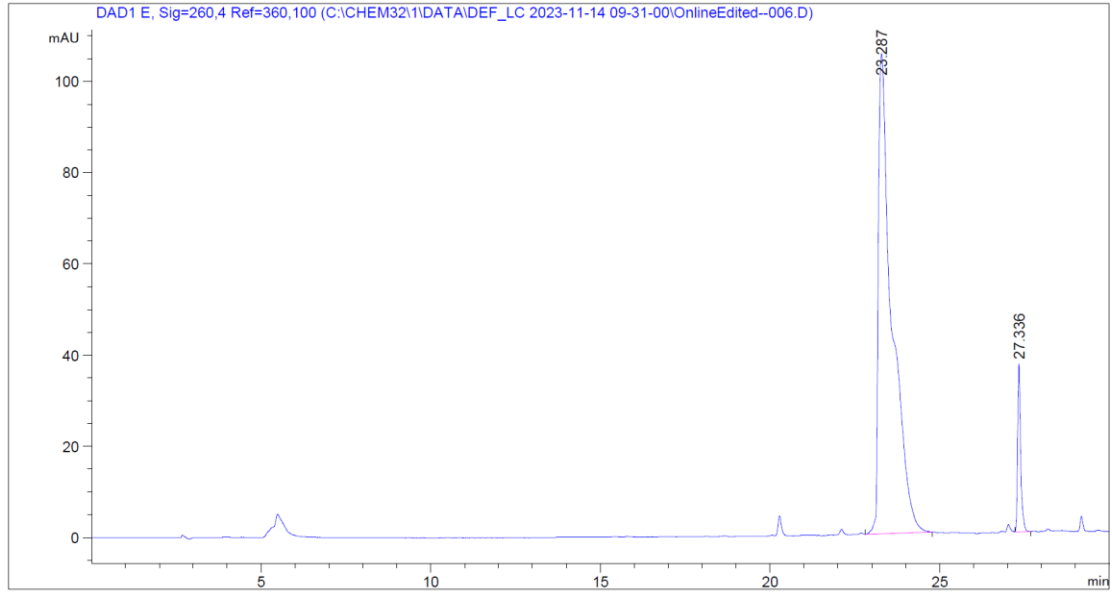
峰 #	保留时间 [min]	类型	峰宽 [min]	峰面积 [mAU*s]	峰高 [mAU]	峰面积 %
1	22.088	BB	0.1138	3257.19824	442.89520	91.2188
2	24.586	MM	0.1002	313.55341	52.13104	8.7812

HPLC spectra of C3



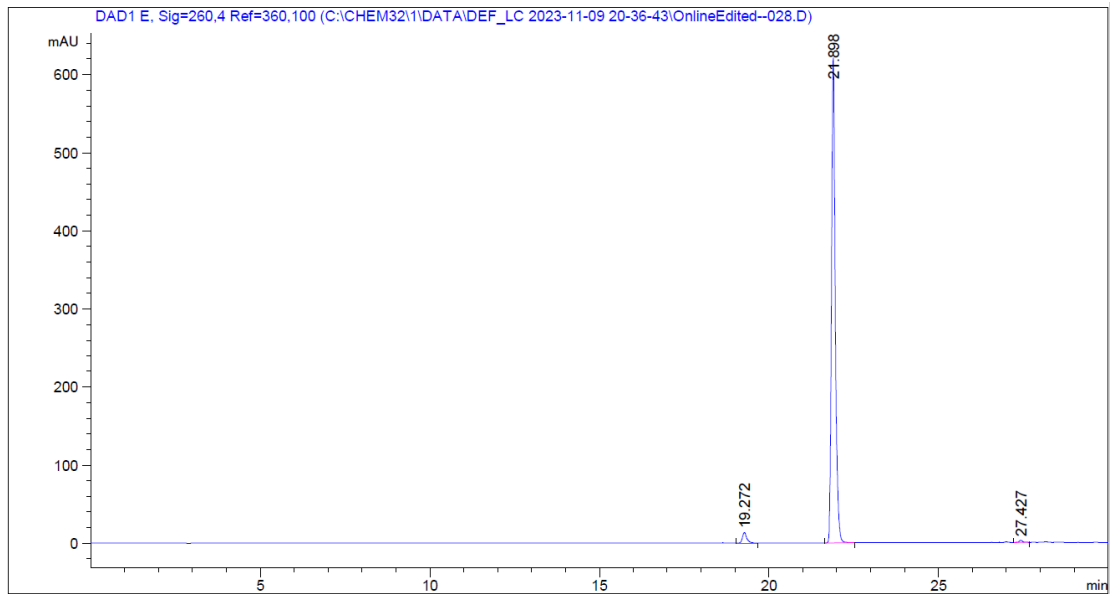
峰 #	保留时间 [min]	类型	峰宽 [min]	峰面积 [mAU*s]	峰高 [mAU]	峰面积 %
1	23.009	BB	0.4075	4171.56934	145.06787	98.7272
2	27.075	BB	0.0976	39.35571	5.91382	0.9314
3	27.455	BB	0.1006	14.42609	2.08862	0.3414

HPLC spectra of C4



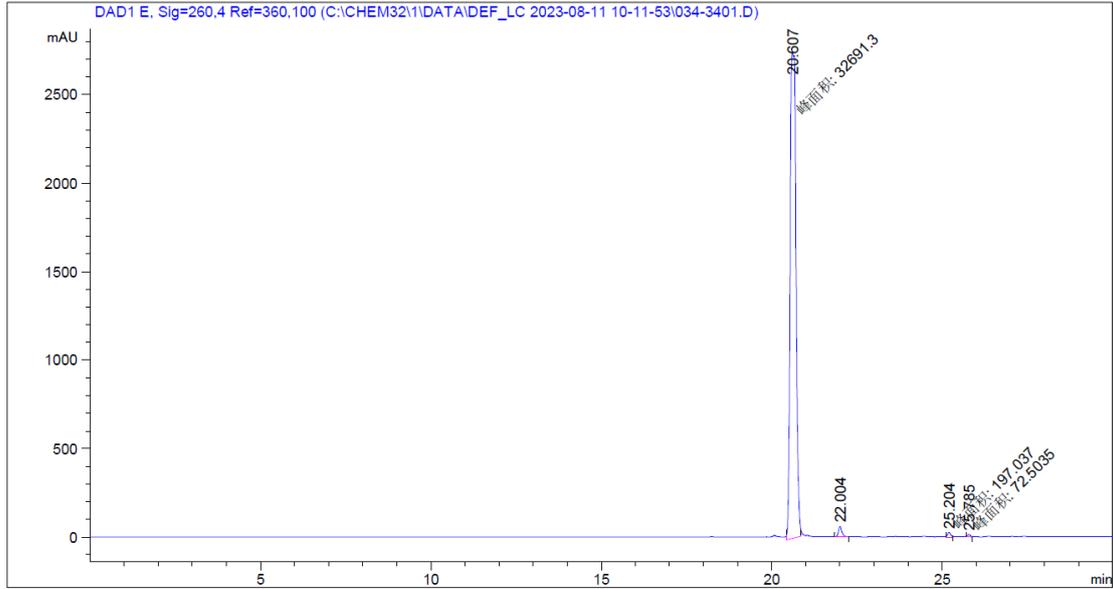
峰 #	保留时间 [min]	类型	峰宽 [min]	峰面积 [mAU*s]	峰高 [mAU]	峰面积 %
1	23.287	BB	0.3921	2922.27368	105.19804	92.9197
2	27.336	VB	0.0902	222.67017	37.00299	7.0803

HPLC spectra of C5



峰 #	保留时间 [min]	类型	峰宽 [min]	峰面积 [mAU*s]	峰高 [mAU]	峰面积 %
1	19.272	BB	0.1322	121.71674	13.62400	2.5101
2	21.898	BB	0.1124	4707.26758	621.44769	97.0738
3	27.427	BB	0.1039	20.17986	2.87370	0.4162

HPLC spectra of C6



峰 #	保留时间 [min]	类型	峰宽 [min]	峰面积 [mAU*s]	峰高 [mAU]	峰面积 %
1	20.607	MM	0.1985	3.26913e4	2744.41333	97.9820
2	22.004	BB	0.1037	403.74094	59.13297	1.2101
3	25.204	MM	0.1106	197.03696	29.68626	0.5906
4	25.785	MM	0.0953	72.50353	12.67864	0.2173